



แบบที่อินเจกชัน ana/ไลซิสสำหรับการหาปริมาณซูครอส

Batch Injection Analysis (BIA) for Quantitative Analysis of Sucrose

ประภาพร ศุภพิชญ์นาม

Prapapun Suppapitnarm

เลขที่.....	QK898 S98 146 2538	ผ. 2
เพลทที่.....	
.....	8 / 7.0	/ 38

Order Key.....	4903
BIB Key.....	82124

วิทยานิพนธ์วิทยาศาสตรมหาบัณฑิต สาขาวิชาเคมีวิเคราะห์
มหาวิทยาลัยสงขลานครินทร์

Master of Science Thesis in Analytical Chemistry

Prince of Songkla University

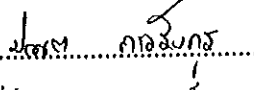
2538

(1)

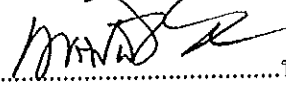
ชื่อวิทยานิพนธ์ แบบอินเจกชันอนาคตชีสสำหรับการหาปริมาณโซ่อิเลคทรอนิกส์
ผู้เขียน นางสาวประภาพร ศุภพิชญ์นาม
สาขาวิชา เกมีวิเคราะห์

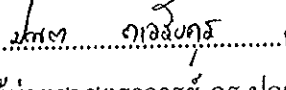
คณะกรรมการที่ปรึกษา

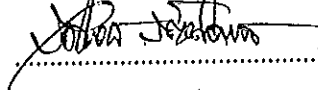
..........ประธานกรรมการ
(รองศาสตราจารย์ ดร.เพ็ต พิชัย คณาจารย์)

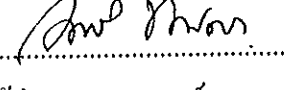
..........กรรมการ
(ผู้ช่วยศาสตราจารย์ ดร.ป.ปองษ์ ดาวรังษ์)

คณะกรรมการสอบ

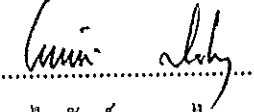
..........ประธานกรรมการ
(รองศาสตราจารย์ ดร.เพ็ต พิชัย คณาจารย์)

..........กรรมการ
(ผู้ช่วยศาสตราจารย์ ดร.ป.ปองษ์ ดาวรังษ์)

..........กรรมการ
(อาจารย์รุ่งโรจน์ รัตน์โภกาศ)

..........กรรมการ
(ผู้ช่วยศาสตราจารย์ ดร.อมรรัตน์ พงศ์คารา)

บัณฑิตวิทยาลัย มหาวิทยาลัยสงขลานครินทร์ อนุมัติให้นับวิทยานิพนธ์ฉบับนี้เป็นส่วน
หนึ่งของการศึกษา ตามหลักสูตรวิทยาศาสตรมหาบัณฑิต สาขาวิชาเคมีวิเคราะห์

..........
(ดร. ไพรัตน์ สงวนไทร)
คณบดีบัณฑิตวิทยาลัย

ชื่อวิทยานิพนธ์ แบบอินเจกชันอนาคติสสำหรับการหาปริมาณไขมันในร่างกาย
 ผู้เขียน นางสาวประภาพร ศุภพิชญ์นาม
 สาขาวิชา เกมีวิเคราะห์
 ปีการศึกษา 2538

บทคัดย่อ

แบบอินเจกชันอนาคติส (BIA) เป็นเทคนิคที่ใช้การนีดสารตัวอย่างซึ่งมีปริมาณเป็นไมโครลิตรลงบนตัวตรวจซึ่งอยู่ในสารละลายที่มีปริมาณมากและถูกคนอยู่ตลอดเวลา ในรายงานนี้จะกล่าวถึงการใช้เทคนิค BIA ในการวิเคราะห์หาปริมาณไขมันโดยวัดความร้อนที่เกิดจาก การเร่งปฏิกิริยาไฟฟ้าโดยไฟฟ้าของไขมัน ไขมันในเยื่อหุ้นเทอร์มิสเตอร์ตรวจวัด จากผลการทดลองพบว่าสภาวะการทดลองที่เหมาะสมในการวิเคราะห์หาปริมาณไขมันนี้ สารละลายปริมาณมากในนีกเกอร์คือ อะซิเตทบัฟเฟอร์ 0.01 โมลาร์ pH 4.80 ใช้ปลอกเทอร์มิสเตอร์ยาว 15 มิลลิเมตร ที่มีระยะห่างของรูปลอกเทอร์มิสเตอร์จากเทอร์มิสเตอร์ 2 มิลลิเมตร เวลาที่ทำให้เกิดสมดุลอุณหภูมิระหว่างสารตัวอย่างกับสารละลายในนีกเกอร์ 30 วินาที โดยทำการทดลองที่อุณหภูมิ 20 องศาเซลเซียส อัตราเร็วในการนีดสารละลายตัวอย่างซึ่งความคุณการนีดค้ายเครื่อง EDOS 5221 อยู่ที่ต่ำแห่ง 4 อัตราเร็วในการคนสารละลาย 300 รอบต่อนาที ระยะห่างของปลายปีเพจจากเทอร์มิสเตอร์ 2 มิลลิเมตร และปริมาณสารละลายตัวอย่างที่ใช้ 25 ไมโครลิตร ในการวิเคราะห์หาปริมาณไขมันโดยไฟฟ้าของสารละลายตัวอย่างได้ 20 - 30 ตัวอย่างต่อชั่วโมงโดยที่สารละลายไม่ต้องผ่านขั้นตอนการเตรียมตัวอย่าง และให้ช่วงการตอบสนองเป็นสิบสองสามหน่วย 0.00 - 0.50 โมลาร์ กซูโคส พร็อกโกรส รวมทั้งไออ้อนของโลหะหนัก ทองแดง (II) และเงิน (I) ไม่มีผลกระทบในการวิเคราะห์ไขมัน

ระบบ BIA นี้ใช้ทดสอบหาปริมาณไขมันโดยไฟฟ้าของสารละลายตัวอย่างที่ได้จากการนีดสารละลายตัวอย่าง ผลการวิเคราะห์ที่ได้จากเทคนิคนี้เมื่อเปรียบเทียบกับผลที่ได้จากเทคนิคโพลาริเมตريและเทคนิคสเปกโกรไฟฟ้า เมื่อตรวจพบว่า ความแตกต่างระหว่างผลการทดสอบที่ได้ไม่น้อยกว่า 5% ที่ระดับ

Thesis Title Batch Injection Analysis (BIA) for Quantitative Analysis of Sucrose
Author Miss Prapapun Suppapitnarm
Major Program Analytical Chemistry
Academic Year 1995

Abstract

Batch Injection Analysis (BIA) is a technique involving the injection of microliter samples toward a nearby detector , immersed in a large-volume , stirred blank solution. This work focused on the use of BIA method in the analysis of sucrose based on the hydrolysis of sucrose by invertase immobilized on a sensing thermistor where the resulting heat from the reaction is measured. Optimum conditions for the BIA response were as followed ; acetate buffer 0.01 M pH 4.80 was used as blank solution , the lenght of PVC thermistor covered tube was 15 mm , the distance of the first set of holes in the PVC tube was 2 mm from the thermistor , equilibrate time for reaching thermal equilibrium between the sample and blank solution was 30 second , stirring rate and temperature of the blank solution were 300 rpm and 20 °C respectively. The injection rate of sample using EDOS 5221 was at position 4 , tip-detector distance was 2 mm and sample volume was 25 µL. The proposed system permits the analysis of about 20 - 30 samples per hour and sample preparation is not required. The linear range of sucrose is 0.00 - 0.50 M. No significant interferences was observed from glucose , fructose and heavy metal ions , e.g. , Cu (II) and Ag (I).

BIA technique was tested in the analysis of sugarcane juice and canned juice. Results obtained by this procedure were compared with those obtained by the conventional polarimetric and spectrophotometric methods and the differences were not significant at 5% level.

กิตติกรรมประกาศ

การทำวิทยานิพนธ์ในครั้งนี้ประสบความสำเร็จได้ด้วยความกรุณาของรองศาสตราจารย์ ดร.เพรศพิชญ์ ภณาราดา ออาจารย์ที่ปรึกษา และผู้ช่วยศาสตราจารย์ ดร.ปณต ดาวรังสูร ออาจารย์ ที่ปรึกษาร่วม ที่ได้กรุณาร่วมที่ปรึกษาและแนะนำแนวทางแก้ไขปัญหาต่าง ๆ ที่เกิดขึ้นเกี่ยวกับ วิทยานิพนธ์นี้ตลอดมาตั้งแต่ต้นจนจบการศึกษา ผู้ทำวิทยานิพนธ์จึงขอกราบขอบพระคุณท่านทั้งสองไว้ ณ ที่นี่

ขอขอบคุณอาจารย์พรรณี อัศวตรีรัตนกุล ออาจารย์กุชก์ วรรตนาธุรักษ์ ออาจารย์ รุ่งโรจน์ รัตนโภกาส และอาจารย์ประดิษฐ์ เรืองไรวัฒโนนันท์ ที่ได้ให้คำแนะนำปรึกษางาน ประกอบ ขอขอบคุณอาจารย์อนุชิต ชินาจริยวงศ์ และเจ้าหน้าที่ฝ่ายธุรการ การกำจัดศัตรูพืชที่ได้ให้ ความช่วยเหลือเกี่ยวกับโปรแกรม irrigistat ตลอดจนบุคลากรทั้งภาควิชาเคมีและภาควิชาฟิสิกส์ทุกท่านที่ได้ให้ความสะดวกและช่วยเหลือในเรื่องสารเคมีและอุปกรณ์ต่างๆที่นำมาใช้ในการวิเคราะห์ ขอบคุณคณะกรรมการคุณการสอบวิทยานิพนธ์ในครั้งนี้ทุกท่านที่กรุณาเสนอแนะ แก้ไขเพิ่มเติมทำให้วิทยานิพนธ์มีความถูกต้องสมบูรณ์มากขึ้น

สุดท้ายผู้ทำวิทยานิพนธ์ขอขอบพระคุณต่อคุณเพื่อ คุณแม่ ที่ให้ความสุนทรีย์ในด้าน ทุนทรัพย์ และขอบคุณพี่ น้อง รวมทั้งเพื่อนนักศึกษาปริญญาโทที่เป็นกำลังใจในการศึกษาตลอดมา จนสำเร็จ

ประภาพร ศุภพิชญ์นา

สารบัญ

	หน้า
บทคัดย่อ	(3)
Abstract	(4)
กิตติกรรมประกาศ	(5)
สารบัญ	(6)
รายการตาราง	(8)
รายการภาพประกอบ	(10)
บทที่	
1 บทนำ	1
1.1 บทนำต้นเรื่อง	1
1.2 การตรวจเอกสาร	3
1.3 วัตถุประสงค์	11
1.4 ประโยชน์ที่คาดว่าจะได้รับ	11
1.5 ขอบเขตของการศึกษา	11
2 วิธีการวิจัย	12
2.1 วัสดุ	12
2.2 เครื่องมือและอุปกรณ์	13
2.3 ระบบการทดลองและการวิเคราะห์ผล	14
2.4 การหาสภาวะที่เหมาะสมของปัจจัยพื้นฐานของระบบ BIA	25
2.5 การหาสภาวะที่เหมาะสมในการวิเคราะห์ซูโกรส	30
2.6 การใช้ปีเปตที่ควบคุมการฉีดสารละลายตัวอย่างคู่กับเครื่อง EDOS 5221	33
2.7 การเปรียบเทียบทεcnik BIA กับเทคนิคอื่น	35
2.8 การวิเคราะห์หาปริมาณซูโกรสในน้ำกระป่องคู่กับเทคนิค BIA	38
3 ผลและการอภิปรายผล	39
3.1 ลักษณะทั่วไปของสัญญาณ	39
3.2 การหาสภาวะที่เหมาะสมของปัจจัยพื้นฐานของระบบ BIA	41
3.3 การหาสภาวะที่เหมาะสมในการวิเคราะห์ซูโกรส	53

สารบัญ (ต่อ)

	หน้า
3.4 การใช้ปีเปตที่ควบคุมการนิคสารละลายตัวอย่างด้วยเครื่อง EDOS 5221	71
3.5 การเปรียบเทียบทeknik BIA กับเทคนิคอื่น	82
3.6 ผลการวิเคราะห์หาปริมาณซูโกรสในน้ำกระป่องด้วยเทคนิค BIA	97
4 บทสรุป	103
บรรณานุกรม	106
ภาคผนวก	112
ประวัติผู้เขียน	115

รายการตาราง

ตาราง	หน้า
1. การเปลี่ยนแปลงของอุณหภูมิและเวลาต่อสัญญาณเมื่อใช้ปฏิกิริยากรด-เบสที่ความยาวของปลอกเทอร์มิสเตอร์ต่างกัน	42
2. การเปลี่ยนแปลงของอุณหภูมิและเวลาต่อสัญญาณที่มีระยะห่างของฐานคับแรกของปลอกเทอร์มิสเตอร์ต่างกัน	46
3. การเปลี่ยนแปลงของอุณหภูมิเมื่อสารละลายตัวอย่างถูกแซ่บในสารละลายในบีกเกอร์ที่เวลาต่างๆ กัน	49
4. การเปลี่ยนแปลงของอุณหภูมิและเวลาต่อสัญญาณที่อัตราเร็วในการคนสารละลายต่างกัน	51
5. การเปลี่ยนแปลงของอุณหภูมิที่อุณหภูมิต่างกันคือ อุณหภูมิ 20°C และอุณหภูมิ 25°C	57
6. การเปลี่ยนแปลงของอุณหภูมิที่สารละลายมี pH ต่างๆ กัน	60
7. การเปลี่ยนแปลงของอุณหภูมิกับความเข้มข้นของสารละลายซูโครสที่มีปริมาณกลูโคสต่างๆ กัน	62
8. การเปลี่ยนแปลงของอุณหภูมิกับความเข้มข้นของสารละลายซูโครสที่ปริมาณฟรักโทสต่างๆ กัน	63
9. การเปลี่ยนแปลงของอุณหภูมิกับความเข้มข้นของสารละลายซูโครสที่มีปริมาณกลูโคสและฟรักโทสต่างๆ กัน	64
10. การเปลี่ยนแปลงของอุณหภูมิกับความเข้มข้นของสารละลายซูโครสที่มีปริมาณทองแดง (II) ต่างๆ กัน	66
11. การเปลี่ยนแปลงของอุณหภูมิกับความเข้มข้นของสารละลายซูโครสที่ปริมาณเงิน (I) ต่างๆ กัน	67
12. การเปลี่ยนแปลงของอุณหภูมิที่ความเข้มข้นของสารละลายซูโครสต่างๆ กัน	69
13. การเปลี่ยนแปลงของอุณหภูมิเมื่อใช้อัตราเร็วในการคนสารละลายต่างๆ กัน	74
14. การเปลี่ยนแปลงของอุณหภูมิกับระยะห่างระหว่างปลายบีเป็ตกับเทอร์มิสเตอร์	76
15. การเปลี่ยนแปลงของอุณหภูมิกับปริมาตรของสารละลายตัวอย่าง	78
16. การเปลี่ยนแปลงของอุณหภูมิของน้ำอ้อยที่มีการตกตะกอนกับไม่มีการตกตะกอนสารแขวนลอย	80

รายการตาราง (ต่อ)

ตาราง	หน้า
17. การเปลี่ยนแปลงของอุณหภูมิจากสารละลายน้ำโดยสารที่ได้จากการวิเคราะห์ที่มีอยู่ในน้ำอ้อยด้วยเทคนิค BIA เพื่อใช้เป็นค่าลิเบรทชันครีร์ฟ	83
18. การหมุนระนาบแสงจากสารละลายน้ำโดยสารที่ได้จากการวิเคราะห์ที่มีอยู่ในน้ำอ้อยด้วยเทคนิคโพลาริเมตริก เพื่อใช้เป็นค่าลิเบรทชันครีร์ฟ	84
19. การเปลี่ยนแปลงของอุณหภูมิต่อสารละลายน้ำโดยสารที่ได้จากการวิเคราะห์ที่มีอยู่ในน้ำอ้อยด้วยเทคนิค BIA	85
20. ค่าการหมุนระนาบแสงต่อสารละลายน้ำโดยสารที่ได้จากการวิเคราะห์ที่มีอยู่ในน้ำอ้อยด้วยเทคนิคโพลาริเมตริก	85
21. เปรียบเทียบผลการวิเคราะห์หาปริมาณน้ำโดยสารที่ได้จากการวิเคราะห์ที่มีอยู่ในน้ำอ้อยด้วยเทคนิค BIA กับเทคนิคโพลาริเมตริก โดยใช้สารละลายน้ำโดยสารที่ได้จากการวิเคราะห์ที่มีอยู่ในน้ำอ้อยด้วยเทคนิค BIA	86
22. ผลการวิเคราะห์หาปริมาณน้ำโดยสารที่มีอยู่ในน้ำอ้อยด้วยเทคนิค BIA เปรียบเทียบกับเทคนิคโพลาริเมตริก	89
23. ค่าการคุณลักษณะทางเคมีของสารละลายน้ำโดยสารที่ได้จากการวิเคราะห์ที่มีอยู่ในน้ำอ้อยด้วยเทคนิคสเปกโโทรโฟโตเมตริกเพื่อใช้เป็นค่าลิเบรทชันครีร์ฟ	93
24. ค่าการคุณลักษณะทางเคมีของสารละลายน้ำโดยสารที่ได้จากการวิเคราะห์ที่มีอยู่ในน้ำอ้อยด้วยเทคนิคสเปกโโทรโฟโตเมตริก	94
25. ผลการวิเคราะห์หาปริมาณน้ำโดยสารที่ได้จากการวิเคราะห์ที่มีอยู่ในน้ำอ้อยด้วยเทคนิค BIA เปรียบเทียบกับเทคนิคสเปกโโทรโฟโตเมตริก	95
26. ผลการวิเคราะห์หาปริมาณน้ำโดยสารที่ได้จากการวิเคราะห์ที่มีอยู่ในน้ำอ้อยด้วยเทคนิค BIA	98
27. ผลการวิเคราะห์หาปริมาณน้ำโดยสารที่ได้จากการวิเคราะห์ที่มีอยู่ในน้ำอ้อยด้วยเทคนิค BIA (ความเข้มข้นที่วิเคราะห์ได้ไม่ตรงกับข้างกระป๋อง)	100
28. ผลการวิเคราะห์หาปริมาณน้ำที่มีอยู่ในน้ำอ้อยด้วยเทคนิค BIA	102
29. ส่วนประกอบของน้ำอ้อยและน้ำอ้อย	113
30. โลหะหนักในน้ำตาลคิบ (Heavy Metals in Raw Sugar)	114

รายการภาพประกอบ

ภาพประกอบ	หน้า
1. ภาคตัดขวางของชั้นเย็นไชเม้อิเล็กโทรด	8
2. ชุดอุปกรณ์ที่ใช้ในระบบ BIA	16
3. ลักษณะของเทอร์มิสเตอร์ (Thermistor) ที่ใช้ในงานวิจัย	17
4. ลักษณะของปลอกเทอร์มิสเตอร์ที่ใช้ป้องกันการสูญเสียความร้อน	18
5. ระบบการวัดการเปลี่ยนแปลงอุณหภูมิโดยใช้เทอร์มิสเตอร์ประกอบใน วงจรเวทส์โตโนบิริดจ์	20
6. ตัวอย่างสัญญาณจากเทคนิค BIA ที่วัดการเปลี่ยนแปลงอุณหภูมิของ ปฏิกิริยากรด-เบส โดยที่ความเข้มข้นกรดในตริก 0.50 โนลาร์ และ โซเดียมไฮดรอกไซด์ 1.00 โนลาร์	23
7. ลักษณะของปลอกเทอร์มิสเตอร์	27
8. ลักษณะของปลอกเทอร์มิสเตอร์ที่รูระดับแรกของปลอกเทอร์มิสเตอร์ อยู่สูงจากเทอร์มิสเตอร์ต่างๆ กัน	29
9. แบบมีคักกันแบบสว่างในเทคนิคโพลาเรไมตริก	36
10. ตัวอย่างสัญญาณการตอบสนองจากระบบ BIA ที่ได้จากการวัดการเปลี่ยน แปลงอุณหภูมิ	40
11. ตัวอย่างสัญญาณจากระบบ BIA ที่วัดการเปลี่ยนแปลงของอุณหภูมิจาก ปฏิกิริยาของกรดในตริก 0.50 โนลาร์ กับสารละลายโซเดียมไฮดรอกไซด์ 1.00 โนลาร์	42
12. ผลของความยาวของปลอกเทอร์มิสเตอร์ต่อการเปลี่ยนแปลงของอุณหภูมิ	43
13. ผลของความยาวของปลอกเทอร์มิสเตอร์ต่อเวลาต่อสัญญาณ	43
14. ตัวอย่างสัญญาณที่ได้จากการศึกษาระยะห่างจากเทอร์มิสเตอร์ของรู ระดับแรกของปลอกเทอร์มิสเตอร์เมื่อใช้กรดในตริก 0.50 โนลาร์ กับ สารละลายโซเดียมไฮดรอกไซด์ 1.00 โนลาร์	45
15. ความสัมพันธ์ระหว่างการเปลี่ยนแปลงของอุณหภูมิกับระยะห่างจาก เทอร์มิสเตอร์ของรูระดับแรกของปลอกเทอร์มิสเตอร์	47
16. ความสัมพันธ์ระหว่างเวลาต่อสัญญาณกับระยะห่างจากเทอร์มิสเตอร์ของ รูระดับแรกของปลอกเทอร์มิสเตอร์	47

รายการภาพประกอบ (ต่อ)

ภาพประกอบ	หน้า
17. ความสัมพันธ์ระหว่างการเปลี่ยนแปลงของอุณหภูมิกับเวลาที่แข็งสารละลายตัวอย่าง	49
18. ความสัมพันธ์ระหว่างการเปลี่ยนแปลงของอุณหภูมิกับอัตราเร็วในการคนสารละลาย	52
19. ความสัมพันธ์ระหว่างเวลาต่อสัญญาณกับอัตราเร็วในการคนสารละลาย	52
20. เปรียบเทียบลักษณะสัญญาณจากระบบ BIA ที่ได้จากปฏิกริยากรด-เบส กับปฏิกริยาไออกไซด์โซนชูโกรส	54
21. สัญญาณการตอบสนองที่ความเข้มข้นของชูโกรส 0.10 มิลลาร์	55
22. ความสัมพันธ์ระหว่างการเปลี่ยนแปลงของอุณหภูมิกับความเข้มข้นของสารละลายชูโกรสที่อุณหภูมิ 20 องศาเซลเซียสและ 25 องศาเซลเซียส	58
23. ความสัมพันธ์ระหว่างการเปลี่ยนแปลงของอุณหภูมิกับ pH	60
24. ความสัมพันธ์ระหว่างการเปลี่ยนแปลงของอุณหภูมิกับความเข้มข้นของชูโกรสที่มีปริมาณกลูโคสต่างๆ กัน	62
25. ความสัมพันธ์ระหว่างการเปลี่ยนแปลงของอุณหภูมิกับความเข้มข้นของชูโกรสที่มีปริมาณฟรักโทสต่างๆ กัน	63
26. ความสัมพันธ์ระหว่างการเปลี่ยนแปลงของอุณหภูมิกับความเข้มข้นของสารละลายชูโกรสที่มีปริมาณกลูโคสและฟรักโทสต่างๆ กัน	64
27. ความสัมพันธ์ระหว่างการเปลี่ยนแปลงของอุณหภูมิกับความเข้มข้นของสารละลายชูโกรสที่มีปริมาณทองแดง (II) ต่างๆ กัน	66
28. ความสัมพันธ์ระหว่างการเปลี่ยนแปลงของอุณหภูมิกับความเข้มข้นของสารละลายชูโกรสที่มีปริมาณเงิน (I) ต่างๆ กัน	67
29. ความสัมพันธ์ระหว่างการเปลี่ยนแปลงของอุณหภูมิกับความเข้มข้นของสารละลายชูโกรสที่ความเข้มข้นต่างๆ กัน	70
30. เปรียบเทียบสัญญาณการตอบสนองที่ได้จากการใช้ในโครปีเป็ตแบบดิจิตอล ที่ควบคุมการฉีดสารละลายด้วยมือกับการใช้ในโครปีเป็ต EDOS 5221 ที่อัตราเร็ว 4 โดยใช้สารละลายชูโกรส 0.30 มิลลาร์	72

รายการภาพประกอบ (ต่อ)

ภาพประกอบ	หน้า
31. ความสัมพันธ์ระหว่างการเปลี่ยนแปลงของอุณหภูมิกับอัตราเร็วที่ใช้ในการนัดสารละลาย	74
32. ความสัมพันธ์ระหว่างการเปลี่ยนแปลงของอุณหภูมิกับระยะห่างระหว่างปลายปีเปตกับเทอร์มิสเตอร์	76
33. ความสัมพันธ์ระหว่างการเปลี่ยนแปลงของอุณหภูมิกับปริมาตรของสารละลายตัวอย่าง	78
34. ความสัมพันธ์ระหว่างการเปลี่ยนแปลงของอุณหภูมิของน้ำอ้อยที่มีการตกตะกอนและไม่มีการตกตะกอนสารแขวนลอย	81
35. การเปลี่ยนแปลงของอุณหภูมิจากสารละลายชูโกรสมารฐานที่ได้จากเทคนิค BIA เพื่อใช้ทำเป็นคลิเบรทชันเคริฟ	83
36. การหมุนระนาบแสดงจากสารละลายชูโกรสมารฐานที่ได้จากเทคนิคโพลาริเมตริกเพื่อใช้เป็นคลิเบรทชันเคริฟ	84
37. เปรียบเทียบผลการวิเคราะห์หาปริมาณชูโกรสารระหว่างเทคนิค BIA กับเทคนิคโพลาริเมตริกจากสารละลายชูโกรสมารฐาน	87
38. เปรียบเทียบผลการวิเคราะห์หาปริมาณชูโกรสในน้ำอ้อยระหว่างเทคนิค BIA กับเทคนิคโพลาริเมตริก	91
39. ค่าการดูดกลืนแสงจากสารละลายชูโกรสมารฐานที่ได้จากเทคนิค สเปกโทโรไฟโตเมตริก	93
40. เปรียบเทียบผลการวิเคราะห์ปริมาณชูโกรสในน้ำอ้อยระหว่างเทคนิค BIA กับเทคนิคสเปกโทโรไฟโตเมตริก	96
41. เปรียบเทียบผลการวิเคราะห์หาปริมาณชูโกรสารระหว่างเทคนิค BIA กับค่าที่ระบุไว้ข้างกระป้อง	99
42. เปรียบเทียบผลการวิเคราะห์หาปริมาณชูโกรสารระหว่างเทคนิค BIA กับค่าที่ระบุไว้ข้างกระป้อง	101
43. เปรียบเทียบผลการวิเคราะห์หาปริมาณชูโกรสในน้ำสัมภาระป้องระหว่างเทคนิค BIA กับค่าที่ระบุไว้ข้างกระป้องที่มีจำนวนวันผลิตห่างจากวันวิเคราะห์ต่างกัน	102

บทที่ 1

บทนำ

1.1 บทนำต้นเรื่อง

ชูโครสเป็นน้ำตาลที่ใช้กันมากในอุตสาหกรรมการผลิตอาหาร โดยใช้เป็นเครื่องเสริมรสชาติ ผลิตภัณฑ์ทางอาหารหรือเป็นวัตถุคิดในการผลิตสินค้าอุตสาหกรรมอาหาร เช่น นมข้นหวาน ผลไม้กระป่อง เครื่องดื่ม ไอศกรีม (วิชูร์ย พัฒนรัชต์ , 2520) แยน เกลลี่ และลูก gwac (Pancocast and Junk , 1980) ดังนั้นเพื่อให้ผลิตภัณฑ์มีคุณค่าทางโภชนาการและมีรสชาติที่ดี จึงต้องมีวิธีการตรวจวิเคราะห์ปริมาณของชูโครสเพื่อใช้ในการควบคุมกระบวนการผลิต (Paine and Paine , 1992) และในอุตสาหกรรมการผลิตอาหารบางประเภทชูโครสเป็นสารอาหารที่สำคัญในกระบวนการหมัก ซึ่งการควบคุมกระบวนการหมักนี้จำเป็นต้องมีการวิเคราะห์หาปริมาณของน้ำตาลในถังหมัก เนื่องจากหากความเข้มข้นของน้ำตาลสูงเกินไปอาจจะขับยั้งการเจริญเติบโตของจุลินทรีย์ที่ใช้ในกระบวนการหมักได้ (Karube , 1987) นอกจากนี้ในการประเมินคุณภาพของวัตถุคิด เนื่องจากน้ำไปใช้ในอุตสาหกรรมการผลิตน้ำตาล จะใช้ปริมาณชูโครสที่วิเคราะห์ได้ในน้ำอ้อยเป็นตัวบ่งชี้ (Zagatto , Mattos and Jacintho , 1988) ซึ่งจากความสำคัญของการตรวจหาชูโครสดังกล่าวข้างต้น ทำให้มีการพัฒนาเทคนิคที่ใช้ในการวิเคราะห์หาปริมาณชูโครสขึ้น เพื่อให้ได้ผลการวิเคราะห์ที่รวดเร็ว และถูกต้องแม่นยำ

การวิเคราะห์หาปริมาณชูโครสที่นิยมใช้โดยทั่วไปคือ เทคนิคโพลาริเมตريك (Polarimetric Method) (Meade and Chen , 1977) ซึ่งจะวัดความสามารถในการหมุนรั้านางแสงของชูโครสด้วย เครื่องโพลาริมิเตอร์ (Polarimeter) แต่เทคนิคนี้อาจจะมีการรบกวนจากสารอื่นที่มีคุณสมบัติในการหมุนรั้านางแสงโพลาไรซ์ (Optical Active) ได้ เช่น กรูโคล และฟรอกโอล ส่วนรับการวิเคราะห์หาปริมาณชูโครสโดยเทคนิคปีลลารีแก๊สโกรามาโทกราฟี (Capillary Gas Chromatography) (Davies , 1988) และเทคนิคทินเลเยอร์โกรามาโทกราฟี (Thin Layer Chromatography) (Grosz and Braunsteiner , 1989) จะให้ผลการวิเคราะห์ที่มีความแม่นยำ แต่มีข้อเสียคือใช้เวลาในการวิเคราะห์นานกว่า 10 นาที และ 80 นาที ตามลำดับ นอกจากนี้ยังมีขั้นตอนการเตรียมสารที่ยุ่งยาก เทคนิคที่ให้ผลการวิเคราะห์รวดเร็วกว่าสองเทคนิคที่กล่าวมาแล้วคือ เทคนิคไฟล์วินเจกชัน

อนาไลซิส (Flow Injection Analysis (FIA)) (Mattos , Zagatto and Jacintho , 1988) วิธีนี้สามารถวิเคราะห์หาปริมาณซูโคโรสได้ถูกต้องแม่นยำ และไม่ต้องผ่านขั้นตอนการเตรียมสารตัวอย่างที่ยุ่งยาก แต่เทคนิคนี้จะกำจัดสารละลายที่ใช้ทำการวิเคราะห์ออกจากระบบได้ยาก เนื่องจากทางที่สารละลายต้องผ่านมีขนาดเล็กมาก และระบบ FIA นี้ยังต้องใช้สารละลายหลา的心情เพื่อทำปฏิกิริยา กับสารที่ต้องการวิเคราะห์ จึงต้องมีเส้นทางเดินของสารเป็นจำนวนมากซึ่งทำให้ต้องเสียเวลาใช้จ่ายมากในส่วนนี้ (Wang , 1992)

นอกจากวิธีทางเคมีดังกล่าวแล้ว ได้มีการพัฒนาเทคนิคการวิเคราะห์หาปริมาณซูโคโรสโดยการใช้ออนไซเม (Enzyme) ร่วมกับออกซิเจโนเดลีกโตรด (O_2 -electrode) (Cleland and Enfors , 1984 ; Karube , 1987) ข้อดีของเทคนิคนี้คืออุปกรณ์ราคาไม่แพงเมื่อเทียบกับเทคนิคอื่นๆ และการใช้ออนไซเมทำให้มีความจำเพาะเฉพาะจุดต่อสารที่ต้องการวิเคราะห์ (Clark , 1987) ในการวิเคราะห์ส่วนมากจะทำให้เกิดปฏิกิริยาไชโครไลซิสของซูโคโรสเป็นกําลูโคสและฟรักโทส และตรวจวัดการลดลงของปริมาณออกซิเจนในสารละลายเนื่องจากปฏิกิริยาออกซิเดชันของกําลูโคส ซึ่งปริมาณของออกซิเจนที่ลดลงนี้จะสัมพันธ์กับปริมาณของกําลูโคสหรือซูโคโรสนั่นเอง ข้อเสียของเทคนิคนี้คือปริมาณของออกซิเจนในสารละลายที่ใช้อาจจะไม่คงที่ตลอดเวลา (Park , Ro and Kim , 1991) ซึ่งอาจจะทำให้ผลการวิเคราะห์ผิดพลาดได้ หากที่เก็บตัวอย่างแล้วจะเห็นว่าในการวิเคราะห์ซูโคโรสยังต้องการเทคนิคที่สະควร รวดเร็ว และแม่นยำกว่าเทคนิคเหล่านี้

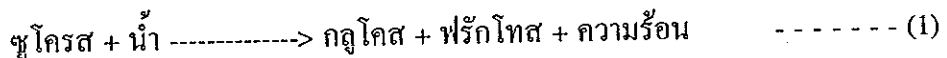
เทคนิคที่อาจจะพัฒนามาเป็นเทคนิคที่ใช้วิเคราะห์ซูโคโรสคือแบบซินเจกชันอนาไลซิส [Batch Injection Analysis (BIA)] (Wang and Taha , 1991a) ซึ่งประกอบด้วยตัวตรวจวัด (Detector) อยู่ในภาชนะบรรจุสารละลาย ในการวิเคราะห์จะมีสารตัวอย่างที่มีปริมาตรอยู่ในช่วงไม่ใหญ่กว่า 10 ml โคลลิตรลงบนตัวตรวจวัด สารตัวอย่างจะทำปฏิกิริยากับสารละลายที่อยู่รอบๆ หรือสารที่ศรีงไว้บนตัวตรวจวัดเกิดเป็นสัญญาณที่วัดได้โดยตัวตรวจวัดนั่นๆ สารละลายที่อยู่รอบๆ ตัวตรวจวัด จะถูกคนอยู่ตลอดเวลาเพื่อล้างทิ้งสารตัวอย่างและผลิตภัณฑ์ที่เกิดจากปฏิกิริยานั่นเองของตัวตรวจวัดออกไป ทำให้ผิวน้ำของตัวตรวจวัดพร้อมที่จะทำการวิเคราะห์ในครั้งต่อไปได้ เทคนิคนี้ข้อดีคือใช้เวลาในการวิเคราะห์น้อยกว่าคือสามารถทำการวิเคราะห์ได้ผลรวดเร็ว เช่นตัวอย่างน้ำนม สามารถใช้เวลาเพียง 5 วินาที นอกจากนี้ยังใช้สารละลายตัวอย่างน้อย ระบบไม่ยุ่งยากซับซ้อน สະควร และใช้ง่าย

มีรายงานการนำเทคนิค BIA มาใช้ในการวิเคราะห์หาปริมาณกลอไรด์และฟลูออไรด์ โดยใช้ตัวตรวจวัดชนิดโพแทเนซิโอมิตริก (Potentiometric Detector) (Wang and Taha , 1991b) โดยค่าสักขีไฟฟ้าที่วัดได้จะขึ้นอยู่กับความเข้มข้นของไอออนที่มีอยู่ในสารละลาย ในรายงานระบุไว้ว่าสามารถทำการวิเคราะห์ได้ผลรวดเร็วประมาณ 720 ตัวอย่างต่อชั่วโมง ใช้สารตัวอย่างเพียง 50

ในโกรลิตอร์ นอกจากนั้นยังมีรายงานที่เกี่ยวกับการพัฒนาเทคนิค BIA ที่ใช้ร่วมกับตัวตรวจวัด ชนิดอื่น เช่น การใช้เทคนิค BIA ร่วมกับตัวตรวจวัดความร้อน (Thermal Detector) (Wang and Taha , 1991c) ตัวตรวจวัดชนิดแอนเพอร์อมิตริก (Amperometric Detector) (Wang and Taha , 1991a) และตัวตรวจวัดชนิดไฟเบอร์ออปติกฟลูออโรเมต릭 (Fiber-Optic Fluorometric Detector) (Wang , Rayson and Taha , 1992)

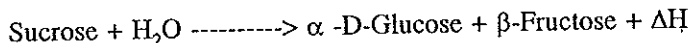
ในงานวิจัยนี้จะศึกษาเทคนิคแบบที่อินเเกชันอนไลซิสในการหาปริมาณซูโครัส โดยใช้ตัวตรวจวัดความร้อนร่วมกับเอนไซม์อินเวอร์เทส (Invertase) เนื่องจากเอนไซมนี้จะทำหน้าที่ในการเร่งปฏิกิริยาไชโคร่โลไซด์ของซูโครัสให้เป็นกลูโคสและฟรักโทส ดังสมการ

อินเวอร์เทส



หรือ

invertase



(Campanella and Tomassetti , 1990)

$$\Delta H = -14.93 \text{ KJmol}^{-1} \quad (\text{Goldberg , Tewari and Ahluwalia , 1989})$$

จะเห็นว่าปฏิกิริยาดังกล่าวมีความร้อนเกิดขึ้น การเปลี่ยนแปลงของอุณหภูมินี้องจากการเพิ่มขึ้นของความร้อนนี้จะตรวจโดยใช้เทอร์มิสเตอร์ (Thermistor) [สารกึ่งตัวนำที่ความต้านทานไฟฟ้าคล่องอย่างรวดเร็วเมื่ออุณหภูมิสูงขึ้น (ระวิ สงวนทรัพย์ , 2529)] เทอร์มิสเตอร์นี้จะต่อ กับวงจร วีตส์โทนบอร์ด (Wheatstone Bridge) และวงจรอิเล็กทรอนิกส์ ทำให้สามารถวัดการเปลี่ยนแปลงที่เกิดขึ้นในรูปของความต่างศักย์ไฟฟ้า คาดว่าเทคนิคนี้จะสามารถพัฒนาเป็นวิธีในการวิเคราะห์ปริมาณซูโครัสที่สะดวก รวดเร็ว และจำเพาะเจาะจงต่อซูโครัสที่ต้องการจะวิเคราะห์

น้ำอ้อยสดและน้ำผลไม้กระป่องจะเป็นตัวอย่างที่ใช้ในการวิเคราะห์หาปริมาณน้ำตาลซูโครัส โดยการทดสอบระบบของวิธี BIA ที่พัฒนาขึ้นมา

1.2 การตรวจเอกสาร

วิธีการวิเคราะห์ปริมาณซูโครัสที่นิยมใช้อยู่ในปัจจุบันสามารถแบ่งออกเป็น 2 กลุ่มใหญ่ ๆ คือ การวิเคราะห์โดยไม่ใช้อ่อนไชม์และใช้อ่อนไชม์

การวิเคราะห์ซูโครัสโดยไม่ใช้อ่อนไชม์นี้มีหลักวิธีที่นิยมใช้กันมากคือเทคนิค พลาริเมตريك (Pomeranz and Meloan , 1978) เทคนิคนี้จะใช้เครื่องโพลาริมิเตอร์วัดการหมุนระนาบแสงของ

ซูโครัส ข้อเดียวกันนี้คือ อาจจะมีการรับกวนจากสารอื่น เช่น กูโโคส และฟรอกโทส ที่มีสมบัติในการหมุนระนาบแสงโพลาไรซ์ได้ (Cadet , et al. , 1991 ; Meade and Chen , 1977) นอกนั้นสารที่จะทำการวิเคราะห์ต้องมีลักษณะเป็นของเหลวใส ไม่มีสี และไม่ขุ่น ดังนั้นหากตัวอย่างที่ต้องการวิเคราะห์มีลักษณะขุ่นและ/หรือมีสีจะต้องมีกระบวนการเตรียมสารละลายตัวอย่างให้ใส และไม่มีสีก่อนการวิเคราะห์

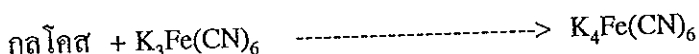
การวิเคราะห์หาปริมาณซูโครัสอีกวิธีหนึ่งเป็นวิธีทางเคมี (Chemical Methods) (AOAC Methods , 1980) โดยจะวิเคราะห์หาปริมาณซูโครัสจากปริมาณของกูโโคสและฟรอกโทสซึ่งเกิดจากการย่อยลายของซูโครัสโดยกรดไฮโดรคลอริก กูโโคสและฟรอกโทสที่เกิดขึ้นจะอยู่ในรูปของน้ำตาลรีดิวชิง (reducing sugar) ซึ่งจะทำปฏิกิริยากับสารละลายคิวปริโซกไซด์ ($CuSO_4$) และสารละลายอัลคาไลน์ทาร์เรต (Alkaline Tartrate) ได้ตระกอนของคิวปริโซกไซด์ (Cu_2O) ถ้าวิเคราะห์โดยการวิเคราะห์กราวิเมตريค (Gravimetric Methods) จะใช้วิธีซั่งน้ำหนักตะกอน แต่ถ้าเป็นการวิเคราะห์โดยปริมาตร (Volumetric Methods) จะนำตะกอนคิวปริโซกไซด์ที่ได้ละลายกับกรดไฮดริก 5 มิลลิลิตร เติมน้ำให้มีปริมาตร 20 มิลลิลิตร แล้วไห้เทรตกับสารละลายโซเดียมไฮโซเซลไฟต์ ($Na_2S_2O_3$) ผลที่ได้นำมาคำนวณหาปริมาณซูโครัส โดยทั่วไปแล้วมักจะทำการวิเคราะห์ตัวอย่างก่อนและหลังการใช้กรดไฮโดรคลอริกย่อยลายซูโครัส เนื่องจากในตัวอย่างอาจมีน้ำตาลกูโโคสและฟรอกโทสผสมอยู่ด้วย ในกรณีนี้ปริมาณของซูโครัสจะคำนวณจากผลต่างระหว่างผลที่ได้ก่อนและหลังการย่อยลายซูโครัส ข้อเดียวกันนี้คือการวิเคราะห์มีหลายขั้นตอน นอกจากนี้ยังเป็นเทคนิคที่ไม่จำเพาะเฉพาะเจาะจงสำหรับซูโครัส เนื่องจากอาจจะมีการรับกวนจากน้ำตาลตัวอื่น เช่น อะราบิโนส แม่นโนส กาแลคโตส นอลโตส และโตกาส เป็นต้น รวมทั้งกรด-แอกโซร์บิก และสารประกอบอื่นๆ (Pesce and Kaplan , 1987) ทำให้ผลการวิเคราะห์ได้ค่อนข้างกว่าค่าจริง

เทคนิคที่ให้ผลถูกต้องแม่นยำกว่าเทคนิคข้างต้น คือ เทคนิคปีลลารีแก๊ส โครม่าโทกราฟี (Davies , 1988) ซึ่งมีรายงานการศึกษามากมายซูโครัสในมันฝรั่ง โดยสภาวะการวิเคราะห์คือ ใช้คอลัมน์ยาว 5 เมตร เส้นผ่าศูนย์กลางภายใน 530 ไมโครเมตร มี Hewlett Packard (HP) -1 (เที่ยบเท่ากับ OV-1 (Dimethyl silicone gum) , SE-30 (Methyl silicone gum)) เป็นสเตชันนารีเฟสที่เคลื่อนในคอลัมน์หนา 2.65 ไมโครเมตร อุณหภูมิหัวฉีด (Injector) 220 องศาเซลเซียส ($^{\circ}C$) เคลื่อนในคอลัมน์หนา 140 องศาเซลเซียส อุณหภูมิของตัวตรวจวัด 300 องศาเซลเซียส และใช้แก๊สอุณหภูมิคอลัมน์ 140 องศาเซลเซียส อุณหภูมิของตัวกรัมต่อ 100 ไมโครเมตร ($3 \times 10^{-7} - 9 \times 10^{-5}$ โนลาร์) แม้ว่าเทคนิคปีลลารีแก๊ส โครม่าโทกราฟีจะสามารถใช้วิเคราะห์หา

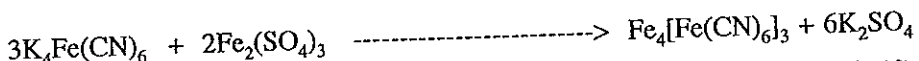
ปริมาณชูโกรสได้อย่างถูกต้องและแม่นยำ แต่ก็มีข้อเสียคือ เครื่องมือที่ใช้ในการวิเคราะห์มีราคาแพง และต้องอาศัยผู้ที่มีความชำนาญและมีประสบการณ์ในการวิเคราะห์สูง

นอกจากนี้ได้มีการพัฒนาโดยการนำเทคนิคทินเลเยอร์โคมากาฟาราฟี (Grosz and Braunsteiner , 1989) มาใช้ในการวิเคราะห์หน้าปริมาณชูโกรส โดยสารตัวอย่างและสารมาตรฐานจะต้องนำมาเจือจากกับสารละลายน้ำกับเมทานอลในอัตราส่วน 1 : 1 และใช้เฟสเคลื่อนที่ (Mobile Phase) เป็นตัวทำละลายผสมของเอทธิลอะซิตेट (Ethylacetate) - เอทานอล(Ethanol) (96%) - กรดอะซิติก (Acetic Acid) (60%) - สารละลายน้ำกรดอริกอิ่มตัวที่เย็น (Cold Saturated Boric Acid Solution) ในอัตราส่วน 50 + 20 + 10 + 10 โดยปริมาตรต่อปริมาตร (v/v) พบว่า เวลาที่ใช้ในการแยกสารเมื่อเฟสเคลื่อนที่เคลื่อนที่เป็นระยะทาง 10 เมตร คือ 50-55 นาที หลังจากนั้นจะทำให้เพลท (Plate) แห้งที่อุณหภูมิ 55 องศาเซลเซียส เป็นเวลา 30 นาที แล้วนำไปหาปริมาณน้ำที่ทำให้เพลท (Plate) แห้งที่อุณหภูมิ 55 องศาเซลเซียส เป็นเวลา 30 นาที และน้ำที่นำไปหาปริมาณน้ำที่ทำให้เพลท (Plate) แห้งที่อุณหภูมิ 55 องศาเซลเซียส เป็นเวลา 30 นาที หลังจากนั้นจะทำการวัดการสะท้อนของแสง(Reflectance) หรือฟลูออเรสเซนซ์ (Fluorescence) โดยมีค่าจำกัดตรวจค่าสูง (Detection Limit) 25 นาโนกรัมต่อ 0.5 ไมโครลิตร (7×10^{-5} ไมโครลิตร) ข้อเสียของเทคนิคนี้คือ ใช้เวลาในการวิเคราะห์ต่อสารตัวอย่างนาน และมีขั้นตอนในการวิเคราะห์ที่ยุ่งยาก

การหาปริมาณชูโกรสสามารถทำได้รวดเร็วขึ้นโดยใช้เทคนิคไฟล์วินเจกชันออนไลซิส (Mattos , Zagatto and Jacintho , 1988) วิธีนี้จะวิเคราะห์หน้าปริมาณชูโกรสจากกลุ่มโคสที่เกิดขึ้นจากการย่อยสลายของชูโกรสโดยใช้กรดไฮโดรคลอโรบิออกซิฟีโรฟอร์ม (III) [Hexacyanoferrate (III) ; $K_3Fe(CN)_6$] ที่อุณหภูมิ 95 องศาไบรีดิวเซกชั่นไฮยาโนเฟอเรต (III) [Hexacyanoferrate (II) ; $K_4Fe(CN)_6$] ดังสมการ



และไฮดราซิฟายาโนเฟอเรต (II) ทำปฏิกิริยากับเฟอริกซัลเฟต $[Fe_2(SO_4)_3]$ เกิดผลิตภัณฑ์คือเฟอริกเฟอโรไฮยาไนด์ [Ferric ferrocyanide ; $Fe_4[Fe(CN)_6]_3$] ที่มีสีน้ำเงินเข้ม (prussian blue) ดังสมการ

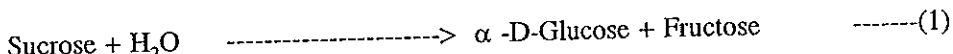


และตรวจวัดสีน้ำเงินเข้มของเฟอริกเฟอโรไฮยาไนด์ ด้วยสเปกโกรไฟโตรนิเตอร์ (Spectrophotometer) ที่ความยาวคลื่น 512 นาโนเมตร ปริมาณชูโกรสสามารถหาได้จากผลต่างของน้ำตาลกลุ่มโคสก่อนและหลังการย่อยสลายชูโกรส ในการวิเคราะห์ด้วยวิธีนี้รายงานว่า สามารถวิเคราะห์สารตัวอย่างได้ 40 ตัวอย่างต่อ 1 ชั่วโมง และไม่ต้องผ่านการเตรียมตัวอย่างที่ยุ่งยาก ให้คำแนะนำเบื้องต้นสำหรับการวิเคราะห์ชูโกรส ได้แก่ ต้องมีความแม่นยำสูงกว่า 1% แม่ค่าเสียคือระบบ FIA นี้จะมีการใช้สารละลายน้ำชนิดเพื่อทำปฏิกิริยากับสารที่ต้องการวิเคราะห์ ทำให้ต้องเสียค่าใช้จ่ายมาก เนื่องจาก

ต้องมีทางเดินของสารละลายหลายทาง และยังต้องมีอุปกรณ์ที่ใช้แยกและรวมสารตามจุดต่างๆ นอกจากนี้การกำจัดสารละลายที่ใช้ออกจากท่อ (tube) สามารถทำได้ยาก เนื่องจากท่อที่ใช้มีขนาดเล็กมาก (Wang , 1992)

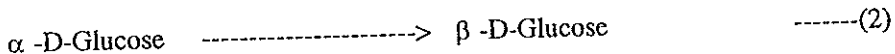
กลุ่มที่สองจะเป็นเทคนิคที่ใช้วิเคราะห์หาปริมาณซูโคโรสโดยการใช้อ่อนไชม์ ซึ่งส่วนใหญ่จะเป็นการใช้อ่อนไชม์ร่วมกับอิเล็กโทรดต่างๆ เรียกว่า อ่อนไชม์อิเล็กโทรด (Enzyme electrode) อ่อนไชม์อิเล็กโทรดสำหรับซูโคโรสที่มีอยู่ในปัจจุบันจะใช้อ่อนไชม์อินเวอร์เทสเร่งปฏิกิริยาไฮโดร-ไลซิสของซูโคโรสเป็นกลูโคสและฟรักโทส ดังสมการ 1

Invertase



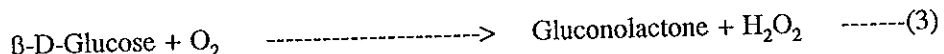
และใช้อ่อนไชม์มิวตาโรเตส (Mutarotase) เร่งปฏิกิริยาการเปลี่ยนรูปแอลฟ้าไปเป็นรูปบีด้านของกลูโคส ดังสมการ 2

Mutarotase



ปฏิกิริยาที่ 2 นี้สามารถเกิดขึ้นได่อง เรียกปรากฏการณ์ในการเปลี่ยนกลับไปมาในรูปแอลฟ้าไปเป็นรูปบีด้านของกลูโคสว่า มิวตาโรเตชัน (Mutarotation) แต่เกิดขึ้นได้ช้า จึงมักใช้อ่อนไชม์ช่วยในการเร่งปฏิกิริยา หลังจากนั้นเออนไชม์กลูโคสออกซิเดส (Glucose Oxidase) จะเร่งปฏิกิริยาออกซิเดชันของกลูโคส ดังสมการ 3

Glucose Oxidase

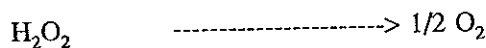


ในปฏิกิริยาของกลูโคสที่เปลี่ยนไปเป็นกลูโคโนแลคโทน (Gluconolactone) (สมการ 3) มีการใช้ออกซิเจนในการเกิดปฏิกิริยา ปริมาณออกซิเจนที่ลดลงนี้ตรวจได้โดยใช้ออกซิเจนอิเล็กโทรด (Cleland and Enfors , 1984) ซึ่งปริมาณออกซิเจนที่ลดลงในสารละลายจะสัมพันธ์กับปริมาณกลูโคสหรือซูโคโรสเป็นเชิงเส้น ในช่วง 5 กรัมต่อลิตร - 150 กรัมต่อลิตร หรือ 0.01 - 0.44 ไมโคร

ในวิธีข้างต้นหากตัวอย่างมีกลูโคสอยู่ด้วย ผลการวิเคราะห์ที่ได้จะทำให้ได้ค่าของซูโคโรสสูงกว่าที่เป็นจริง ดังนั้นจึงได้มีการพัฒนาโดยใช้มัลติเลเยอร์เออนไชม์อิเล็กโทรด (ภาพประกอบ 1) (Multilayer Enzyme Electrode) (Scheller and Renneberg , 1983) ซึ่งจะประกอบด้วยแผ่น เมมเบรนสามชั้น ระหว่างเมมเบรนชั้นนอกกับชั้นกลางจะมีเออนไชม์กลูโคสออกซิเดส [Glucose Oxidase (GOD)] และเออนไชม์แคตตาลีส [Catalase (CAT)] เมมเบรนชั้นนอกนี้ (g) จะให้กลูโคสและซูโคโรสผ่านเข้าไป กลูโคสและผลผลิตที่เกิดขึ้นจะถูกกำจัดระหว่างเมมเบรนชั้นนอกกับชั้นกลางด้วยเออนไชม์กลูโคสออกซิเดสและเออนไชม์แคตตาลีสโดยที่เออนไชม์กลูโคสออกซิเดสเร่ง

ปฏิกริยาออกซิเดชันของกลูโคสไดophilic ก็จะเป็นไฮโดรเจนเพอร์ออกไซด์ ดังสมการ 3 ซึ่งไฮโดรเจนเพอร์ออกไซด์ที่เกิดขึ้นจะถูกย่อยด้วยเอนไซม์คatabolase ได้เป็นแก๊สออกซิเจน ดังสมการ

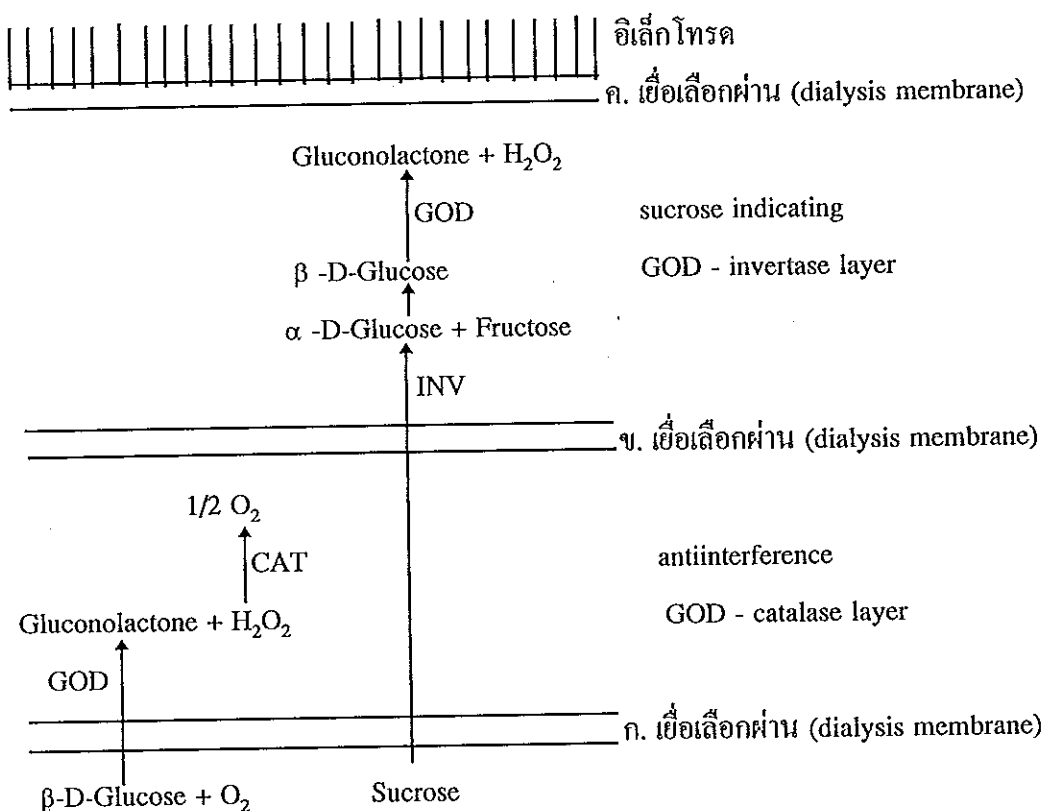
Catalase



ส่วนใหญ่จะผ่านเเมบเบรนชั้นกลาง (x) เข้าไปยังชั้นมีเอนไซม์กลูโคสออกซิเดสและเอนไซม์อินเวอร์เทสปฏิกริยาที่เกิดขึ้น จะเป็นไปตามสมการ 1, 2 และ 3 ที่กล่าวมาแล้วข้างต้น ไฮโดรเจนเพอร์ออกไซด์ (H_2O_2) ที่เกิดขึ้นจะผ่านเเมบเบรนชั้นใน (c) เข้าไป และถูกตรวจวัดด้วยไฮโดรเจนเพอร์ออกไซด์อิเล็กโทรด (H_2O_2 -electrode) ดังแสดงในภาพประกอบ 1 วิธีดังกล่าวให้ช่วงความเป็นเส้นตรงถึง 13 มิลลิโมลาร์ (mM) แม้ว่าเวนิจสามารถวิเคราะห์ซุ้มไฮโดรเจนเพอร์ออกไซด์ได้โดยไม่มีการรวมกับกลูโคส แต่มีข้อเสียคือ ให้ช่วงความเป็นเส้นตรงในการวิเคราะห์ซุ้มไฮโดรเจนเพอร์ออกไซด์แคบ

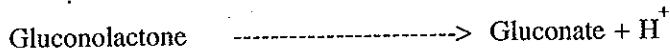
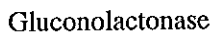
ดังนั้นจึงได้มีการศึกษาวิจัยวิธีการหาปริมาณซุ้มไฮโดรเจนโดยใช้ไตรเอนไซม์อิเล็กโทรด (Tri-Enzyme Electrode) ร่วมกับเทคนิคไฟล์วินเจกชันอนาไลซิส (Hamid , Moody and Thomas , 1988) โดยใช้เอนไซม์คินเเวอร์เทส มิวตาโรเตส (Mutarotase) และกลูโคสออกซิเดสตรีงร่วมกันบนตาข่ายไนล่อน (Nylon) ด้วยอัตราส่วน 2000 : 1000 : 200 I.U. (International Unit ของเอนไซม์) ค่าเท่ากับปริมาณเอนไซม์ที่สามารถร่างให้สับสเตรทหนึ่งในโครโนโลปลี่ยนเป็นผลิตผลในเวลาหนึ่งนาทีที่อุณหภูมิ 25 องศาเซลเซียส) ปริมาณของไฮโดรเจนเพอร์ออกไซด์ที่เป็นผลิตภัณฑ์ที่เกิดขึ้นจากปฏิกริยาจะถูกตรวจวัดด้วยไฮโดรเจนเพอร์ออกไซด์อิเล็กโทรด โดยที่ค่าสักย์ไฟฟ้าที่วัดได้นั้นจะเป็นสัดส่วนของไฮโดรเจนเพอร์ออกไซด์ในสารละลาย และสัญญาณการตอบสนองจะอยู่ในช่วงความเป็นเส้นตรงเมื่อความเข้มข้นซุ้มไฮโดรเจนอยู่ในช่วง 10^{-6} - 10^{-3} มิลลาร์

วิธีการหาปริมาณซุ้มไฮโดรเจนโดยใช้เอนไซม์อิเล็กโทรดที่ก่อความเสียหายตื้น ส่วนใหญ่ใช้ไตรเอนไซม์อิเล็กโทรดจะประกอบด้วยเอนไซม์กลูโคสออกซิเดส มิวตาโรเตส และอินเวอร์เทสที่ร่วมกันในเเมบเบรน ซึ่งปริมาณออกซิเจนที่ถูกไฮโดรเจนเพอร์ออกไซด์ที่เป็นผลิตภัณฑ์ที่เกิดขึ้นจากปฏิกริยาของเอนไซม์อินเวอร์เทสและกลูโคสออกซิเดส จะถูกตรวจวัดโดยใช้ออกซิเจนอิเล็กโทรด หรือไฮโดรเจนเพอร์ออกไซด์อิเล็กโทรด ข้อเสียของการใช้ออกซิเจนอิเล็กโทรดคือปริมาณออกซิเจนในสารละลายจะไม่คงที่อาจจะมีการเปลี่ยนแปลงขึ้นๆลงๆ ทำให้ผลการวิเคราะห์ผิดพลาดได้ สำหรับไฮโดรเจนเพอร์ออกไซด์อิเล็กโทรดซึ่งความเข้มข้นของเอนไซม์ในสารละลายจะไม่คงที่อาจจะมีการเปลี่ยนแปลงขึ้นๆลงๆ (Park , Ro and Kim , 1991) ทำให้ผลการวิเคราะห์ผิดพลาดได้ สำหรับไฮโดรเจนเพอร์ออกไซด์อิเล็กโทรดซึ่งความเข้มข้นของเอนไซม์ในสารละลายจะไม่คงที่อาจจะมีการเปลี่ยนแปลงขึ้นๆลงๆ ดังนั้นเพื่อแก้ไขปัญหาดังกล่าวจึงได้มีการพัฒนาการวิเคราะห์หาปริมาณซุ้มไฮโดรเจนโดยใช้ปีโซอิเล็กโทรด (pH Electrode) ร่วมกับเอนไซม์กลูโคสออกซิเดส และเอนไซม์อินเวอร์เทส (Park , Ro and Kim ,



ภาพประกอบ 1 ภาพตัดขวางของชั้นเยื่อไชเม้อเล็กโกรด (Scheller and Renneberg , 1983) ประกอบด้วยแผ่นเเบรนสามชั้น คือ เบรา์นชั้นนอก (ก) ทำหน้าที่ในการเดือดซูโครสและกลูโคสในสารตัวอย่างเข้าไปในระบบ ระหว่างเเบรนชั้นนอกกับชั้นกลางจะมีเอนไซม์กลูโคสออกซิเดสและเอนไซม์กะทะเลส เเบรนชั้นกลาง (ข) ทำหน้าที่เดือดซูโครสให้เข้าไปในระบบ และระหว่างเเบรนชั้นกลางกับชั้นในจะมีเอนไซม์กลูโคสออกซิเดสและเอนไซม์อินเวอร์เทส ส่วนเเบรนชั้นใน (ค) เลือกให้โครเรนเพอร์ออกไซด์ผ่าน

1991) ได้ผลิตภัณฑ์เป็นกลูโคโนแลคโทนและไฮดรอไนไซเดอร์กลูโคโนแลคโทเนส (Gluconolactonase) ในการเปลี่ยนกลูโคโนแลคโทนไปเป็นกลูโคเนต (Gluconate) กับไฮโดรเจนไออกอน (H^+) ดังสมการ



โดยที่ปริมาณไฮโดรเจนไออกอนที่เกิดจากปฏิกิริยาจะเป็นสัดส่วนโดยตรงกับปริมาณของซูโคโรส โดยให้ช่วงความเป็นสัมประสิทธิ์ในการวิเคราะห์ซูโคโรส 70 กรัมต่อลิตร (0.20 มิลาร์)

เทคนิคต่างๆดังกล่าวข้างต้นมีข้อด้อยคือให้ช่วงความเป็นสัมประสิทธิ์ในการวิเคราะห์ซูโคโรสแคบ ซึ่งถ้าสารตัวอย่างที่ใช้มีความเข้มข้นสูงจะต้องทำการเขี่ยจาง (Dilution) สารตัวอย่างก่อน ซึ่งทำให้ต้องเสียเวลาในขั้นตอนนี้และอาจทำให้การวิเคราะห์ผิดพลาดได้ ดังนั้นในการวิเคราะห์ซูโคโรสจึงยังต้องการเทคนิคที่ละเอียด รวดเร็ว กว่าเทคนิคที่กล่าวมาแล้ว

เทคนิคที่น่าสนใจคือแบบอินเจกชันไลซิส ซึ่งเป็นเทคนิคใหม่เริ่มพัฒนาเมื่อปี ค.ศ. 1991 (Wang and Taha , 1991a) และได้มีการศึกษามาโดยต่อเนื่อง (Wang , 1992 ; Wang and Taha , 1991b ; Wang and Taha , 1991c ; Wang , Rayson and Taha , 1992 ; Wang , et al. , 1992) โดยใช้เทคนิค BIA ร่วมกับตัวตรวจวัดหลายชนิดด้วยกัน และในการวิเคราะห์มีห้องที่ไม่ใช้เอนไซม์และไฮดรอไนไซเดอร์ ดังรายละเอียดต่อไปนี้

ในการวิเคราะห์หาปริมาณเพอร์โซไซด์ (Ferrocyanide) และไฮดรอกวิโนน (Hydroquinone) ใช้ตัวตรวจวัดชนิดแอมเพลโกร เมตริก (Wang and Taha , 1991a) สารละลายที่อยู่ในเซลล์ (ภาชนะบรรจุสารละลายที่มีตัวตรวจวัดแนบอยู่) ที่ใช้ในการวิเคราะห์เพอร์โซไซด์และไฮดรอกวิโนน คือโพแทสเซียมคลอไรด์ (KCl) 0.1 มิลาร์ และฟอสฟอฟท์บัฟเฟอร์ (phosphate buffer) 0.1 มิลาร์ ตามลำดับ ปริมาตรสารละลายตัวอย่างที่ใช้คือ 20 ไมลิลิตร และปลายปีปีปต์ที่ฉีดสารตัวอย่างห่างจากตัวตรวจวัด 2 มิลลิเมตร เมื่อฉีดเพอร์โซไซด์และไฮดรอกวิโนนลงบนอิเล็กโทรดทำงาน (Working electrode) เพื่อเพอร์โซไซด์และไฮดรอกวิโนนถูกออกซิไดส์ด้วยศักย์ไฟฟ้าที่ป้อนให้กับอิเล็กโทรดทำงาน +0.9 และ +1.1 โวลต์ ตามลำดับ กระแสไฟฟ้าที่เกิดขึ้นจะมีความสัมพันธ์เป็นเชิงสัมประสิทธิ์กับความเข้มข้นของเพอร์โซไซด์และไฮดรอกวิโนน จากผลการทดลองพบว่า สามารถทำการวิเคราะห์ตัวอย่างได้ 720 ตัวอย่างต่อชั่วโมง และให้ค่าเบี่ยงเบนมาตรฐานตั้งแต่ 0.5% สำหรับเพอร์โซไซด์และไฮดรอกวิโนนเท่ากับ 1.6% และ 1.1% ตามลำดับ

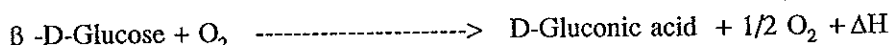
สำหรับการวิเคราะห์หาปริมาณเคลอไรด์ (Chloride) และฟลูออไรด์ (Fluoride) โดยใช้เทคนิค BIA ใช้อิเล็กโทรดที่จำเพาะกับไออกอน (Ion - selective electrode) (Wang and Taha , 1991b) โดยใช้สารละลายโพแทสเซียมไดไฮโดรเจนฟอสฟे�ต (KH_2PO_4) 0.05 มิลาร์ ที่มีโซเดียมไนเตรท ($NaNO_3$) 0.25 มิลาร์ pH 6.0 เป็นสารละลายในเซลล์สำหรับการวิเคราะห์เคลอไรด์และในการ

วิเคราะห์ฟลูออโรค์ ใช้โซเดียมอะซิเตท 0.2 ไมลาร์ กรดอะซิติก 0.17 ไมลาร์ โซเดียมคลอไรค์ 0.35 ไมลาร์ และ 1,2 - diaminocyclohexane - N,N,N,N - tetraacetic acid (DCTA) 1 กรัมต่อลิตร (gL^{-1}) ปริมาตรสารละลายน้ำที่ใช้คือ 50 ไมโครลิตร ระยะห่างของป้ายปีเปตจากตัวตรวจวัด 2 มิลลิเมตร และอัตราเร็วในการคนสารละลายของคลอไรค์และฟลูออโรค์เท่ากัน 300 และ 500 รอบต่อนาที ตามลำดับ ค่าศักย์ไฟฟ้าที่วัดได้โดยอิเล็กโโทรดจะขึ้นอยู่กับความเข้มข้นของไอออนคลอไรค์และฟลูออโรค์ โดยให้ช่วงความเป็นเส้นตรงในการวิเคราะห์ของคลอไรค์และฟลูออโรค์ เป็น 0.5 - 10 มิลลิไมลาร์ และ 10 - 5000 ไมโครไมลาร์ (μM) ตามลำดับ และขีดจำกัดต่ำสุดในการตรวจวัดของคลอไรค์เท่ากับ 0.1 มิลลิไมลาร์ (0.18 ไมโครกรัมต่อลิตร) และของฟลูออโรค์เท่ากับ 2 ไมโครไมลาร์ (2 นาโนกรัมต่อลิตร)

นอกจากนี้ยังได้มีการใช้เทคนิค BIA ร่วมกับไฟเบอร์อปติกฟลูออโรเมตريك (Wang , Rayson and Taha , 1992) เพื่อวิเคราะห์หาปริมาณโรตามีนบี (Rhodamine B) และไโรโบฟลาวิน (Riboflavin) โดยอาศัยหลักการที่ไม่เลกุลของโรตามีนบีและไโรโบฟลาวินจะดูดกลืนไฟต้อนจากแหล่งกำเนิดแสงแล้วเปลี่ยนจากสถานะพื้น (ground state) ไปสู่สถานะกระตุ้น (excited state) ซึ่งไม่เสถียร เมื่อกลับสู่สถานะพื้นจะปล่อยแสงฟลูออเรสเซนต์ออกมานะ ซึ่งจะวัดได้โดยใช้ไฟเบอร์อปติกฟลูออโรเมตريك ความเข้มข้นของแสงฟลูออเรสเซนต์จะเป็นสัดส่วนตรงกับปริมาณโรตามีนบีและไโรโบฟลาวิน ในการทดลองใช้น้ำที่ปราศจากไอออน (deionized water) และฟ้อสเฟตบีฟเฟอร์ 0.05 ไมลาร์ pH 7.4 เป็นสารละลายน้ำที่อยู่ในเซลล์ในการวิเคราะห์โรตามีนบีและไโรโบฟลาวิน ตามลำดับ มีแหล่งกำเนิดแสงคือ ซีนอนอาร์คแลมป์ (xenon arc lamp) 500 วัตต์ ปริมาตรที่ใช้ในการฉีดสารละลายน้ำที่ต้องใช้ 25 ไมโครลิตร ระยะห่างของป้ายปีเปตจากตัวตรวจวัดเป็น 1 มิลลิเมตร อัตราเร็วในการคนสารละลายน้ำที่ต้องใช้ 250 รอบต่อนาที และตรวจวัดความเข้มข้นแสงฟลูออเรสเซนต์ของโรตามีนบีและไโรโบฟลาวิน ที่ความยาวคลื่น 568.7 นาโนเมตร (nm) และ 575.5 นาโนเมตร ตามลำดับ สามารถวิเคราะห์สารตัวอย่างได้ 120 - 500 ตัวอย่างต่อชั่วโมง และให้ค่าเบี่ยงเบนมาตรฐานสัมพัทธ์ 2 - 3% นอกจากนี้ให้ขีดจำกัดต่ำสุดในการตรวจวัดของโรตามีนบี (Rhodamine B) 1 ไมโครไมลาร์

เทคนิค BIA นี้ยังได้มีการใช้ร่วมกันกับโซเดียมอะกูโคลส โดยใช้เอนไซม์คatabolase และกลูโคสออกซิเดสตึงบนผิวของทอร์มิสเตอร์ (Wang and Taha , 1991c) ซึ่งจะตรวจวัดความร้อน (ΔH) ที่เกิดขึ้นจากปฏิกิริยา

Glucose Oxidase



Catalase

(Tran-Minh and Vallin , 1978)

โดยสารละลายน้ำในเซลล์คือ พอสเฟตบัฟเฟอร์ 0.1 มิลลิาร์ pH 7.0 ใช้ปริมาตรสารละลายน้ำอย่าง 25 ไมโครลิตร ระยะห่างของปลายปีเปตจากตัวตรวจวัด 2 มิลลิเมตร และอัตราเร็วในการคนสารละลายน้ำ 300 รอบต่อนาที จากผลการวิเคราะห์พบว่า การเปลี่ยนแปลงของอุณหภูมิจะเพิ่มขึ้นตามความเข้มข้นของกัลว์โคล์ที่เพิ่มขึ้น โดยมีค่าความชัน 257 มิลลิโวลต์ต่อ มิลลิอาร์ (mV/M) และให้จัดจำแนกต่อไปนี้

จากการวิเคราะห์โดยการใช้เทคนิค BIA ร่วมกับ ตัวตรวจวัดต่างๆ ที่กล่าวมา สามารถสรุปได้ว่า เทคนิคนี้สามารถทำการวิเคราะห์ได้ง่าย สะดวก รวดเร็ว มีความถูกต้องและแม่นยำ ใช้สารตัวอย่างในการทำการวิเคราะห์น้อย รวมทั้งสามารถกำจัดปัญหาที่เกิดขึ้นจากการใช้ปั๊มและท่อได้ นอกจากนี้ไม่มีผลที่เกิดจากการใช้สารตัวอย่างที่มีความเข้มข้นต่างกันมาก (Carryover) กระบวนการต่อการวิเคราะห์

1.3 วัตถุประสงค์

1. ศึกษาหลักการและปัจจัยต่างๆ ที่มีผลต่อการวิเคราะห์หัวปรมานณ์โดยเทคนิคแบบที่อินเจกชันอน่าไลซิส
2. ทดสอบเทคนิคนี้โดยการวิเคราะห์หัวปรมานณ์โดยสอดในน้ำอ้อย และน้ำผลไม้กระป่อง
3. เปรียบเทียบผลการวิเคราะห์ที่ได้จากการวิเคราะห์หัวปรมานณ์โดยสอดในน้ำไลซิสกับวิธีการวิเคราะห์หัวปรมานณ์ที่ใช้ออยู่ในปัจจุบัน

1.4 ประโยชน์ที่คาดว่าจะได้รับ

1. เพื่อให้ได้วิเคราะห์หัวปรมานณ์โดยสอดที่สะดวก และรวดเร็ว
2. เป็นข้อมูลพื้นฐานในการศึกษาวิจัย และปรับปรุงเทคนิคนี้ที่อาจจะสามารถใช้ในทางการวิเคราะห์หัวปรมานณ์โดยสอดในอุตสาหกรรม

1.5 ขอบเขตของการศึกษา

1. ศึกษาปัจจัยต่างๆ ที่มีผลต่อเทคนิคแบบที่อินเจกชันอน่าไลซิส
2. วิเคราะห์หัวปรมานณ์โดยสอดที่มีอยู่ในสารละลายน้ำอย่างและเปรียบเทียบผลการวิเคราะห์กับเทคนิคที่ใช้อยู่ในปัจจุบัน

บทที่ 2

วิธีการวิจัย

2.1 วัสดุ

2.1.1 สารเคมีที่ใช้ในเทคนิคเบทซ์อินเจกชันอนไลน์

- เอ็นไซม์อินเวอร์เทส (Invertase EC 3.2.1.26 , 852 units/mg solid , Grade VII :
Sigma , U.S.A.)
- ขัลบูมิน (Laboratory Grade : Fluka , Switzerland)
- กลูตราสัดค่าไฮดรัส 25% ($C_5H_8O_2$, AR Grade : Riedel - de Haen , Germany)
- น้ำตาลทรายขาว (มีดูโครส 99.5% (วิชช์ ตันไพริตร , 2522 ; Pearson , 1970
; Zapsalis , 1985) , $C_{12}H_{22}O_{11}$)
- ดี (+) - กลูโคส ($C_6H_{12}O_6$, Laboratory Grade : Fluka , Switzerland)
- บีต้า-ดี (-) ฟรักโทส ($C_6H_{12}O_6$, Laboratory Grade : Sigma , U.S.A.)
- กรดอะซิติก 100% (CH_3COOH , AR Grade : Merck , Germany)
- โซเดียมอะซิเตท ($NaCH_3O_2 \cdot 3H_2O$, AR Grade : Mallinckrodt , U.S.A.)
- โซเดียมไฮครอตไฮดรัส ($NaOH$, AR Grade : Eka , Sweden)
- กรดไนโตริก 65% (HNO_3 , AR Grade : Merck , Germany)
- ทองแดงซัลเฟต ($CuSO_4 \cdot 5H_2O$, AR Grade : Carlo Erba , Farmitalia)
- เงินไนเตรท ($AgNO_3$, AR Grade : Carlo Erba , Farmitalia)
- สารประกอบซิลิโคนฮีตซิงก์ (Silicone Heat Sink Compound : Unick , Taiwan)

2.1.2 สารเคมีที่ใช้ในเทคนิคโพลาริเมตทริก

- ตะกั่วอะซิเตท ($(CH_3COO)_2Pb \cdot 3H_2O$, AR Grade : Baker Analyzed , U.S.A.)
- โพแทสเซียมออกซาเลด ($(COOK)_2H_2O$, AR Grade : Carlo Erba , Farmitalia)

- 2.1.3 ชุดสารเคมีที่ใช้ในการทดสอบในเทคนิคสเปกโกรไฟฟ์อัตโนมัติก (Spectrophotometric) (No. 510-DA , AR Grade : Sigma , U.S.A.) ประกอบด้วย**
- แบบเรียมไไซดรอกไซด์ ($Ba(OH_2)$)
 - สังกะสีซัลเฟต ($Zn(SO_4)$)
 - ออโซ-ไดอะนิสิตีน ไดไฮดรอคลอไรด์ (o -Dianisidine dihydrochloride , $C_{14}H_{16}N_2O_2 \cdot 2HCl$)
 - เอนไซม์เพอร์ออกซิเดตและกลูโคสออกซิเจส (Peroxidase-Glucose Oxidase Enzymes)

2.2 เครื่องมือและอุปกรณ์

- 2.2.1 อุปกรณ์ในการวิเคราะห์ด้วยระบบแบบอินเจกชันออนไอลิซิส**
- ชุดอุปกรณ์เทอร์มิสเตอร์ ประกอบด้วย เทอร์มิสเตอร์ตรวจวัด (Sensing thermistor) และ เทอร์มิสเตอร์อ้างอิง (Reference thermistor) โดยเทอร์มิสเตอร์ทั้งสองนี้จะต่อเข้ากับชุดวงจรเวตส์โตนบริก์และอุปกรณ์ขยายสัญญาณ (Department of Pure and Applied Biochemistry , University of Lund , Sweden)
 - เครื่องคนสารละลาย (Magnetic stirrer , Framo-Geratetechnik M 21/1 , Germany)
 - แท่งคนสารละลาย (Stirring bar)
 - ปลอกเทอร์มิสเตอร์ ทำจากพีวีซี (PVC) สำหรับสวมเทอร์มิสเตอร์เพื่อป้องกันการสูญเสียความร้อน
 - เครื่องบันทึกผล (Chart recorder , Single channel , Linear Instrument Company , U.S.A.)

2.2.2 อุปกรณ์ฉีดสารตัวอย่าง

- ไนโตรบีเพ็ตแบบดิจิตอล (Digitalmicropipette , Model 5000 volume 10 - 50 μl NICHIRYO , Japan)
- ไนโตรบีเพ็ตที่มีระบบฉีดอัตโนมัติ (Eppendorf micro pipette EDOS 5221 , Germany)

2.2.3 อุปกรณ์ทดสอบหาปริมาณซูโคโรสโดยใช้เทคนิคอื่น

- เครื่องหมุนแหีเยง (General Laboratory Centrifuge GLC-2 , U.S.A.)
- เครื่องโพลาริมิเตอร์ (Polarimeter POLAX-D , ATAGO , Japan)
- เครื่องสเปกโตรโฟโตมิเตอร์ (Spectrophotometer SPECTRUM 351 , U.S.A.)

2.2.4 อุปกรณ์อื่นๆ

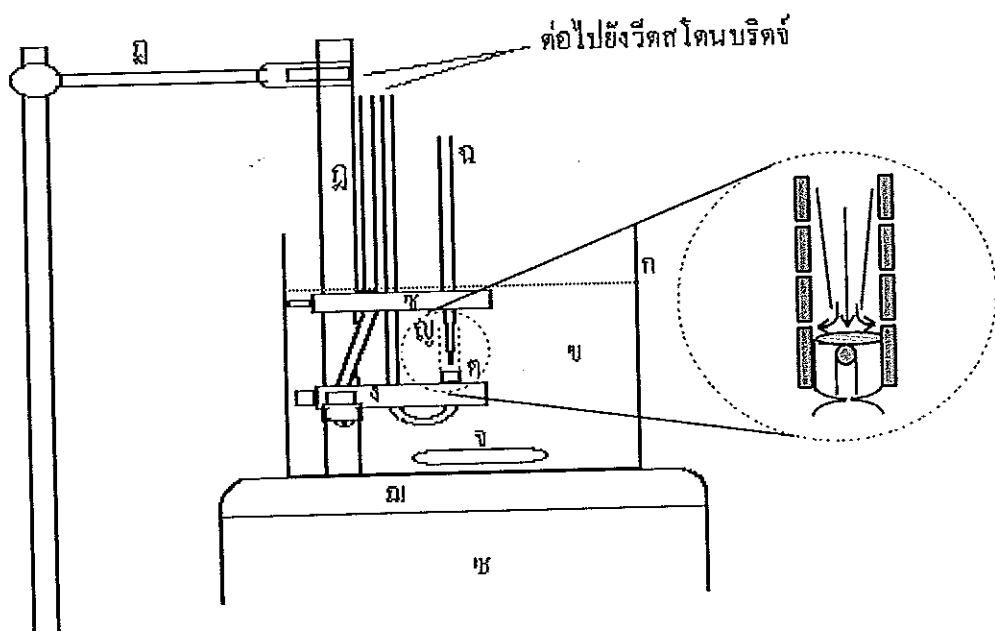
- เครื่องตรวจวัดความเป็นกรด - ベース (pH meter , Model 220 Corning , England)
- เครื่องแก้ว (ไพรекс (Pyrex))

2.3 ระบบการทดลองและการวิเคราะห์ผล

2.3.1 ระบบแบบชั้นตอนนาโนไซซ์ (BIA)

ระบบแบบชั้นตอนนาโนไซซ์เรียกย่อว่า BIA ที่ใช้ในการหาปริมาณซูโคโรส (ภาพประกอบ 2) ประกอบด้วยบีกเกอร์ขนาดปริมาตร 2 ลิตร (ก) บรรจุสารละลาย (ข) ในสารละลายจะมีเทอร์มิสเทอร์สองตัว (ค และ ง) โดยเทอร์มิสเทอร์ตัวหนึ่งจะตรวจวัดความร้อนที่เกิดขึ้น (ก) และอีกตัวหนึ่งจะใช้เป็นเทอร์มิสเทอร์อ้างอิง (ง) สารละลายในบีกเกอร์มีปริมาตรประมาณ 1 ลิตร สารละลายที่มีปริมาตรมากนี้จะทำหน้าที่ในการควบคุมอุณหภูมิของระบบให้มีค่าคงที่ สารละลายนี้จะถูกคนอยู่ตลอดเวลาด้วยแท่งคนสารละลาย (magnetic stirring bar) (จ) เพื่อช่วยในการถ่ายสารละลายที่ถูกคลึงไปบนเทอร์มิสเทอร์รวมทั้งผลิตภัณฑ์ที่เกิดขึ้นจากปฏิกิริยา นอกจากนี้ยังช่วยในการกระจายความร้อนที่เกิดขึ้นจากปฏิกิริยาบริเวณหัวดูดไปยังสารละลายหลังจากที่มีการตรวจวัดแล้ว ทำให้ระบบวิเคราะห์เข้าสู่สภาพเดิมอย่างรวดเร็ว ปลายปีเปต (ค) ที่ใช้ในการฉีดสารตัวอย่างจะถูกสอดอยู่ในช่องที่จะใส่ไว้เฉพาะในแผ่นพลาสติก (ช) ขนาดกว้าง 1.80 เซนติเมตร ยาว 4.80 เซนติเมตร และหนา 0.80 เซนติเมตร แผ่นพลาสติกนี้สามารถเลื่อนขึ้นลงได้เพื่อกำหนดตำแหน่งของปลายปีเปต เนื่องจากปริมาตรที่ใช้ในการฉีดสารตัวอย่างในระบบการวิเคราะห์นี้จะอยู่ในระดับไมโครลิตร ในขณะที่สารละลายในบีกเกอร์มีปริมาตรเป็นลิตร ดังนั้นสารตัวอย่างที่ถูกคลึงไปบนเทอร์มิสเทอร์ตรวจวัดจะถูกเจือจางอย่างรวดเร็วโดยสารละลายในบีกเกอร์ บีกเกอร์ที่บรรจุสารละลายนี้จะวางบนเครื่องคนสารละลาย (magnetic stirrer) (ช) โดยที่มีโหนโพลีสไตรีน (polystyrene form) (ဓ) หนา 5.0 เซนติเมตร วางระหว่างบีกเกอร์กับเครื่องคนสารละลายเพื่อทำหน้าที่เป็นสนวนป้องกันไม่ให้ความร้อนที่เกิดจากเครื่องคนสารละลายผ่านเข้าไปในระบบที่ใช้ในการวิเคราะห์

เทอร์มิสเตอร์ตรวจวัดและเทอร์มิสเตอร์อ้างอิงที่จากเทอร์มิสเตอร์ที่เหมือนกันสองตัว ดังภาพประกอบ 3 หัวของเทอร์มิสเตอร์จะซีดอยู่ในท่อพลาสติกขนาดเส้นผ่าศูนย์กลางภายนอก 4.5 มิลลิเมตร โดยการอึพอกซี ขาทึ้งสองข้างจะต่อ กับสายไฟและสอดผ่านท่อพลาสติก ซึ่งมีความยาว 25.0 เซนติเมตร เส้นผ่าศูนย์กลางภายนอก 3.0 มิลลิเมตร เพื่อไปต่อ กับวงจรวีตส์โทอบริดจ์ และเครื่องขยายสัญญาณ บนเทอร์มิสเตอร์ทั้งสองจะมีแผ่นแมมนเบรน (Membrane) (พลาสติกบางๆ) ทุ่มอยู่ เพื่อกันไม่ให้น้ำซึมเข้าไป ระหว่างแผ่นแมมนเบรนกับหัวเทอร์มิสเตอร์เชื่อมต่อ กันด้วยชิลิโคน ชีตซิงค์ ซึ่งจะนำความร้อนจากภายนอกเมนมเบรนมาสัมภ์เทอร์มิสเตอร์ บนแผ่นแมมนเบรนของเทอร์มิสเตอร์ตรวจวัดจะตรงกับไนซ์อินเวอร์เทสไว (คุรายะละเอียดการตรึงเอนไนซ์ หน้า 31) เมื่อฉีดสารละลายซึ่ก็อสไปบนเทอร์มิสเตอร์นี้ เอ็นไซม์อินเวอร์เทสจะเร่งปฏิกิริยาไฮโดรไลซิสของซึ่ก็อส ทำให้เกิดความร้อนซึ่งสามารถตรวจวัดได้ และเพื่อป้องกันไม่ให้ความร้อนที่เกิดขึ้นเกิดการสูญเสีย รวดเร็วเกินไป เทอร์มิสตอร์ตรวจวัด จะมีปลอกเทอร์มิสเตอร์ (ภาพประกอบ 2 บู) ซึ่งทำจากพีวีซี สวมอยู่ โดยปลอกนี้จะมีขนาดเส้นผ่าศูนย์กลางภายนอก 4.5 มิลลิเมตร เส้นผ่าศูนย์กลางภายนอก 5.0 มิลลิเมตร และจะเจาะรูขนาดเส้นผ่าศูนย์กลาง 2.0 มิลลิเมตร 3 ระดับ ระดับละ 2 รูตรงข้ามกัน และให้มีระยะห่างระหว่างแต่ละระดับนั้นเท่าๆ กัน ดังภาพประกอบ 4 รูของปลอกเทอร์มิสเตอร์นี้ จะเป็นทางที่ความร้อนและผลผลิตที่เกิดจากปฏิกิริยาแพร่ไปยังส่วนอื่นของสารละลาย ระบบการทดลองนี้ไม่จำเป็นต้องใช้กันเอนไนซ์เสนอไป อาจจะใช้กับปฏิกิริยาอื่นๆ ได้หากปฏิกิริยานั้นๆ เป็นปฏิกิริยาที่ทำให้เกิดการเปลี่ยนแปลงความร้อน เช่น ปฏิกิริยากรด-เบส ปฏิกิริยาเรด็อกซ์ (redox reaction) (Wang and Taha , 1991c)



ภาพประกอบ 2 ชุดอุปกรณ์ที่ใช้ในระบบ BIA

ก : นีกเกอร์ปริมาตรขนาด 2 ลิตร

ข : สารละลายน้ำมีปริมาณ 1 ลิตร

ค : เทอร์มิสเทอร์ตรวจวัด

ง : เทอร์มิสเทอร์อ้างอิง

จ : แท่งคนสารละลายน้ำ

ฉ : ไมโครปีปีท์ที่ใช้ในการฉีดสาร

ช : แผ่นพลาสติก

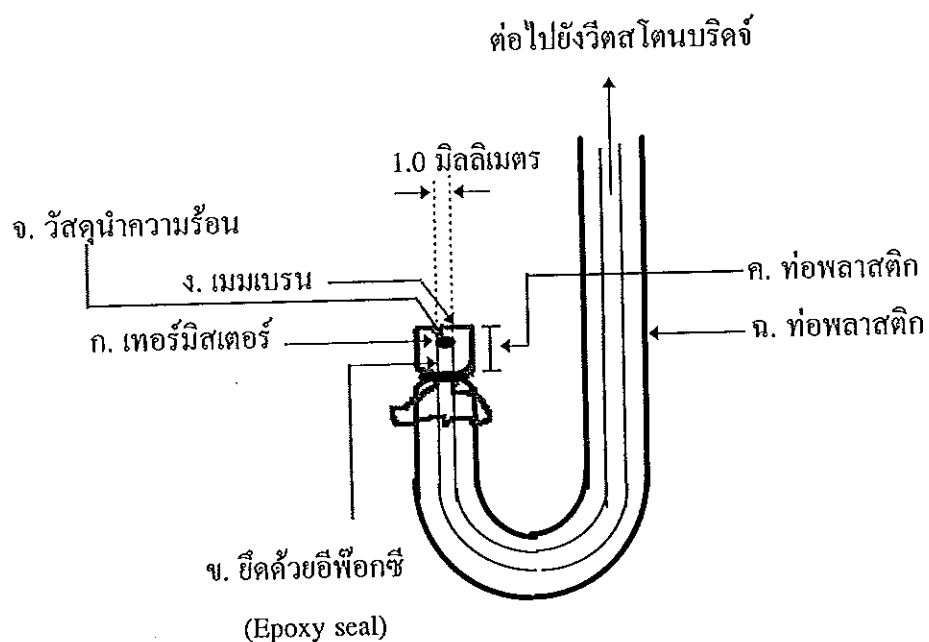
ฉ' : เครื่องคนสารละลายน้ำ

ฉ'': โพลีโพลีสైටెర్

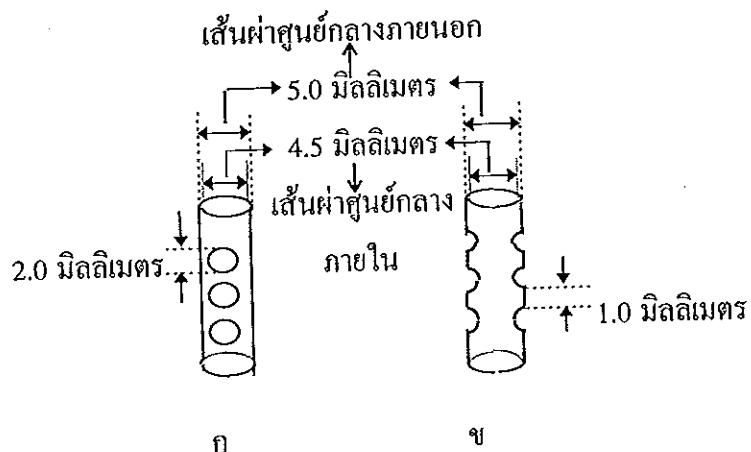
ฉ'': ปลอกเทอร์มิสเทอร์

ฉ'': แกนโลหะ

ฉ'': ตัวจับแกนโลหะ



ภาพประกอบ 3 ลักษณะของเทอร์มิสเตอร์ (Thermistor) ที่ใช้ในงานวิจัย
 เทอร์มิสเตอร์ (ก) ยีดคั่วยอีพ็อกซี่ (ช) อยู่ในท่อพลาสติก (ค) มีแผ่น
 เมมเบรน (จ) ปิดทับเทอร์มิสเตอร์และยีดคั่วย O-ring เพื่อป้องกันไม่ให้น้ำผ่านเข้าไปในส่วนของ
 เทอร์มิสเตอร์ ระหว่างแผ่นเมมเบรนและเทอร์มิสเตอร์จะมีชิลิโคนธีคซิงค์ (จ) อยู่ ซึ่งช่วยในการนำ
 ความร้อนภายนอกเมมเบรนมาเย็บเทอร์มิสเตอร์ ขาทึ้งสองข้างของเทอร์มิสเตอร์สอดผ่านห่อ
 พลาสติก (ค) เพื่อต่อ กับสายไฟที่จะไปปั้งวงจรวีตส์โตนบวิค'



ภาพประกอบ 4 ลักษณะของปลอกเทอร์มิสเตอร์ที่ใช้ป้องกันการสูญเสียความร้อน

จะเจาะรูขนาดเส้นผ่าศูนย์กลาง 2.0 มิลลิเมตร 3 ระดับ ระดับละ 2 รูตรงข้าม กัน และให้มีระยะห่างระหว่างแต่ละระดับนี้เท่าๆ กัน 1.0 มิลลิเมตร

ก : ด้านหน้าของรูของปลอกเทอร์มิสเตอร์

ข : ด้านข้างของรูของปลอกเทอร์มิสเตอร์

2.3.2 หลักการวัดโดยใช้เทอร์มิสเตอร์

เทอร์มิสเตอร์ทำจากส่วนผสมของโลหะออกไซด์ เช่น โคบอลท์ ทองแดง แมงกานีส นิกเกิล เหล็ก และยูรเนียมรวมกันแล้วเผาจนเป็นเซรามิก รูปร่างของเทอร์มิสเตอร์มีได้หลายแบบ เช่น แผ่นกลมแบบ (Disk) หลอดกลม (Tube) หรือเม็ดเล็กๆ (Bead) (Jesperson , 1990) เทอร์มิสเตอร์ที่ใช้กันมากคือแบบเม็ดเล็กๆ เทอร์มิสเตอร์เป็นสารกึ่งตัวนำที่ความต้านทานจะลดลงเมื่ออุณหภูมิเพิ่มขึ้น

เนื่องจากความต้านทานของเทอร์มิสเตอร์มีสมบัติที่เปลี่ยนแปลงตามอุณหภูมิ ดังนั้นจึงนำเทอร์มิสเตอร์มาใช้เป็นอุปกรณ์ตรวจวัดการเปลี่ยนแปลงอุณหภูมิ (ความร้อน) ของปฏิกริยาที่เกิดขึ้นได้ โดยการต่อเทอร์มิสเตอร์กับวงจรวีตสโตนบริดจ์ (Wheat-stone bridge) ดังแสดงในภาพประกอบ 5

หลักการวัดความต้านทานโดยวงจรวีตสโตนบริดจ์ พิจารณาจากภาพประกอบที่ 5 ได้ดังนี้

$$V_1 = \frac{E_b R_1}{R_1 + R_2} \quad \dots \dots (1)$$

$$V_2 = \frac{E_b R_T}{R_3 + R_T} \quad \dots \dots (2)$$

$$\text{แต่ } E_{vn} = V_1 - V_2 \quad \dots \dots (3)$$

$$E_{vn} = E_b \left[\frac{\frac{R_1}{R_1 + R_2} - \frac{R_T}{R_3 + R_T}}{\frac{R_1}{R_1 + R_2} + \frac{R_T}{R_3 + R_T}} \right] \quad \dots \dots (4)$$

โดยที่ E_b = ศักย์ไฟฟ้าที่ให้แก่วงจร

E_{vn} = ศักย์ไฟฟ้าที่วัดได้เมื่อวงจรบริดจ์ไม่สมดุล

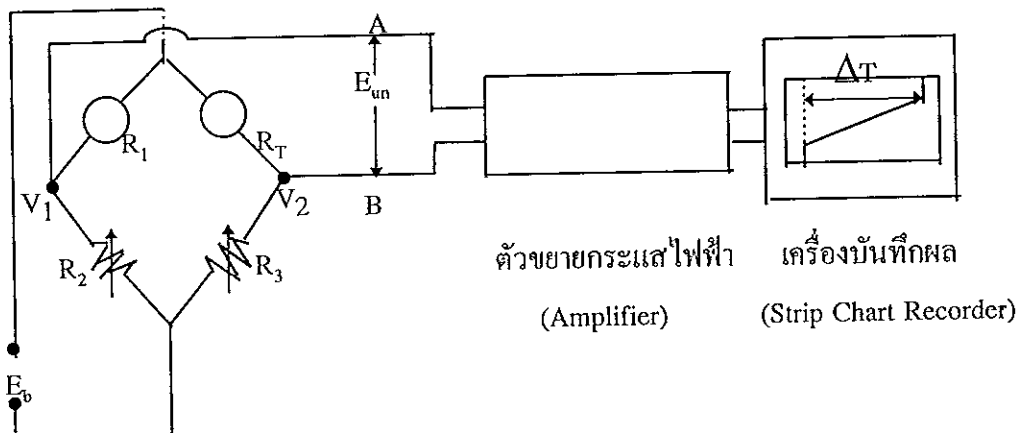
R_T = ค่าความต้านทานของเทอร์มิสเตอร์ตรวจวัด

R_1 = ค่าความต้านทานของเทอร์มิสเตอร์อ้างอิง

V_1 = ศักย์ไฟฟ้าที่จุด A

V_2 = ศักย์ไฟฟ้าที่จุด B

R_2 และ R_3 = ค่าความต้านทานที่ปรับค่าได้เพื่อให้บริดจ์สมดุล



ภาพประกอบ 5 ระบบการวัดการเปลี่ยนแปลงอุณหภูมิโดยใช้เทอร์มิสแตอร์ประกอบในวงจร
วีตส์โคนบริดจ์ (Jespersen , 1990) โดยที่

E_b คือ ศักย์ไฟฟ้าที่ให้แก่วงจร (Applied potential to the bridge)

E_{un} คือ ศักย์ไฟฟ้าที่วัดได้เมื่อวงจรบริดจ์ไม่สมดุล (Unbalance potential)

R_T คือ ค่าความต้านทานของเทอร์มิสแตอร์ตรวจวัด

R_1 คือ ค่าความต้านทานของเทอร์มิสแตอร์อ้างอิง

R_2 และ R_3 คือ ค่าความต้านทานที่ปรับค่าได้เพื่อให้เกิดวงจรบริดจ์สมดุล

V_1 คือ ศักย์ไฟฟ้าที่จุด A

V_2 คือ ศักย์ไฟฟ้าที่จุด B

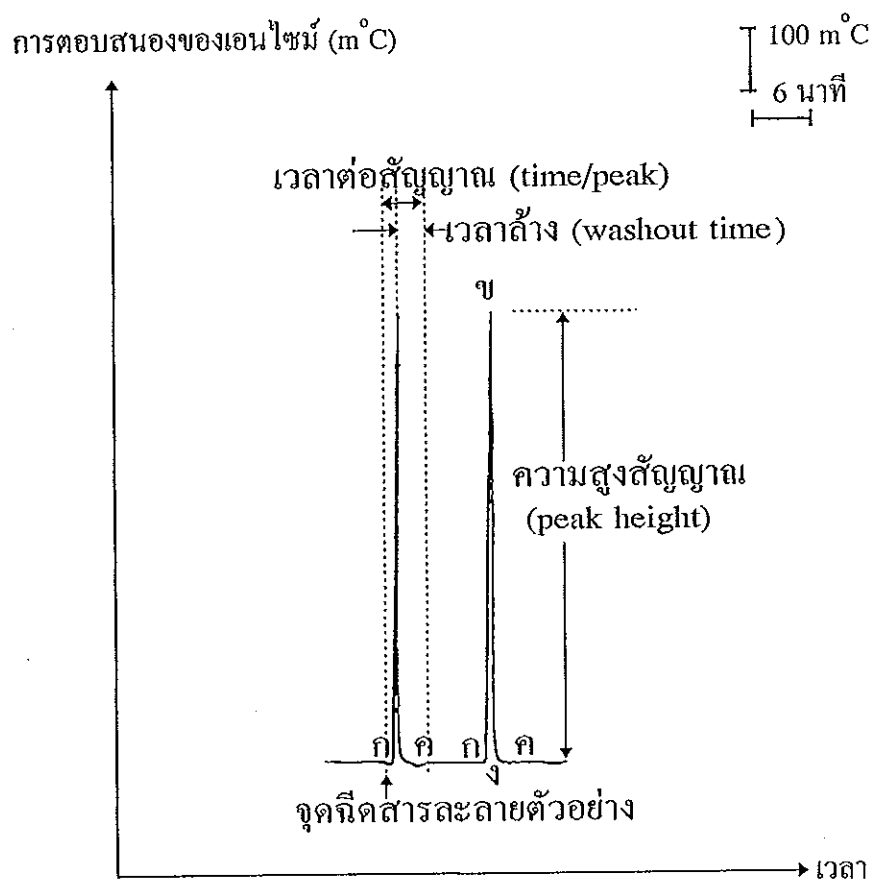
เมื่อปรับ R_2 หรือ R_3 จน $V_1 = V_2$ จะได้ว่า $E_{un} = 0$ เรียกว่า วงจรวีตสโตร์บิจท์อยู่ในสมดุล (balanced bridge) ซึ่งจะเกิดขึ้นก็ต่อเมื่อ R_1/R_2 เท่ากับ R_T/R_3 และที่ส่วนไหนที่ทราบค่าความต้านทาน R_1 , R_2 และ R_3 ก็จะสามารถหาความต้านทาน R_T ได้

ในทางปฏิบัติเป็นการยากที่จะทำให้วงจรในระบบการทดลองอยู่ในสภาพบริจส์สมดุลตลอดเวลาที่มีการเปลี่ยนแปลงอุณหภูมิ ดังนั้นจึงมักจะวัดความแตกต่างของศักย์ไฟฟ้าระหว่าง V_1 และ V_2 ในขณะที่วงจรบริจท์ไม่สมดุลแทน นั่นคือวัด E_{un} และ E_{vn} ที่วัดได้ จะประพันเป็นสัดส่วนกับผลต่างของอุณหภูมิระหว่างเทอร์มิสเตอร์ทั้งสอง (R_T และ R_1) (Jesperson, 1990) ดังสมการ 4

ในงานวิจัยนี้เทอร์มิสเตอร์ที่ใช้เป็นเทอร์มิสเตอร์แบบเม็ด (bead thermistor) ชนิด 51A72 ของ VECO (Victory Engineering Corporation, Springfield, NJ, USA.) มีความต้านทาน 100 กิโลโอห์ม (KO) ที่ 25 องศาเซลเซียส และสัมประสิทธิ์การเปลี่ยนแปลงความต้านทาน เป็น -4.6% ต่อหนึ่งองศาเซลเซียส ชุดของสายสัญญาณที่ใช้สามารถปรับความไว (sensitivity) ในการวัดได้ ซึ่งที่ความไวสูงสุด 10 หมายถึง เมื่อเกิดการเปลี่ยนแปลงอุณหภูมิ 10 มิลลิองศาเซลเซียส ($m^{\circ}\text{C}$) จะให้ค่าความต่างศักย์ไฟฟ้า 100 มิลลิโวลต์ ที่ความไว 100 และ 1000 หมายถึง ค่าความต่างศักย์ 100 มิลลิโวลต์ จะให้ค่าการเปลี่ยนแปลงอุณหภูมิเพียงเท่ากับ 100 และ 1000 มิลลิองศาเซลเซียสตามลำดับ โดยการทดลองในปฏิกริยากรด-鹼จะใช้ความไว 1000 และ 100 ส่วนปฏิกริยาไฮโดรไลซิสของซูโคโรสจะใช้ความไว 10 และการเปลี่ยนแปลงที่เกิดขึ้นจะถูกบันทึกบนเครื่องบันทึกผล

เมื่อเริ่มการทดลองจะนำเทอร์มิสเตอร์ทั้งสองชิ้นลงไปในสารละลายในบีกเกอร์และปรับความต้านทาน R_2 หรือ R_3 จนกระทั่งวงจรบริจท์อยู่ในสมดุล นั่นคือ E_{un} เป็นศูนย์ หากยังไม่มีการนัดสารละลายตัวอย่างลงบนเทอร์มิสเตอร์ตรวจวัดก็จะไม่มีการเปลี่ยนแปลงอุณหภูมิเกิดขึ้น สัญญาณที่ได้มีลักษณะเป็นเส้นเรียบซึ่งจะเป็นระดับอ้างอิงของสัญญาณหรือเบสไลน์ (baseline) ใน การวิเคราะห์จะใช้ปีเพลคูดสารละลายตัวอย่างและนำไปเปลี่ยนมาใช้ในสารละลายในบีกเกอร์ระยะเวลาหนึ่งเพื่อปรับอุณหภูมิระหว่างสารละลายตัวอย่างในปีเพลคูดให้เท่ากับสารละลายในบีกเกอร์ หลังจากนั้นจึงนัดสารละลายตัวอย่างลงไปบนเทอร์มิสเตอร์ สารละลายตัวอย่างนี้จะทำปฏิกริยากับสารละลายในบีกเกอร์หรือสารที่ตรงไปกับเทอร์มิสเตอร์ตรวจวัดทำให้เกิดความร้อน ซึ่งทำให้เกิดการเพิ่มขึ้นของอุณหภูมิที่สามารถตรวจวัดได้ในรูปของการเพิ่มขึ้นของความต่างศักย์ไฟฟ้าเนื่องจากวงจรบริจท์ไม่สมดุล (E_{vn}) ในขณะที่เกิดการเปลี่ยนแปลงนี้สารละลายในบีกเกอร์ยังมีการคนอยู่ตลอดเวลา ดังนั้นสารละลายตัวอย่างและผลิตภัณฑ์ที่เกิดขึ้นจากปฏิกริยารวมทั้งความร้อนที่เกิดขึ้นก็จะแพร่ออกไปจากบริเวณเทอร์มิสเตอร์ตรวจวัด ทำให้สัญญาณการตอบสนองมีค่าลดลงจนกลับเข้าสู่สภาพเดิม (ภาพประกอบ 6) พร้อมที่จะทำการวิเคราะห์ครั้งต่อไป ช่วงเวลาของการเกิดปฏิกริยาที่

จะกล่าวถึงต่อๆ ไปเบ่งเป็นดังนี้ เวลาที่แต่เริ่มพิสดารตัวอย่างจนถึงจุดที่เริ่มให้สัญญาณการตอบสนองเรียกว่า เวลาตอบสนอง (response time) (เวลาช่วงนี้สั้นมากจึงไม่ได้แสดงไว้ในภาพประกอบ 6) เวลาที่ใช้ตั้งแต่เริ่มตอบสนองจนสัญญาณกลับเข้าสู่สภาพเดิม (ก-ก) คือ เวลาต่อสัญญาณ (time/peak) และเวลาที่ใช้ในการล้างสารต่างๆ ออกจากหัววัดจนสัญญาณกลับคืนสู่สภาพเดิม (ข-ค) เรียกว่า เวลาล้าง (washout time) ในการวิเคราะห์สารตัวอย่างจะทำการพิสดารตัวอย่างละห้าครั้ง และวัดความสูงของสัญญาณ (peak height) (ข-ง) ที่เกิดจากการเพิ่มขึ้นของอุณหภูมิในปฏิกิริยาทั้งห้าครั้งและนำมาหาค่าเฉลี่ย โดยที่ความสูงของสัญญาณจะเป็นสัดส่วนกับความเพิ่มขึ้นของสารละลายตัวอย่าง



ภาพประกอบ 6 ตัวอย่างสัญญาณจากเทคนิค BIA ที่วัดการเปลี่ยนแปลงอุณหภูมิของปฎิกิริยาครบทั้งหมด โดยที่ความเข้มข้นกรดในคริก 0.50 โมลาร์ และโซเดียมไฮดรอกไซด์ 1.00 โมลาร์

ก : จุดนีดสารตัวอย่าง

ก-ก : เวลาที่ใช้ตั้งแต่เริ่มตอบสนองจนสัญญาณกลับเข้าสู่สภาพเดิม (time/peak)

ๆ-ก : เวลาที่ใช้ในการถีทาง (washout time)

ๆ-ๆ : ความสูงของสัญญาณการตอบสนอง (peak height)

2.3.3 การวิเคราะห์ผล

ในการวิเคราะห์ผลจากการทดลองเพื่อหาปัจจัยที่เหมาะสมสำหรับเทคนิค BIA กล่าว

คือ

- ความยาวของปลอกเทอร์มิสเตอร์
- ระยะห่างของรูของปลอกเทอร์มิสเตอร์จากเทอร์มิสเตอร์
- ผลของกลุ่ม cosine และฟรากโทส
- ผลของไอโอนของโลหะหนักทองแดงหรือเงิน
- ความแตกต่างของน้ำอ้อยที่มีการตกตะกอนและไม่มีการตกตะกอนสารแขวนลอย
- การเปรียบเทียบเทคนิค BIA กับเทคนิคโพลาริเมตริก และเทคนิคสเปกโทร โพโต เมตริก

จะทำโดยนำผลที่ได้จากลักษณะที่ต่างกันของปัจจัยข้างต้น เช่น ผลที่ได้มีอิทธิพลต่อความยาวของปลอกเทอร์มิสเตอร์ที่ต่างกันมาวิเคราะห์โดยวิธี ANOVA (Analysis of Variance) โดยใช้โปรแกรม iristat ในคอมพิวเตอร์ (Biometrics Unit , International Rice Research Institute , Manila , Philippines) เริ่มจากการนำค่าเฉลี่ยที่ได้จากการนิดสารละลายตัวอย่าง 5 ครั้ง ($n = 5$) ของลักษณะที่ต่างกันนี้มาวิเคราะห์ว่าเรียนซึ่นแนการทดลองแบบซื้อขายคี [completely randomized design (CRD)] ซึ่งเป็นแผนการทดลองแบบสุ่มคลอค ใช้สำหรับการทดลองที่มีปัญหาเพียงกลุ่มเดียว และให้ปัญหาอื่นคงที่ (ไพบูล เหล่าสุวรรณ , 2535) ตัวอย่างเช่น การเปรียบเทียบความยาวของปลอกเทอร์มิสเตอร์เพียงอย่างเดียว (จัดเป็นทรัคเมนต์ที่ทำการศึกษา) ส่วนปัจจัยอื่น เช่น ระยะห่างของรูระดับแรกจากเทอร์มิสเตอร์ ระยะห่างของปลายปีเปลกับเทอร์มิสเตอร์ เวลาที่ทำให้เกิดสมดุลอุณหภูมิ ฯลฯ ใน การทดลองนี้ให้ใช้เหมือนกันสำหรับทุกความพยายามของปลอกเทอร์มิสเตอร์ จากนั้นคำนวณหาค่า F และนำไปเปรียบเทียบกับค่า F จากตารางที่ระดับความแตกต่าง 0.05 นั่นคือ มีระดับความแตกต่าง 5% หรือมีช่วงความเชื่อมั่น 95% ค่า F ที่คำนวณได้มากกว่า $F_{0.05}$ (จากตาราง) (ไพบูล เหล่าสุวรรณ , 2535) แสดงว่า ค่าเฉลี่ยมีความแตกต่างกันในทางสถิติหรือความแตกต่างมีนัยสำคัญ แต่ ถ้าค่า F ที่คำนวณได้น้อยกว่า $F_{0.05}$ (จากตาราง) แสดงว่า ความแตกต่างไม่มีนัยสำคัญ

2.4 การทดสอบที่เหมาะสมของปัจจัยพื้นฐานของระบบ BIA

ในระบบ BIA ที่ใช้เทอร์มิสเทอร์เป็นตัวตรวจวัดปัจจัยที่น่าจะมีผลต่อการวัดคือส่วนที่เกี่ยวข้องกับการเปลี่ยนแปลงและการแพร่กระจายของความร้อนได้แก่

- ขนาดความยาวของปลอกเทอร์มิสเทอร์ที่ใช้เพื่อป้องกันไม่ให้ความร้อนที่เกิดขึ้นมีการสูญเสียเร็วเกินไป อันเนื่องมาจากการแพร่กระจายไปยังสารละลายส่วนอื่นๆ
- ระยะห่างของรูของปลอกเทอร์มิสเทอร์จากผิวของเทอร์มิสเทอร์ เมื่อจากนี้จะช่วยในการแพร่กระจายของสารตัวอย่างและผลิตภัณฑ์ที่เกิดจากปฏิกิริยาออกจากผิวน้ำของเทอร์มิสเทอร์ ระยะห่างจะช่วยในการแพร่กระจายความร้อนที่เกิดขึ้นจากปฏิกิริยาไปยังสารละลายในบีกเกอร์หลังจากที่มีการตรวจวัดแล้ว

- เวลาที่สารละลายตัวอย่างต้องใช้ในการปรับอุณหภูมิให้เท่ากับของเหลวในระบบ การทดลองเพื่อหาสภาวะที่เหมาะสมของปัจจัยต่างๆเหล่านี้ศึกษาโดยใช้ปฏิกิริยากรด-เบส ระหว่างกรดไนโตริกกับโซเดียมไฮดรอกไซด์ เมื่อจากปฏิกิริยาจะเกิดไครวดเร็ว และให้ความร้อนสูง (Wang and Taha , 1991c) ผลที่ได้เห็นได้ชัดเจน การนឹดสารละลายใช้ในโครงปีเปตแบบดิจิตอล ชนิดที่ควบคุมการนឹดสารละลายตัวอย่างด้วยมือ

ระบบทดลองประกอบด้วยโซเดียมไฮดรอกไซด์ (NaOH) 1.00 มอลาร์ ปริมาตร 1 ลิตร เป็นสารละลายในบีกเกอร์ และไฮดรอกไซด์ (HNO_3) 0.50 มอลาร์ เป็นสารละลายตัวอย่าง ความเข้มข้นของกรด-เบสที่เลือกใช้นี้เป็นความเข้มข้นที่จะให้การตอบสนองอยู่ในช่วงความเป็นกรด-เบส (Wang and Taha , 1991c)

สภาวะที่ใช้ในการทดลอง 2.4.1 - 2.4.4 คือ

- ปริมาตรสารละลายตัวอย่าง	25	ในโครงลิตร
- อัตราเร็วในการคน	300	รอบต่อนาที
(ยกเว้นการทดลอง 2.4.4)		
- ปลายปีเปตห่างจากตัวตรวจวัด	2.0	มิลลิเมตร
- ระยะห่างของรูของปลอกเทอร์มิสเทอร์จากผิวเทอร์มิสเทอร์เป็นระยะ	2.0	มิลลิเมตร
(ยกเว้นการทดลอง 2.4.1)		
- ความไวในการวิเคราะห์ของเทอร์มิสเทอร์		
ค่าสักย์ไฟฟ้า 100 มิลลิโวลต์ จะให้ค่าการเปลี่ยนแปลงอุณหภูมิ = $1000 \text{ มิลลิองศาเซลเซียส}$		
(ยกเว้นการทดลอง 2.4.3 ค่าสักย์ไฟฟ้า 100 มิลลิโวลต์ จะให้ค่าการเปลี่ยนแปลงอุณหภูมิ = $100 \text{ มิลลิองศาเซลเซียส}$)		

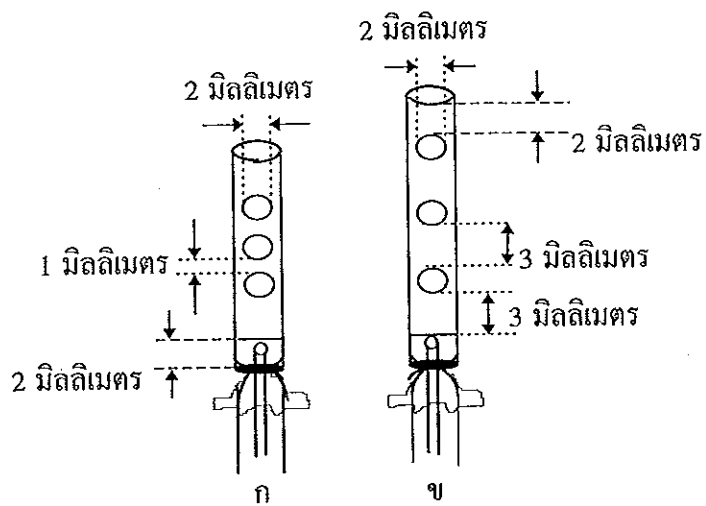
ในการทดลองจะใช้ปีเปตคุณสารตัวอย่าง 25 'ในโกรลิตร แล้วนำปลายปีเปตไปสอดลงในช่องของแผ่นพลาสติกที่ปรับตำแหน่งของปลายปีเปตให้ห่างจากเทอร์มิสเตอร์ตามที่กำหนด ให้เชื่อมต่อ ให้เชื่อมต่อผ่าน 30 วินาที (ยกเว้นการทดลอง 2.4.3) เพื่อปรับอุณหภูมิระหว่างสารตัวอย่างให้เท่ากันกับสารละลายที่อยู่ในบีบิเกอร์ จะเรียกว่าในช่วงนี้ว่า เวลาที่ทำให้เกิดสมดุลอุณหภูมิ (equilibrate time) หลังจากนั้นก็คัดสารตัวอย่างลงบนเทอร์มิสเตอร์ตรวจวัดและวัดสัญญาณที่เกิดขึ้น

2.4.1 ผลของความยาวของปลอกเทอร์มิสเตอร์

เนื่องจากการระบบการทดลองนี้ใช้การวัดปริมาณความร้อนที่เกิดขึ้นจากปฏิกิริยานิวเคลียร์ของเทอร์มิสเตอร์ในรูปของการเปลี่ยนแปลงอุณหภูมิ ดังนั้นจึงใช้ปลอกเทอร์มิสเตอร์ส่วนคลุมเทอร์มิสเตอร์ตรวจวัด (Wang and Taha , 1991c) เพื่อป้องกันไม่ให้ความร้อนที่เกิดขึ้นแพร่กระจายไปยังสารละลายส่วนอื่นๆ เริ่วเกินไป และสัญญาณการตอบสนองที่วัดได้จะมากหรือน้อยน่าจะขึ้นอยู่กับความยาวของปลอกเทอร์มิสเตอร์ด้วย ดังนั้นจึงทำการศึกษาเพื่อศูนย์ความยาวของปลอกเทอร์มิสเตอร์ มีผลต่อสัญญาณการตอบสนองอย่างไร

ปลอกเทอร์มิสเตอร์ที่ใช้มีขนาดเส้นผ่าศูนย์กลางภายใน 4.5 มิลลิเมตร และเส้นผ่าศูนย์กลางภายนอก 5.0 มิลลิเมตร เจาะรูขนาดเส้นผ่าศูนย์กลาง 2.0 มิลลิเมตร 3 ระดับ ระดับละ 2 รูตรงข้ามกัน และให้มีระยะห่างระหว่างแต่ละระดับนั้นเท่าๆ กัน ดังภาพประกอบ 7 แต่จะมีความยาวต่างกัน โดยปลอกเทอร์มิสเตอร์แบบสั้น มีระยะห่างระหว่างแต่ละระดับ 1.0 มิลลิเมตร ส่วนแบบยาวมีระยะห่างระหว่างแต่ละระดับ 3.0 มิลลิเมตร และให้ข้อมูลทางของรูระดับแรกอยู่สูงจากพิวของเทอร์มิสเตอร์เป็นระยะ 3.0 มิลลิเมตร ดังนั้นความยาวทั้งหมดของปลอกเทอร์มิสเตอร์แบบสั้นและแบบยาวเป็น 15.0 และ 19.0 มิลลิเมตร ตามลำดับ

ทำการทดลองโดยกีดสารละลายกรดในตริก 0.50 โมลาร์ ลงบนพิวของเทอร์มิสเตอร์ที่อยู่ในสารละลายโซเดียมไฮดรอกไซด์ 1.00 โมลาร์ โดยทำการศึกษากับปลอกเทอร์มิสเตอร์แบบสั้นก่อนแล้วจึงศึกษากับปลอกเทอร์มิสเตอร์แบบยาว



ภาพประกอบ 7 ลักษณะของปีกอกเทอร์มิสเตอร์

ก : แบบสั้น 15 มิลลิเมตร

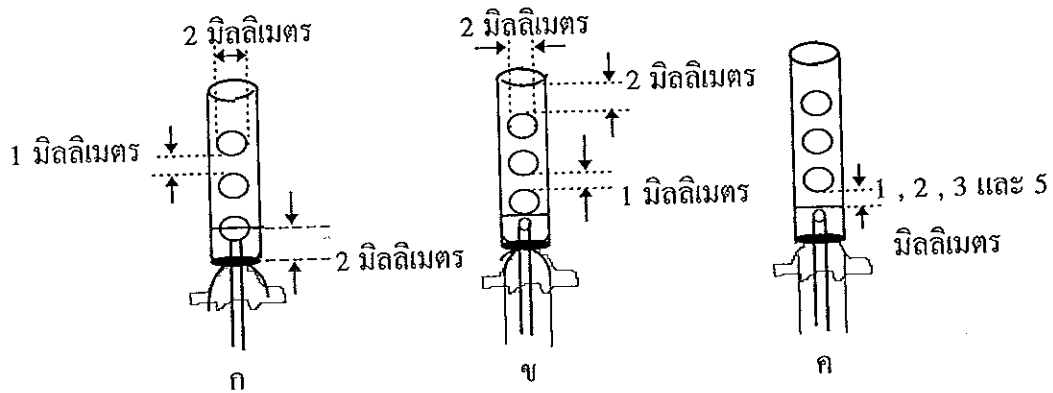
ข : แบบยาว 19 มิลลิเมตร

2.4.2 ผลของระยะห่างของรูของปลอกเทอร์มิสเตอร์จากเทอร์มิสเตอร์

ในระบบการทดสอบนี้ ปลอกเทอร์มิสเตอร์จะมีรูเจาะไว้เพื่อช่วยในการเผยแพร่กระจายของสารตัวอย่างและผลิตภัณฑ์ที่เกิดจากปฏิกิริยาของการผิวหน้าของเทอร์มิสเตอร์เพื่อให้ระบบเข้าสู่สภาพเดิมพร้อมที่จะใช้วิเคราะห์ในครั้งต่อไป ดังนั้นระยะห่างของรูของปลอกเทอร์มิสเตอร์ จากเทอร์มิสเตอร์น่าจะมีผลต่อสัญญาณที่ได้

จากการทดสอบเบื้องต้น (2.4.1) พบว่า ปลอกเทอร์มิสเตอร์แบบสั้นจะให้สัญญาณการตอบสนองก่อนข้างสูง ถึงแม้ว่าจะให้สัญญาณการตอบสนองต่ำกว่าปลอกเทอร์มิสเตอร์แบบยาวประมาณ 2 ใน 3 แต่สัญญาณจะใช้เวลาเข้าสู่เมสโตรน้อยกว่า ทำให้สามารถทำการวิเคราะห์ได้รวดเร็ว ดังนั้นจึงใช้ปลอกเทอร์มิสเตอร์แบบสั้นในการทดสอบโดยพิจารณา率ระดับแรกของปลอกเทอร์มิสเตอร์ให้อยู่สูงจากเทอร์มิสเตอร์เป็นระยะที่ต่างๆ กัน 6 ระยะ (ภาพประกอบ 8) คือ เส้นผ่าศูนย์กลางของรูระดับแรกอยู่ในระดับเคียวกันกับผิวของเทอร์มิสเตอร์ และขอบล่างของรูระดับแรกสูงจากผิวของเทอร์มิสเตอร์ เป็นระยะ 0.0 , 1.0 , 2.0 , 3.0 และ 5.0 มิลลิเมตร ความยาวของปลอกเทอร์มิสเตอร์ต่างๆ ข้างต้นจะเป็น 11.0 , 12.0 , 13.0 , 14.0 , 15.0 และ 17.0 มิลลิเมตร ตามลำดับ

ทดสอบโดยนឹងสารละลายกรดไนตริก 0.50 โนลาร์ 25 ไมโครลิตร ลงบนเทอร์มิสเตอร์ที่อยู่ในสารละลายโซเดียมไฮดรอกไซด์ 1.00 โนลาร์ โดยทำการศึกษาที่ระยะเส้นผ่าศูนย์กลางของรูระดับแรกอยู่ในระดับเคียวกันกับผิวของเทอร์มิสเตอร์ก่อน แล้วจึงศึกษาที่ขอบล่างของรูระดับแรกสูงจากผิวของเทอร์มิสเตอร์เป็นระยะ 0.0 , 1.0 , 2.0 , 3.0 และ 5.0 มิลลิเมตร ตามลำดับ



ภาพประกอบ 8 ลักษณะของปลอกเทอร์มิสเตอร์ที่รูระดับแรกของปลอกเทอร์มิสเตอร์อยู่สูงจากเทอร์มิสเตอร์ต่างๆ กัน

ก : เส้นผ่าศูนย์กลางของรูระดับแรกอยู่ในระดับเดียวกันกับเทอร์มิสเตอร์

ข และ ค : ขอบล่างของรูระดับแรกสูงจากผิวของเทอร์มิสเตอร์เป็นระยะ 0.0 , 1.0 , 2.0 , 3.0 และ 5.0 มิลลิเมตร ตามลำดับ

2.4.3 ผลของเวลาที่ทำให้เกิดสมดุลอุณหภูมิระหว่างสารละลายตัวอย่างในปีเพตกับสาร

ละลายในนีกเกอร์

ระบบการทดลองนี้ใช้เทอร์มิสเตอร์เป็นตัวตรวจวัดการเปลี่ยนแปลงของอุณหภูมิซึ่งเกิดจากปฏิกิริยา ดังนั้นสารละลายตัวอย่างที่ใช้ควรจะมีการปรับอุณหภูมิให้เท่ากับสารละลายในนีกเกอร์ก่อนที่จะฉีดลงบนเทอร์มิสเตอร์เมื่อนั้นผลการวัดที่ได้จะผิดพลาดไป การปรับอุณหภูมนี้ทำโดยใช้ปีเพตดูดสารละลายในปริมาตรที่ต้องการแล้วสอดปลายปีเพตลงในช่องของแผ่นพลาสติก โดยให้ปลายปีเพตแขวนสารละลายในนีกเกอร์เป็นระยะเวลาหนึ่ง เพื่อให้สารละลายตัวอย่างในปีเพตมีการปรับอุณหภูมิจนเท่ากับอุณหภูมิของสารละลายในนีกเกอร์แล้วจึงฉีดสารตัวอย่าง เวลาที่คือเวลาเกิดสมดุลอุณหภูมิ ศึกษาโดยให้สารละลายตัวอย่างและสารละลายในนีกเกอร์เป็นสารละลายชนิดเดียวกัน นั่นคือโซเดียมไฮดรอกไซด์ 1.00 โมลาร์ และแขวนปลายปีเพตในนีกเกอร์เป็นเวลาต่างๆ กัน คือ 0 , 10 , 20 , 30 , 40 และ 60 วินาที ก่อนที่จะฉีดสารละลายลงบนเทอร์มิสเตอร์ เนื่องจากสารละลายทั้งสองเป็นสารละลายชนิดเดียวกันจะไม่มีการเปลี่ยนแปลงของอุณหภูมิอันเนื่องมาจากการปฏิกิริยานั้น ถ้าหากมีการเปลี่ยนแปลงของอุณหภูมิแสดงว่า อุณหภูมิของสารละลายตัวอย่างกับสารละลายในนีกเกอร์ต่างกัน เวลาที่น้อยที่สุดที่ใช้ในการแขวนปีเพตที่ทำให้ไม่มีสัญญาณเกิดขึ้นคือ เวลาที่ทำให้เกิดสมดุลอุณหภูมิ

2.4.4 ผลของการคนสารละลาย

การคนสารละลายในระบบ BIA ก็เพื่อล้างสารตัวอย่างที่เหลืออยู่และผลิตภัณฑ์ที่เกิดขึ้นจากปฏิกิริยาออกจากพอร์ตของเทอร์มิสเตอร์และช่วยกระจายความร้อนที่เกิดขึ้นจากปฏิกิริยาไปยังสารละลายในนีกเกอร์หลังจากที่มีการตรวจแล้ว เป็นการทำให้ระบบพร้อมสำหรับการวิเคราะห์ครั้งต่อไป ดังนั้นอัตราเร็วในการคนสารละลายควรจะมีผลต่อสัญญาณที่เกิดขึ้น จึงทำการทดสอบโดยฉีดสารละลายกรดไนตริก 0.50 โมลาร์ 25 ใบโกรลิตร์ ลงบนเทอร์มิสเตอร์ที่จุ่มอยู่ในสารละลายโซเดียมไฮดรอกไซด์ 1.00 โมลาร์ ที่อัตราเร็วในการคนสารละลาย 100 , 300 และ 400 รอบต่อนาที

2.5 การหาสภาวะที่เหมาะสมในการวิเคราะห์ซูโครส

ที่ผ่านมาเป็นการทดลองเพื่อหาสภาวะที่เหมาะสมของปัจจัยต่างๆ ในเทคนิค BIA แต่จุดประสงค์ในงานวิจัยนี้ต้องการนำเทคนิค BIA มาใช้ในการวิเคราะห์หาปริมาณซูโครสโดยใช้อ่อนโซนเวอร์เทสทึ่งบนเทอร์มิสเตอร์ตรวจวัด เนื่องจากอ่อนโซนเวอร์เทสเป็นตัวเร่งปฏิกิริยา โซโคโรไลซิสของซูโครส ในกรณีนี้จะใช้สารละลายอะซิเตทบัฟเฟอร์ (acetate buffer) 0.01 โมลาร์ pH 4.77 (Hestrin , Feingold and Schramm , 1955) ปริมาตรประมาณ 1 ลิตร เป็นสารละลายที่อยู่

ในบีกเกอร์ และใช้สารละลายน้ำมุกโกรสซิ่งเตรียมในอะซิเตทบีฟเฟอร์เป็นสารละลายตัวอย่าง ในการทดลองขั้นต้นนี้จะฉีดสารละลายน้ำมุกโกรสโดยใช้ในโกรปีเพตแบบดิจิตอลที่ควบคุมการการฉีดสารละลายน้ำมุกโกรสด้วยมือ

ในการทดลองจะใช้สภาวะการทดลอง ดังนี้

- ปริมาตรสารละลายน้ำมุก = 25 มิลลิตร
- อัตราเร็วในการคน = 300 รอบต่อนาที
- ปลายปีเพตห่างจากเทอร์มิสเตอร์ = 2.0 มิลลิเมตร
- ระยะห่างของรูของปลอกเทอร์มิสเตอร์จากเทอร์มิสเตอร์ = 2.0 มิลลิเมตร
- ความไวในการตรวจวัด (sensitivity) ของเทอร์มิสเตอร์

ค่าสักยีไฟฟ้า 100 มิลลิโวลต์ จะให้กำกับเปลี่ยนแปลงอุณหภูมิ = 10 มิลลิองศาเซลเซียส

- ในการทำการทดลองจะใช้สารตัวอย่าง 25 มิลลิตร ให้ปลายปีเพตอยู่ห่างจากเทอร์มิสเตอร์ 2.0 มิลลิเมตร ให้แขวนอยู่นาน 30 วินาที เพื่อให้เกิดสมดุลอุณหภูมิระหว่างสารตัวอย่างกับสารละลายน้ำมุกก่อนที่จะฉีดสารละลายน้ำ

2.5.1 การตรวจเอนไซม์

การตรวจเอนไซม์ คือ การทำให้ออนไซม์อยู่กับที่ หรือจำกัดให้อยู่ในสภาพแวดล้อมขนาดเล็กโดยที่ยังคงว่องไวในการทำงานปฏิกิริยา และสามารถใช้งานได้อย่างต่อเนื่อง (ภาวิชี คณา สวัสดิ์, 2531) ในงานวิจัยนี้ใช้วิธีการตรวจเอนไซม์แบบเชื่อมไขว้ (crosslinking) โดยการทำให้เกิดพันธะโคوالาณต์ระหว่างหมู่ฟังก์ชันของเอนไซม์อินเวอร์เทสกับตัวค้าจุน (carrier) คือ อัลบูมิน (albumin) ในการครึ่งเอนไซม์จะใช้เอนไซม์อินเวอร์เทส 1 มิลลิกรัม ละลายน้ำใน 20 มิลลิตร (μl) ของ 17.5% อัลบูมิน โดยน้ำหนักต่อปริมาตร (w/v) แล้วผสมกับ 5 มิลลิตรของ 5% กดูตรัลติไฮด์ (glutaraldehyde) โดยปริมาตรต่อปริมาตร (v/v) คนเป็นเวลา 30 วินาที จากนั้นปีเพตส่วนผิวนี้ 5 มิลลิตร หยดลงบนเบรนที่ปีกอยู่บนเทอร์มิสเตอร์ตรวจวัด ส่วนแมมนเบรนที่ปีกอยู่บนเทอร์มิสเตอร์ถางอิงจะมีชั้นของอัลบูมินซึ่งไม่นิเอนเอนไซม์ตรงอยู่ จากนั้นตั้งทิงไว้ที่อุณหภูมิห้องประมาณ 20 - 23 องศาเซลเซียสเพื่อให้เกิดการเชื่อมไขว้ (crosslink) เป็นเวลาประมาณ 7 - 10 นาที นำปลอกเทอร์มิสเตอร์มาสวมเทอร์มิสเตอร์ตรวจวัด แล้วจึงนำเทอร์มิสเตอร์ทั้งสองนี้ไปจุ่มในสารละลายน้ำมุก

2.5.2 จุดจำกัดต่ำสุดในการตรวจวัด (detection limit)

การวิเคราะห์สารตัวอย่างในแต่ละเทคนิคจำเป็นที่จะต้องทราบจุดจำกัดต่ำสุดในการตรวจวัดของแต่ละเทคนิคนั้นด้วย เพื่อเป็นประโยชน์ในการวิเคราะห์สารตัวอย่างว่า สารตัวอย่างนั้นก่อนที่จะนำมาทำการวิเคราะห์ต้องผ่านขั้นตอนการเตรียมสารตัวอย่างอย่างไร ทำการศึกษาโดยใช้

สารละลายน้ำไฮโดรเจนออกไซด์สามารถเพิ่มขึ้นที่ให้ค่าสัญญาณการตอบสนองต่อสัญญาณรบกวนเท่ากัน 2 (Christian , 1980 ; Strobel , 1973) และถือว่าเป็นความเข้มข้นที่ให้ขีดจำกัดต่ำสุดในการตรวจวัด

2.5.3 ผลของอุณหภูมิ

ในปฏิกิริยาเคมีทั่วๆ ไป เมื่อเพิ่มอุณหภูมนักจะทำให้มีอัตราการเกิดปฏิกิริยาสูงขึ้น เนื่องจากโนเลกูลของตัวทำปฏิกิริยามีพลังงานมากขึ้นและเพิ่มจำนวนโนเลกูลที่มีพลังงานเพียงพอที่จะเข้าสู่สภาพเปลี่ยนไปเป็นผลิตภัณฑ์ แต่สำหรับปฏิกิริยาอนไน์การเพิ่มอุณหภูมิจะให้ผลที่ชันซ้อนกันว่า (ชัยณุสรร สวัสดิวัตน์ , 2530) กล่าวคืออัตราของปฏิกิริยาจะเพิ่มขึ้นเมื่ออุณหภูมิเพิ่มขึ้น จนถึงระดับหนึ่ง แต่หากอุณหภูมิสูงเกินไปจะทำให้อ่อนไน์เสื่อมสภาพ และอัตราของปฏิกิริยาที่จะลดลง (Rawn , 1983) เพื่อหาอุณหภูมิที่เหมาะสมสำหรับการทำงานของเอนไน์ของระบบที่ใช้ในงานวิจัยนี้ จึงทำการวิเคราะห์ที่อุณหภูมิ 25 องศาเซลเซียส แบรี่ยนเทียบกับที่อุณหภูมิ 20 องศาเซลเซียส ซึ่งเป็นอุณหภูมิสองค่าที่ระบบเครื่องปรับอากาศของห้องสามารถปรับได้ โดยใช้สารละลายน้ำไฮโดรเจนออกไซด์ที่ความเข้มข้น 0.30 , 0.50 , 1.00 , 2.00 , 3.00 และ 4.00 โมลาร์

2.5.4 ผลของ pH

เอนไน์เป็นโปรตีนที่ประกอบด้วยกรดอะมิโนที่มีหมู่ที่สามารถเกิดเป็นประจุได้ (ionizable groups) ซึ่งการเกิดเป็นประจุของหมู่อะมิโนและหมู่คาร์บอซิลิกเหล่านี้จะขึ้นอยู่กับค่าคงที่ของการแตกตัว (ionization constants) ของแต่ละหมู่ และขึ้นกับ pH ของดิ่งแวดล้อมด้วย (Dixon , et al. , 1979) ที่ pH ต่ำหรือสูงเกินไป มักจะทำให้ประจุของเอนไน์กับสับสเตรทเปลี่ยนไปจนไม่เหมาะสมที่จะทำปฏิกิริยากัน นอกจากนี้ pH ที่สูงมากหรือต่ำมากอาจทำให้โครงสร้างของเอนไน์เสียสภาพหรือชำรุดตามเวลาจะทำให้โครงสร้างของเอนไน์ ในงานวิจัยนี้ทำการศึกษา pH ในช่วง 4.50 - 5.50 เพราะเป็นช่วง pH ที่เหมาะสมในการทำงานของเอนไน์ ในการวิเคราะห์น้ำไฮโดรเจนออกไซด์ (Hestrin , Feingold and Schramm , 1955) โดยใช้สารละลายน้ำไฮโดรเจนออกไซด์ที่ความเข้มข้น 0.50 โมลาร์ เป็นสารละลายน้ำอย่าง ทำการวิเคราะห์ในสารละลายน้ำอะซิเตอบัฟเฟอร์ที่ pH 4.50 , 4.77 , 5.00 และ 5.50

2.5.5 ผลของกลูโคสและฟรอกโทส

จุดประสงค์หนึ่งของระบบการทดลองนี้ก็เพื่อที่จะวิเคราะห์หาปริมาณน้ำไฮโดรเจนออกไซด์ที่ตัวอย่างธรรมชาติ เช่นในน้ำอ้อย ซึ่งในน้ำอ้อยนี้ นอกจากจะมีน้ำตาลน้ำไฮโดรเจนออกไซด์ เช่น กลูโคส และฟรอกโทส ปนอยู่อย่างละ 2 - 4% (Meade and Chen , 1977) หรือ 0.02 - 0.05 โมลาร์ จึงทำการศึกษาเพื่อคุ้วาน้ำตาลเหล่านี้จะมีผลต่อการวิเคราะห์น้ำไฮโดรเจนออกไซด์อย่างไร โดยแบ่งการทดลองออกเป็น 3 ชุด คือ ตัวอย่างที่ประกอบด้วย

- ซูโครสและกลูโคส
- ซูโครสและฟรักโทส
- ซูโครส กลูโคสและฟรักโทส

สารละลายน้ำในน้ำตาลคืออะซิเตบัฟเฟอร์ 0.01 โมลาร์ pH 4.80 โดยซูโครสมีความเข้มข้น 0.10 , 0.40 และ 1.00 โมลาร์ ซึ่งแต่ละความเข้มข้นนี้จะมีปริมาณกลูโคสน้อยหรือฟรักโทส หรือทั้งกลูโคสและฟรักโทสอย่างละ 0.02 , 0.05 , 0.10 , 0.40 และ 1.00 โมลาร์ ผสมอยู่ด้วย

2.5.6 ผลของไออ่อนของโลหะหนักที่มีต่อซูโครส

ในน้ำตาลคิบ (Raw sugar) พบว่า จะมีปริมาณทองแดง (II) (Cu^{2+}) อยู่ 1.22 ppm และเงิน (I) (Ag^+) อยู่ 0.0002 ppm (Meade and Chen , 1977) เนื่องจากไออ่อนของโลหะหนักเหล่านี้สามารถยับยั้งการทำงานของเอนไซม์อินเวร์เทส (Hestrin , Feingold and Schramm , 1955 ; Ohlenbusch and Vogelee , 1974) จึงศึกษาเพื่อศึกษาไออ่อนของทองแดง (II) และเงิน (I) จะมีผลยับยั้งการตอบสนองของเอนไซม์ในการวิเคราะห์ซูโครสหรือไม่ โดยใช้สารละลายน้ำซูโครส 0.10 , 0.40 และ 0.70 โมลาร์ ซึ่งแต่ละความเข้มข้นจะมีปริมาณทองแดง (II) หรือเงิน (I) 0.0 , 0.5 , 1.0 , 2.0 , 3.0 ppm และ 0.0 , 5.0 , 10.0 , 20.0 ppm ตามลำดับ และใช้สารละลายน้ำอะซิเตบัฟเฟอร์ 0.01 โมลาร์ pH 4.80 เป็นสารละลายน้ำซูโครส

2.5.7 ช่วงความเข้มข้นที่ให้การตอบสนองเชิงเส้น

ในการวิเคราะห์หาปริมาณสารตัวอย่างของแต่ละเทคนิคสารตัวอย่างควรจะมีความเข้มข้นอยู่ในช่วงที่ให้ผลการตอบสนองเชิงเส้น ทั้งนี้เป็นเพราะช่วงความเข้มข้นที่ให้การตอบสนองเป็นเส้นตรงจะคำนวณได้ง่าย และให้ค่าการวิเคราะห์ที่ถูกต้องแน่นอน ในการศึกษาเพื่อหาช่วงการตอบสนองเชิงเส้นนี้ใช้สารละลายน้ำซูโครส 0.10 , 0.30 , 0.50 , 0.70 และ 1.00 โมลาร์ และใช้สารละลายน้ำอะซิเตบัฟเฟอร์ 0.01 โมลาร์ pH 4.80 เป็นสารละลายน้ำซูโครส

2.6 การใช้ปีเปตที่ควบคุมการผิดสารละลายน้ำตัวอย่างด้วยเครื่อง EDOS 5221

จากการใช้ปีเปตแบบดิจิตอลที่ควบคุมการผิดสารละลายน้ำตัวอย่าง มี 2 แบบ คือ แบบที่ควบคุมน้ำหนักมือที่กดลงบนปีเปตเพื่อผิดสารละลายน้ำตัวอย่างด้วยอัตราเร็วคงที่ ทำให้สัญญาณการตอบสนองที่ได้มีขนาดไม่เท่ากัน และมีค่าเบี่ยงเบนมาตรฐานของผลการทดสอบค่อนข้างสูงประมาณ 11-18% ดังนั้นในแต่ละการทดสอบจึงใช้เวลาในการวิเคราะห์ค่อนข้างมาก เมื่องจากต้องมีการฝึกผิดสารตัวอย่างในระยะต้นเพื่อควบคุมน้ำหนักมือให้สม่ำเสมอ จนได้สัญญาณการ

ตอบสนองที่มีขนาดใกล้เคียงกัน ดังนั้นในช่วงหลังจึงนำชุดอุปกรณ์ไปเปลี่ยนที่มีระบบควบคุมอัตราการฉีดสารละลายตัวอย่างมาใช้ในการวิเคราะห์ เพื่อลดปัญหาดังกล่าว

2.6.1 ผลของอัตราเร็วที่ใช้ในการฉีดสารละลาย

ในโครปีเปต EDOS 5221 (Eppendorf , Germany) มีระบบควบคุมอัตราเร็วที่ใช้ในการฉีดให้เป็นไปอย่างสม่ำเสมอและสามารถตั้งอัตราเร็วในสเกลตั้งแต่ 1 - 8 โดยตัวเลขที่เพิ่มขึ้นหมายถึงอัตราเร็วในการฉีดสารละลายที่เพิ่มขึ้น อัตราเร็วที่ใช้ในการฉีดสารละลายจะมีผลต่อการแพร่กระจายของสารในขณะที่ทำการวิเคราะห์ อัตราเร็วที่เหมาะสมก็คืออัตราเร็วที่จะให้ค่าการตอบสนองสูงและมีค่าเบี่ยงเบนน้อย ซึ่งจะทำให้ได้ผลการวิเคราะห์ที่ถูกต้องแม่นยำ การทดลองนี้ใช้สารละลายซูโคโรสที่มีความเข้มข้น 0.10 , 0.30 และ 0.50 ไมลาร์ ฉีดลงบนเทอร์มิสเตอร์ด้วยอัตราเร็ว 1 , 3 , 4 , 5 และ 7 ซึ่งอัตราเร็ว 1 จะหมายถึงอัตราเร็วการฉีดสารละลายที่ช้าที่สุด

2.6.2 ผลของระยะห่างระหว่างปลายปีเปตกับเทอร์มิสเตอร์

ในการทดลองฉีดสารละลายลงไปบนเทอร์มิสเตอร์หากตำแหน่งของปีเปตห่างจากเทอร์มิสเตอร์เป็นระยะทางที่ไม่เหมาะสมอาจจะทำให้สารตัวอย่างหรือความร้อนที่เกิดจากปฏิกิริยาแพร่กระจายออกไปก่อนที่เทอร์มิสเตอร์จะตรวจวัดได้ ทำให้การตอบสนองที่ได้มีค่าน้อย ซึ่งจะไปทำให้ผลการวิเคราะห์มีค่าความผิดพลาดเกิดขึ้นได้มาก ในการศึกษาเพื่อหาระยะห่างที่เหมาะสมระหว่างปลายปีเปตกับเทอร์มิสเตอร์นี้จะฉีดสารละลายซูโคโรส 0.30 ไมลาร์ เนื่องจากเป็นความเข้มข้นของซูโคโรสที่มีอยู่ในน้ำอ้อยซึ่งจะใช้เป็นตัวอย่างในการศึกษาขั้นต่อไป โดยกำหนดให้ระยะห่างระหว่างปลายปีเปตกับเทอร์มิสเตอร์ เป็น 1.0 , 2.0 , 3.0 , 4.0 และ 5.0 มิลลิเมตร และใช้อัตราเร็วของการฉีดที่ 4 ซึ่งพบว่าเป็นอัตราเร็วที่เหมาะสมที่สุดจากการทดลอง 2.6.1

2.6.3 ผลของปริมาตรของสารละลายตัวอย่าง

เมื่อสารละลายตัวอย่างที่ฉีดลงบนเทอร์มิสเตอร์มีปริมาตรเพิ่มขึ้นสัญญาณการตอบสนองที่ได้ก็จะระดับเพิ่มขึ้น อย่างไรก็ตามสัญญาณการตอบสนองนี้จะขึ้นกับความสามารถของเอนไซม์ในการเร่งปฏิกิริยาด้วย ดังนั้นจึงน่าจะมีปริมาตรที่เหมาะสมค่าหนึ่งซึ่งจะทำให้ได้สัญญาณการตอบสนองที่สมดุลกับอัตราการเร่งปฏิกิริยาของเอนไซม์ ใน การทดลองนี้ใช้สารละลายซูโคโรส 0.30 ไมลาร์ โดยทดสอบที่ปริมาตรของสารละลาย 10 , 15 , 20 , 25 , 30 และ 50 ไมโครลิตร ใช้ระยะห่างระหว่างปลายปีเปตกับตัวตรวจวัด 2 มิลลิเมตร และใช้อัตราเร็วในการฉีดที่ 4

2.6.4 ความแตกต่างของน้ำอ้อยที่มีการตกตะกอนและไม่มีการตกตะกอนสารhexanol

ในน้ำอ้อยจะมีสารhexanolอยู่ประมาณ 10% และ Meade and Chen (1977) ซึ่งอาจจะทำให้ผลการวิเคราะห์แตกต่างไปจากเมื่อไม่มีสารhexanolอยู่ ดังนั้นจึงทำการศึกษา

เพื่อคุ้ว่าหากมีการตกตะกอนสารเหล่านี้ออกไปโดยการเซนติฟิวจ์ (centrifuge) จะให้ผลการวิเคราะห์ที่แตกต่างจากน้ำอ้อยที่ไม่มีการตกตะกอนอย่างไร โดยจะพิจารณานำอ้อยที่ได้จากส่วนต่างๆ ของอ้อยด้วย นั่นคือจะใช้อ้อยซึ่งยาวประมาณ 230 เซนติเมตร แล้วตัดปลายทั้งสองทิ้งปลายละ 15 เซนติเมตร จากนั้นตัดเป็นท่อนๆ ละ 40 เซนติเมตร 5 ท่อน แล้วนำแต่ละท่อนไปเข้าเครื่องที่นึ่งเพื่อกีบเป็นน้ำอ้อย น้ำอ้อยแต่ละตัวอย่างจะถูกแบ่งเป็น 2 ส่วน ส่วนหนึ่งจะไม่ทำการเซนติฟิวจ์ (raw juice) อีกส่วนหนึ่งนำไปทำการเซนติฟิวจ์ด้วยความเร็ว 6000 รอบต่อนาที เป็นเวลา 30 นาที โดยใช้น้ำอ้อยจากส่วนใส และนำตัวอย่างที่เตรียมไว้ทั้ง 2 ส่วนนี้นำไปทำการวิเคราะห์

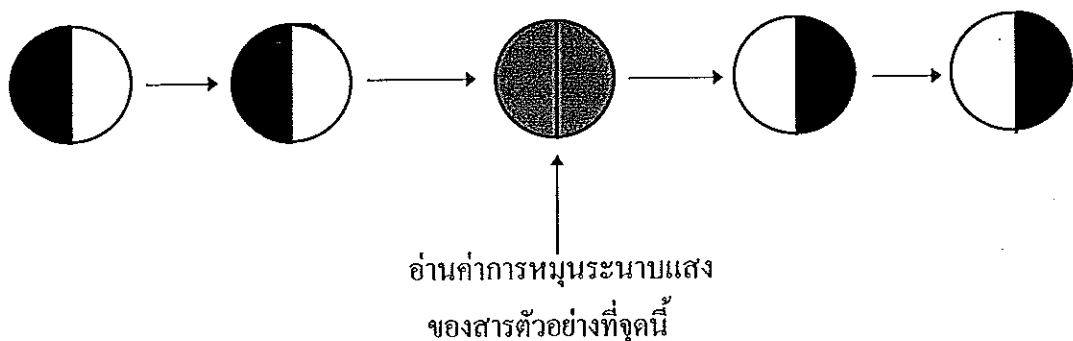
2.7 การเปรียบเทียบเทคนิค BIA กับเทคนิคอื่น

2.7.1 เปรียบเทียบผลการวิเคราะห์หาปริมาณซูโคโรสระหว่างเทคนิค BIA กับเทคนิคโพลาริเมทริก

2.7.1.1 การวิเคราะห์หาปริมาณซูโคโรสในสารละลายน้ำตาล

ทำการศึกษาเพื่อคุ้ว่าในการวิเคราะห์หาปริมาณซูโคโรสจากสารละลายน้ำตาล ค่าที่ได้จากเทคนิค BIA กับค่าที่ได้จากเทคนิคโพลาริเมทริกมีความแตกต่างกันอย่างไร โดยเตรียมสารละลายน้ำตาลในอัตราที่ pH 4.80 ที่ความเข้มข้น 0.10 , 0.20 , 0.30 , 0.40 และ 0.50 โมลาร์ เพื่อใช้ในการหาค่าลิเบրทันเคิร์ฟ (Calibration curve) จากนั้นเตรียมสารละลายน้ำตาลในอัตราที่ pH 4.80 ที่ความเข้มข้น 0.10 , 0.15 , 0.20 , 0.25 , 0.30 , 0.35 , 0.40 และ 0.50 โมลาร์ เป็นสารละลายน้ำตาล และนำไปทำการวิเคราะห์ด้วยเทคนิค BIA และเทคนิคโพลาริเมทริก ค่าที่ได้ของทั้งสองเทคนิคคงคล่องตัวจะนำมาคำนวณเป็นความเข้มข้นของซูโคโรสจากค่าลิเบรทันเคิร์ฟในแต่ละเทคนิค

การวิเคราะห์ด้วยเทคนิคโพลาริเมทริกนี้ ทำโดยนำสารละลายน้ำตาลในอัตราที่เตรียมไว้มาใส่หลอดที่ใช้สำหรับวัดองศาการหมุนระนาบแสง ซึ่งมีขนาดความยาว 200 มิลลิเมตร และวางบนแท่นตัวอย่างจากนั้นปรับจนมองเห็นແบบมีดกับແบบสว่างเป็นແບบเดียวกัน ดังภาพประกอบ 9 และจึงอ่านค่าการหมุนระนาบแสงของสารละลายน้ำตาลน้ำตาลซูโคโรส



ภาพประกอบ 9 แบบมีดกับแบบสว่างในเทคนิคโพลาริเมตริก

2.7.1.2 การวิเคราะห์หาปริมาณซูโคโรสในน้ำอ้อย

การเตรียมตัวอย่างของเทคนิค BIA

จากผลการทดลองข้อ 2.6.4 พบว่า โปรตีน แป้ง และไขมัน ที่มีอยู่ในน้ำอ้อย จะไม่มีผลกระทบต่อการวิเคราะห์หาปริมาณซูโคโรสโดยเทคนิค BIA ดังนี้นจึงใช้น้ำอ้อยดินในการวิเคราะห์ แต่จะทำการเจือจางน้ำอ้อยในแต่ละตัวอย่างด้วยสารละลายอะซิเตอบาฟเฟอร์ 0.01 โนลาร์ pH 4.80 เพื่อให้มีความเข้มข้นของน้ำอ้อยต่างๆ กัน ดังนี้ 40% , 60% , 80% , 100% โดยปริมาตรต่อปริมาตร (V/V) และใช้สารละลายอะซิเตอบาฟเฟอร์เดียวกันนี้เป็นสารละลายที่อยู่ในบีกเกอร์

การเตรียมตัวอย่างของเทคนิคโพลาริเมตริก

สารตัวอย่างที่จะนำมาทำการวิเคราะห์ด้วยเทคนิคโพลาริเมตริก ให้น้ำต้องมีลักษณะใส ไม่มีสี น้ำอ้อยดินนี้จะมีลักษณะขุ่น เนื่องจากมีสารพอกโปรตีน แป้ง และไขมันอยู่ ดังนี้นจึงต้องนำตัวอย่างน้ำอ้อยมาทำการตกรตะกอนสารแขวนลอยเหล่านี้ด้วยตะกั่วอะซิเตท (lead acetate) ในอัตราส่วน 1.0 กรัมต่อตัวอย่างน้ำอ้อย 100 มิลลิลิตร คนสารละลายเพื่อให้สารนี้กระจายตัวทั่วตัวอย่าง แล้วตั้งทิ้งไว้ประมาณ 15 นาที เพื่อให้ตะกอนที่เกิดขึ้นจับรวมตัวกันจนแยกตัวให้เห็นน้ำอ้อยใส นำไปกรองแยกตะกอนออกด้วยกระดาษกรอง (whatman เมอร์ 1) ในกรวย ขณะกรองให้ปิดปากกรวยเพื่อป้องกันการระเหยของตัวอย่าง หากเติมตะกั่วอะซิเตมากเกินไป จะทำให้สารละลายที่กรองได้น้ำนี้มีลักษณะขุ่น ซึ่งสามารถแก้ไขได้ด้วยการเติมโพแทสเซียมออกไซเดลดลงไปในอัตราส่วน 0.25 กรัมต่อตัวอย่างน้ำอ้อย 100 มิลลิลิตร (Meade and Chen , 1977) จากนั้นจึงนำตัวอย่างที่กรองได้ไปทำการวิเคราะห์

2.7.2 เปรียบเทียบผลการวิเคราะห์ปริมาณซูโครสในน้ำอ้อยระหว่างเทคนิค BIA กับเทคนิค สเปกโกรไฟฟ์โตเมตริก

การเตรียมตัวอย่างของเทคนิค BIA

เตรียมเช่นเดียวกับ 2.7.1.2 โดยให้มีความเข้มข้นของน้ำอ้อย 40% , 50% , 60% , 70% , 80% , 90% , 100% โดยปริมาตรต่อปริมาตร (V/V) และจึงนำไปทำการวิเคราะห์ การเตรียมตัวอย่างของเทคนิคสเปกโกรไฟฟ์โตเมตริก

เนื่องจากเทคนิคสเปกโกรไฟฟ์โตเมตริก จะมีช่วงความเข้มข้นที่เป็นส่วนต่อของ การวิเคราะห์กูลูโคสอยู่ในช่วง 0.0014 (25 mg/dl) - 0.0167 (300 mg/dl) โนลาร์ (Sigma , n.d.) ดังนั้น จึงต้องนำน้ำอ้อยแต่ละตัวอย่าง ซึ่งเตรียมสำหรับเทคนิค BIA มาเจือจาง 100 เท่าด้วยสารละลายอะซิตेनบีฟเฟอร์ 0.01 โนลาร์ pH 4.80 และจึงนำไปแต่ละตัวอย่างไปทำการวิเคราะห์หาปริมาณซูโครส ซึ่งประกอบด้วยสารละลายต่างๆ ดังนี้

แบลนค์ (Blank) คือ บัฟเฟอร์ที่ไม่มีสารตัวอย่าง (ซูโครส) ซึ่งถือเป็นหลอดอ้างอิงสารละลายมาตรฐาน (Standard) คือ สารละลายซูโคสมานาตรฐานซึ่งทราบความเข้มข้นที่แน่นอน

สารตัวอย่าง (Sample) คือ น้ำอ้อยที่ต้องการวิเคราะห์หาปริมาณซูโครส เนื่องจากการวิเคราะห์วิธีนี้จะหาปริมาณซูโคสในรูปของน้ำตาลกูลูโคสประกอบน้ำอ้อยจะมีทั้งกูลูโคสและซูโคสมสਮกันอยู่ ดังนั้นจึงต้องแบ่งสารตัวอย่างที่เป็นน้ำอ้อยเป็น 2 ส่วน ส่วนหนึ่งทำการวิเคราะห์หากูลูโคสก่อนการย่อยสารละลายซูโครส อีกส่วนหนึ่งวิเคราะห์หากูลูโคสหลังจากการย่อยสารละลายซูโครส โดยมีเอนไซม์อินเวอร์เทสเป็นตัวเร่งปฏิกิริยาไ/do/ไลซิสของซูโครส สรุปเป็นขั้นตอนดังนี้

แบลนค์ (Blank)	สารละลายมาตรฐาน		สารตัวอย่าง	
	การย่อยซูโครสไปเป็นกูลูโคสกับฟรักโทส (Inversion)			
	ก่อน	หลัง		
1.8 mL น้ำ	1.8 mL น้ำ	1.8 mL น้ำ		
0.2 mL อะซิตेन	0.2 mL ซูโครส	0.2 mL สารตัวอย่าง	0.2 mL สารตัวอย่าง	
บัฟเฟอร์				
0.1 mL น้ำ	0.1 mL อินเวอร์เทส	0.1 mL น้ำ	0.1 mL อินเวอร์เทส	

* ตั้งทิ้งไว้ที่อุณหภูมิห้องเป็นเวลา 15 นาที เพื่อให้เกิดปฏิกิริยาไฮโดรไลซิสของชูโครัส แล้วนำทุกหลอดมาเติมแบนเรียม ไฮดรอกไซด์และสังกะสีซัลเฟตอย่างละ 1.0 มิลลิลิตร เพื่อทำให้เกิดการตกตะกอนของสารแขวนลอยที่มีอยู่ในน้ำอ้อย เช่น โปรตีน แป้ง และไขมัน

** นำไปเพนต์ริฟิวจ์ (centrifuge) ด้วยความเร็ว 6000 รอบต่อนาที เป็นเวลา 10 นาที เพื่อให้สารแขวนลอยตกตะกอนแล้วจึงนำ 0.5 มิลลิลิตรของส่วนใสของแต่ละหลอดเติมลงในสารละลายผสมระหว่างเอนไซม์ไฮดรอกซิเดส กซูโคสออกซิเดส และօโซโธ-ไดอะโนดีนหลอดละ 5.0 มิลลิลิตร

*** ตั้งทิ้งไว้ เป็นเวลา 45 นาที ที่อุณหภูมิห้อง เพื่อให้เกิดปฏิกิริยาออกซิเดชันของกซูโคส ไปเป็นกรดกซูโคนิก (Gluconic acid) กับไฮโดรเจนเพอร์ออกไซด์ โดยมีเอนไซม์กซูโคสออกซิเดส เป็นตัวเร่งปฏิกิริยา และไฮโดรเจนเพอร์ออกไซด์ที่เกิดขึ้นจะทำปฏิกิริยากับօโซโธ-ไดอะโนดีน (ไม่มีสี) โดยการเร่งปฏิกิริยาด้วยเอนไซม์ไฮดรอกซิเดส (Peroxidase) ได้เป็นสารประกอบของօโซโธ-ไดอะโนดีนที่มีสีน้ำตาลเกิดขึ้น

**** วัดค่าการดูดกลืนแสง ที่ความยาวคลื่น 460 นาโนเมตร (nm) โดยค่าการดูดกลืนแสงที่ได้จะเป็นสัดส่วนตรงกับปริมาณไฮโดรเจนเพอร์ออกไซด์ ซึ่งจากผลต่างของค่าการดูดกลืนแสงของสารตัวอย่างก่อนและหลังการย่อยสลายชูโครัสสามารถนำมาคำนวณหาค่าความเข้มข้นของชูโครัส ที่มีอยู่ในสารตัวอย่าง ได้จากค่าลิเบราชันเครฟท์ที่ได้จากสารละลายชูโครัสมาตรฐาน

2.8 การวิเคราะห์ห้าปริมาณชูโครัสในน้ำกระปองด้วยเทคนิค BIA

ใช้เทคนิค BIA วิเคราะห์ห้าปริมาณชูโครัสของน้ำกระปองชนิดต่างๆ และใช้สารละลายอะซิเตทบัฟเฟอร์ 0.01 โมลาร์ pH 4.80 เป็นสารละลายที่อยู่ในบีกเกอร์ และเปรียบผลการวิเคราะห์ที่ได้กับปริมาณน้ำตาลชูโครัสที่ผู้ผลิตระบุไว้

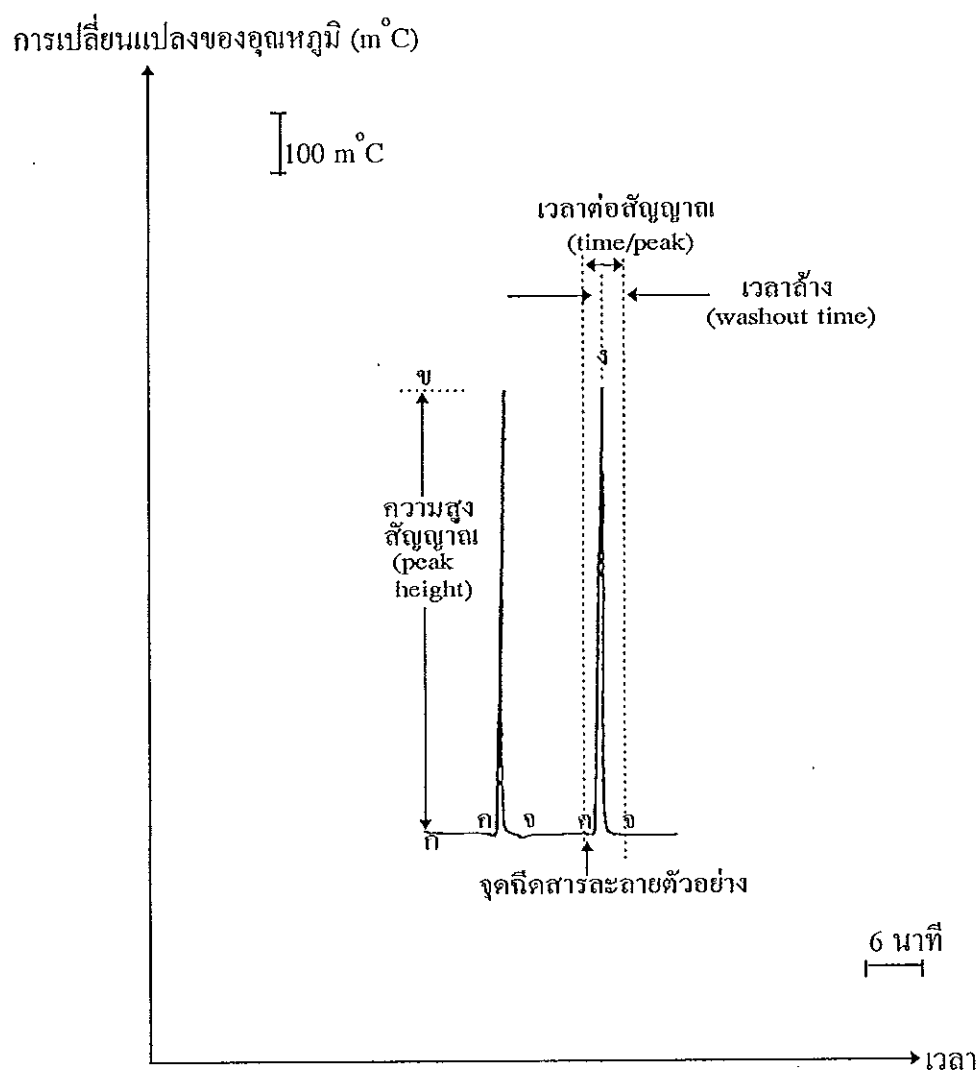
บทที่ ๘

ผลและการอภิปรายผล

3.1 สักษณะทั่วไปของสัญญาณ

ในระบบ BIA นี้หากไม่มีค่าสารละลายตัวอย่างลงบนเทอร์มิสเตอร์ตรวจวัดจะไม่มีการเปลี่ยนแปลงของอุณหภูมิ วงจรวิตส์โตแนบบริดจ์จะอยู่ในสภาพสมดุลค่าความต่างศักย์ไฟฟ้าคงที่เท่ากัน ศูนย์ และสัญญาณที่ได้มีลักษณะเป็นเส้นตรงเรียกว่าแนวสไลน์ (ภาพประกอบ 10 ก) เมื่อมีค่าสารละลายตัวอย่างลงบนเทอร์มิสเตอร์สารละลายตัวอย่างจะทำปฏิกิริยา กับสารละลายในบีกเกอร์หรือสารที่ตรงไว้บนเทอร์มิสเตอร์ตรวจวัดทำให้เกิดความร้อนนั่นคือเกิดการเพิ่มขึ้นของอุณหภูมิ ซึ่งสามารถตรวจวัดได้ในรูปของความต่างศักย์ไฟฟ้าของวงจรวิตส์โตแนบบริดจ์ในขณะที่วงจรบริดจ์ไม่สมดุล โดยที่ความต่างศักย์ไฟฟ้าจะเพิ่มขึ้นเมื่ออุณหภูมิเพิ่มขึ้น จนนั้นสารละลายตัวอย่างและผลิตภัณฑ์ที่เกิดขึ้นจากปฏิกิริยาจะถูกถอดออกไปจากพิวชั่นเทอร์มิสเตอร์โดยสารละลายที่อยู่ในบีกเกอร์ ซึ่งมีการคนอยู่ตลอดเวลาทำให้สัญญาณที่เกิดขึ้นมีค่าลดลงจนกลับสู่แนวสไลน์พร้อมที่จะทำการวิเคราะห์ครั้งต่อไป ในการวิเคราะห์สารตัวอย่างข้อมูลที่ใช้คือความสูงของสัญญาณการตอบสนองที่เกิดจากการเปลี่ยนแปลงอุณหภูมิของปฏิกิริยา (ก-ข) โดยที่ความสูงของสัญญาณจะเป็นสัดส่วนกับความเพิ่มขึ้นของสารละลายตัวอย่าง ช่วงเวลาต่างๆ ที่วัดได้จากระบบ BIA เมื่อทดลองกับปฏิกิริยากรด-เบสและปฏิกิริยาไฮโดรไคลิซของชูโกรสที่ความเพิ่มขึ้นต่างๆ พอดูรูปได้ดังนี้

ช่วง	ปฏิกิริยากรด-เบส (วินาที)	ปฏิกิริยาไฮโดรไคลิซ (วินาที)
เวลาจากเมื่อเริ่มน้ำค่าสารตัวอย่างจนถึงจุดที่เริ่มให้สัญญาณการตอบสนอง	1 - 2	3 - 4
เวลาในการถ่ายสารต่างๆ ออกจากเทอร์มิสเตอร์		
ตรวจวัดเพื่อให้สัญญาณคืนสู่แนวสไลน์ (ก-ข)	40 - 80	110 - 140
เวลาต่อหนึ่งสัญญาณ (ก-ข)	45 - 90	115 - 170
จำนวนครั้งที่สามารถวิเคราะห์ได้ต่อหนึ่งชั่วโมง	40 - 80 ครั้ง	20 - 30 ครั้ง



ภาพประกอบ 10 ตัวอย่างสัญญาณการตอบสนองจากระบบ BIA ที่ได้จากการวัดการเปลี่ยน

แปลงของอุณหภูมิ

ก-ช : ความสูงของสัญญาณการตอบสนอง

ค : จุดนีคสารละลายตัวอย่าง

ง-จ : เวลาในการล้างสารต่างๆ ออกจากเทอร์มิสเตอร์ตรวจวัดเพื่อให้สัญญาณ
คืนสู่เส้นไลน์

ค-ช : เวลาต่อสัญญาณ

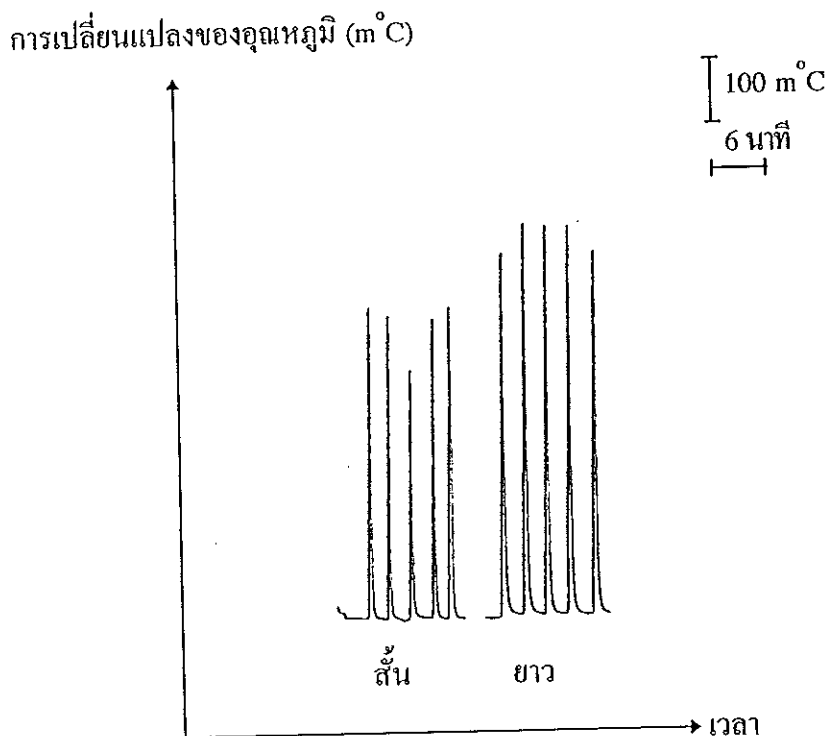
3.2 การหาสภาวะที่เหมาะสมของปัจจัยพื้นฐานของระบบ BIA

3.2.1 ผลของความยาวของปลอกเทอร์มิสเตอร์

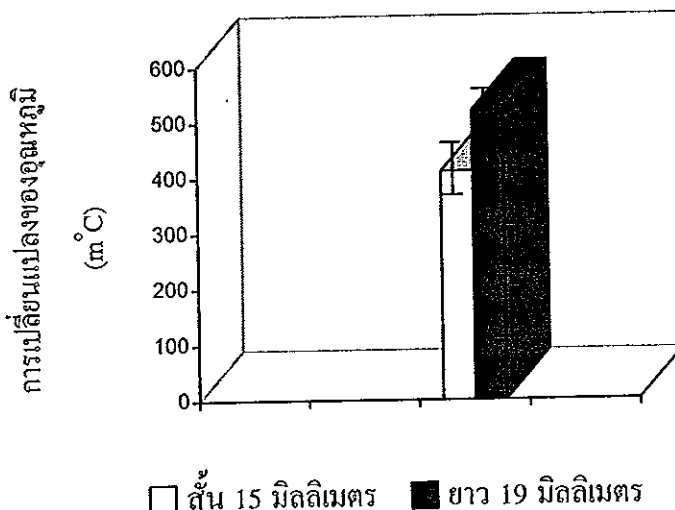
จากการศึกษาผลของความยาวของปลอกเทอร์มิสเตอร์ที่มีต่อสัญญาณการเพิ่มของอุณหภูมิ (2.4.1) โดยทำการทดลองจำนวน 3 ชุด พบว่าในปลอกเทอร์มิสเตอร์แบบสั้นนั้นสัญญาณที่บันทึกได้จะน้อยกว่าปลอกเทอร์มิสเตอร์แบบยาว (ตาราง 1 ภาพประกอบ 11 และภาพประกอบ 12) แต่จะใช้เวลาต่อสัญญาณน้อยกว่า (ตาราง 1 ภาพประกอบ 13) โดยที่ปลอกเทอร์มิสเตอร์แบบสั้นให้การเปลี่ยนแปลงของอุณหภูมิเฉลี่ย 3 ชุด เท่ากับ $86 \pm 8\%$ และเวลาต่อสัญญาณเป็น $79 \pm 1\%$ ของปลอกเทอร์มิสเตอร์แบบยาว ตามลำดับ ทั้งนี้น่าจะเนื่องจากเมื่อปลอกเทอร์มิสเตอร์มีขนาดยาวขึ้น อัตราในการแพร่กระจายของสารละลายตัวอย่าง พลิกกันๆ และความร้อนที่เกิดขึ้นเกิดได้ช้า ถึงแม้ว่าปลอกเทอร์มิสเตอร์แบบสั้นจะให้การเปลี่ยนแปลงของอุณหภูมน้อยกว่าปลอกเทอร์มิสเตอร์แบบยาวแต่ก็ไม่มากนัก ประกอบกับใช้เวลาต่อสัญญาณน้อยกว่าแบบยาวทำให้สามารถวิเคราะห์ผลได้รวดเร็ว คั่งน้ำเงินเลือกใช้ปลอกเทอร์มิสเตอร์แบบสั้นในการศึกษาสภาวะอื่นๆ ต่อไป

ตาราง 1 การเปลี่ยนแปลงของอุณหภูมิและเวลาต่อสัญญาณเมื่อใช้ปฏิกิริยากรด-เบสที่ความยาวของปลอกเทอร์มิสเตอร์ต่างกัน

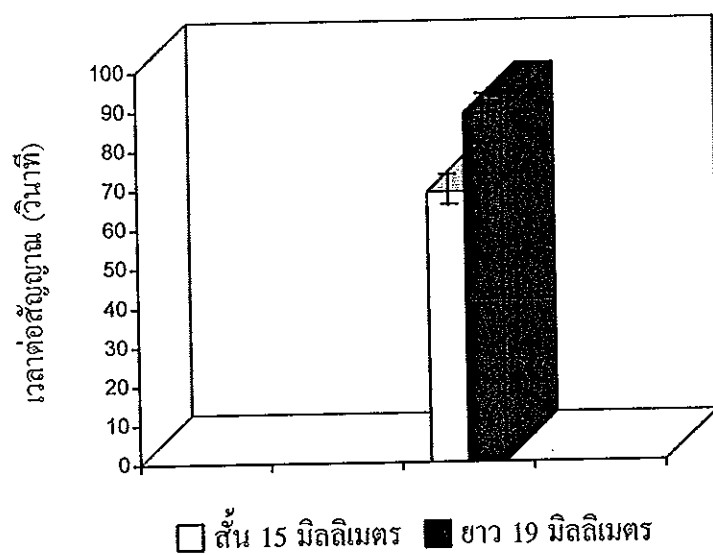
ความยาวของปลอก เทอร์มิสเตอร์	การเปลี่ยนแปลงของอุณหภูมิ ($m^{\circ}C$)			เวลาต่อสัญญาณ (วินาที)		
	ชุดที่			ชุดที่		
	1	2	3	1	2	3
สั้น 15 มิลลิเมตร	410±50	470±50	440±100	69±3	72±2	66±3
ยาว 19 มิลลิเมตร	520±40	550±10	470±80	89±4	90±3	82±7



ภาพประกอบ 11 ตัวอย่างสัญญาณจากระบบ BIA ที่วัดการเปลี่ยนแปลงของอุณหภูมิจากปฏิกิริยาของกรดในคริก 0.50 ไมลาร์ กับสารละลายโซเดียมไฮดรอกไซด์ 1.00 ไมลาร์ เพื่อศึกษาผลของความยาวของปลอกเทอร์มิสเตอร์ โดยใช้ปริมาณของกรดในคริก 25 ไมโครลิตร อัตราเร็วในการคนสารละลาย 300 รอบต่อนาที และปลายปีเปตห่างจากผิวของเทอร์มิสเตอร์ 2.0 มิลลิเมตร



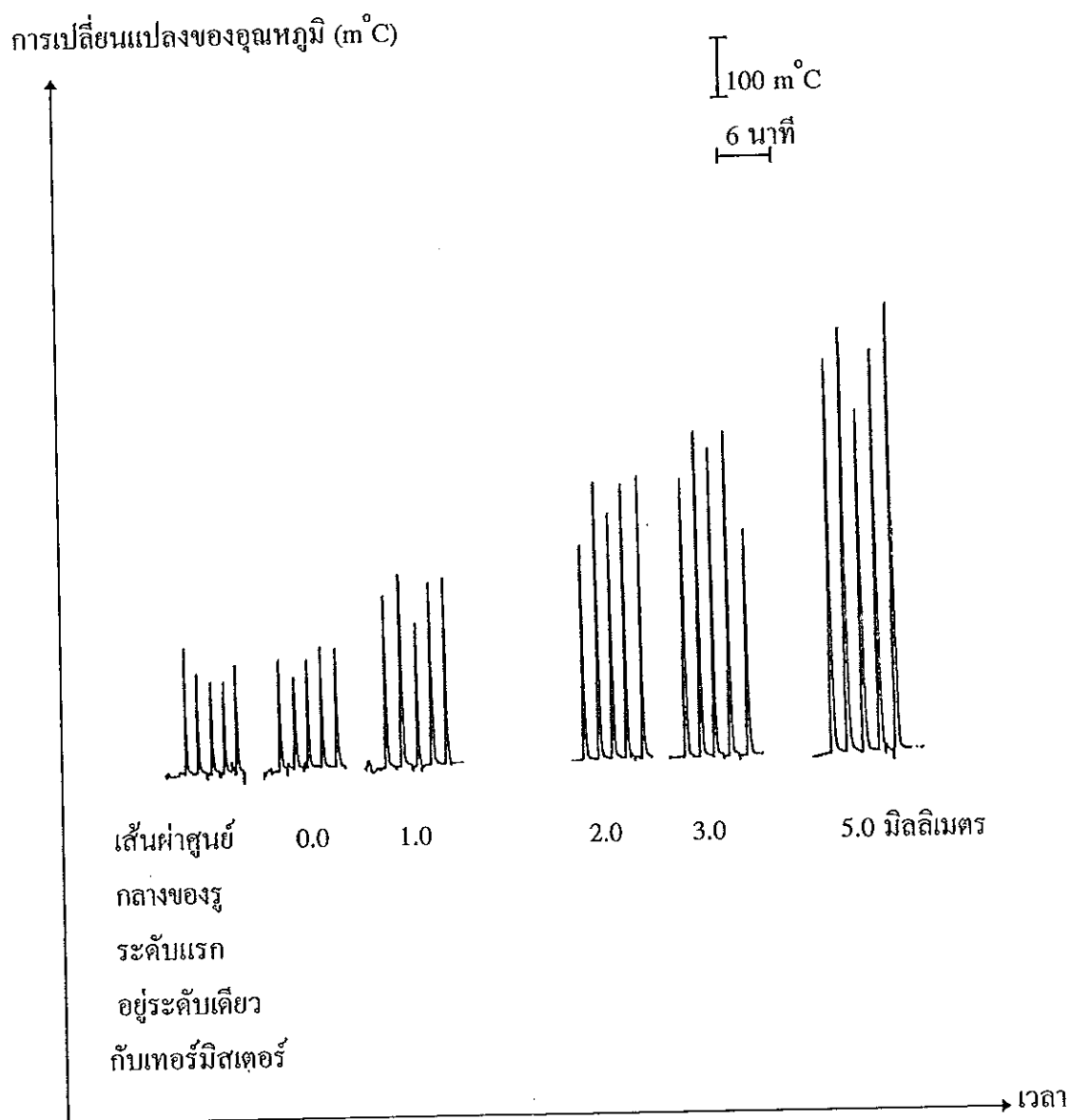
ภาพประกอบ 12 ผลของการความยาวของปلاตอกเทอร์มิสเตอร์ต่อการเปลี่ยนแปลงของอุณหภูมิ (ชุดที่ 1 จากตาราง 1 ชุดอื่นให้ผลลักษณะเดียวกัน)



ภาพประกอบ 13 ผลของการความยาวของปلاตอกเทอร์มิสเตอร์ต่อเวลาต้องสัญญาณ (ชุดที่ 1 จากตาราง 1 ชุดอื่นให้ผลลักษณะเดียวกัน)

3.2.2 ผลของระยะห่างจากผิวเทอร์มิสเตอร์ของรูของปลอกเทอร์มิสเตอร์

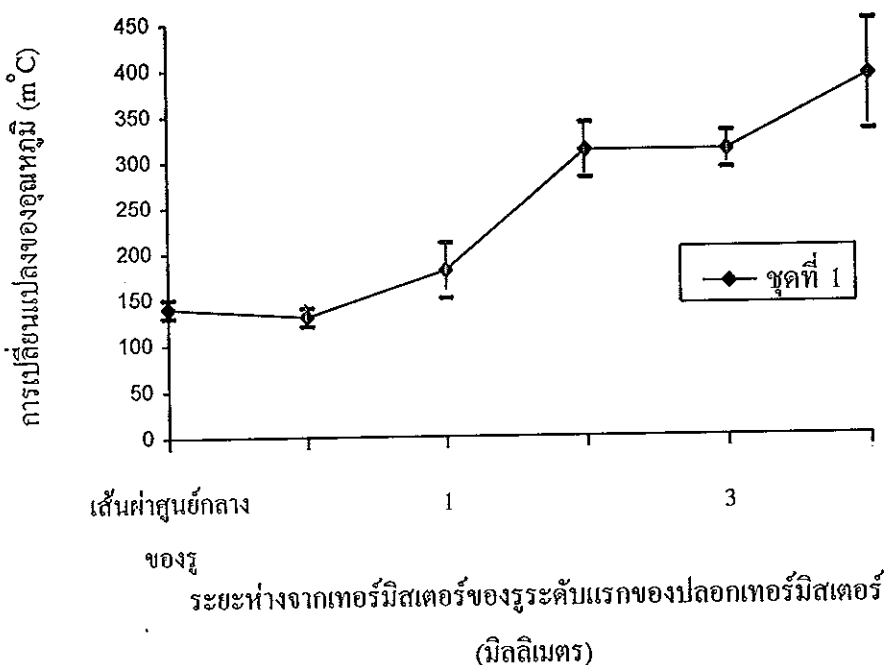
ในการศึกษาผลของระยะห่างจากผิวเทอร์มิสเตอร์ของรูระดับแรกของปลอกเทอร์มิสเตอร์ (2.4.2) ทำการทดลองจำนวน 3 ชุด พนว่า เมื่อรูระดับแรกของปลอกเทอร์มิสเตอร์เพิ่มขึ้น ขนาดของสัญญาณเนื่องจากการเปลี่ยนแปลงของอุณหภูมิจะสูงขึ้น (ตาราง 2 ภาพประกอบ 14 และ 15) แต่จะใช้เวลาต่อสัญญาณเพิ่มขึ้นด้วยเห็นกัน (ตาราง 2 ภาพประกอบ 16) เนื่องจากเมื่อรูปปลอกเทอร์มิสเตอร์อยู่ห่างจากเทอร์มิสเตอร์มากขึ้นอัตราเร็วในการแพร่กระจายของสารละลายตัวอย่าง ผลิตภัณฑ์ และความร้อนที่เกิดขึ้นที่ผิวเทอร์มิสเตอร์ตรวจวัดเกิดได้ช้า และเมื่อเปรียบเทียบขนาดของสัญญาณและเวลาต่อสัญญาณที่ระยะห่างของรูระดับแรกของปลอกเทอร์มิสเตอร์จากเทอร์มิสเตอร์ ทั้ง 6 ระยะ โดยใช้ ANOVA พนว่า ความแตกต่างมีนัยสำคัญระหว่างผลการทดลอง 3 กลุ่ม คือ กลุ่มที่ 1 ที่ระยะเดินผ่านสูนย์กลางของรูระดับแรกอยู่ในระดับเดียวกับเทอร์มิสเตอร์ ระยะขอบล่างของรูระดับแรกอยู่สูงจากเทอร์มิสเตอร์ 0.0 และ 1.0 มิลลิเมตร มีการเปลี่ยนแปลงของอุณหภูมิต่ำ กลุ่มที่ 2 ที่ระยะขอบล่างของรูระดับแรกอยู่สูงจากเทอร์มิสเตอร์ 2.0 กับ 3.0 มิลลิเมตร ให้การเปลี่ยนแปลงของอุณหภูมิสูงขึ้น และกลุ่มที่ 3 ที่ระยะขอบล่างของรูระดับแรกอยู่สูงจากเทอร์มิสเตอร์ 5.0 มิลลิเมตร มีการเปลี่ยนแปลงของอุณหภูมิสูงที่สุด ในกรณีการเปลี่ยนแปลงของอุณหภูมิสูงขึ้นไปทั้งการเปลี่ยนแปลงของอุณหภูมิและเวลาต่อสัญญาณที่ใช้ ดังนั้นจึงเลือกระยะห่างจากเทอร์มิสเตอร์ของรูปปลอกเทอร์มิสเตอร์คือ 2.0 มิลลิเมตร ในการศึกษาสภาวะอื่นๆ ไป เนื่องจากที่ระยะนี้มีการเปลี่ยนแปลงของอุณหภูมิสูงกว่าอีกสามระยะแรกอย่างมีนัยสำคัญและใช้เวลาไม่ยิ่งกว่าอีกสองระยะถัดไป



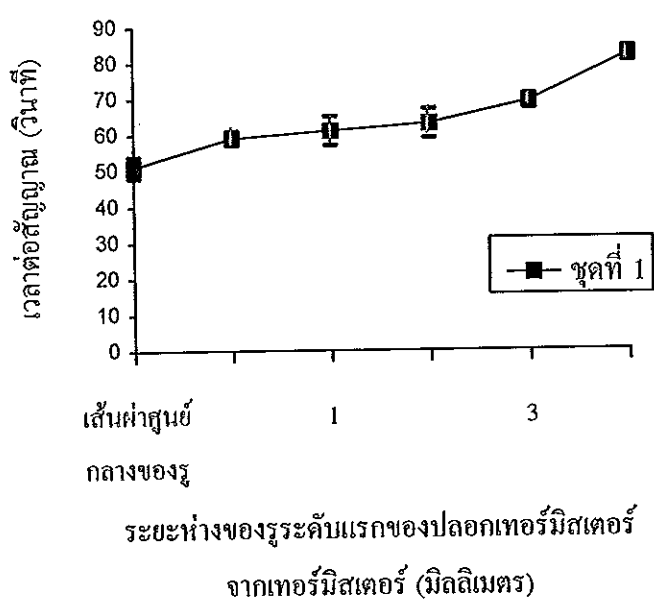
ภาพประกอบ 14 ตัวอย่างสัญญาณที่ได้จากการศึกษาระบบท่างจากเทอร์มิสเตอร์ของรูระดับแรกของปลอกเทอร์มิสเตอร์เมื่อใช้กรดไฮดริก 0.50 โนลาร์ กัมสารละลายโซเดียมไฮดรอกไซด์ 1.00 โนลาร์ โดยใช้ปริมาตรของกรดไฮดริก 25 โนโลลิตร อัตราเร็วในการคนสารละลาย 300 รอบต่อนาที และปลายปีเปตห่างจากผิวของเทอร์มิสเตอร์ 2.0 มิลลิเมตร

ตาราง 2 การเปลี่ยนแปลงของอุณหภูมิและเวลาต่อสัญญาณที่มีระยะห่างของรูระดับแรก
ของปลอกเทอร์มิสต์เตอร์ต่างกัน

ระยะห่างจาก ผิวเทอร์มิสต์เตอร์ ของรูระดับแรกของ ปลอกเทอร์มิสต์เตอร์ (มิลลิเมตร)	การเปลี่ยนแปลงของอุณหภูมิ ($m^{\circ}C$)			เวลาต่อสัญญาณ (วินาที)		
	ชุดที่			ชุดที่		
	1	2	3	1	2	3
เดือนผ่าศูนย์กลางของ รูแรกอยู่ระดับเดียว กับเทอร์มิสต์เตอร์	140±10	140±20	140±10	51±3	52±1	46±2
0.0	130±10	140±10	150±10	59±2	56±3	54±3
1.0	180±30	240±40	210±40	61±4	62±2	59±3
2.0	310±30	360±70	360±30	63±4	62±2	70±3
3.0	310±20	400±70	380±40	69±2	66±3	77±5
5.0	390±60	540±60	480±60	82±2	75±3	89±4



ภาพประกอบ 15 ความสัมพันธ์ระหว่างการเปลี่ยนแปลงของอุณหภูมิกับระยะห่างจากเทอร์มิสเตอร์ของรูระดับแรกของปลอกเทอร์มิสเตอร์ (ชุดที่ 1 จากตาราง 2 ชุดอื่นให้ผลลักษณะเดียวกัน)



ภาพประกอบ 16 ความสัมพันธ์ระหว่างเวลาต่อสัญญาณกับระยะห่างจากเทอร์มิสเตอร์ของรูระดับแรกของปลอกเทอร์มิสเตอร์ (ชุดที่ 1 จากตาราง 2 ชุดอื่นให้ผลลักษณะเดียวกัน)

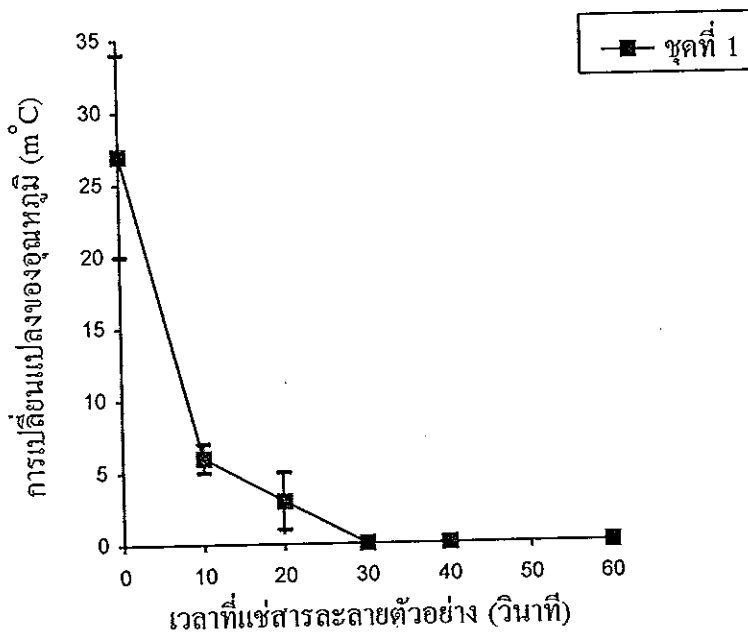
3.2.3 เวลาที่ทำให้เกิดสมดุลอุณหภูมิระหว่างสารละลายตัวอย่างในปีเปตกับสารละลายในบีกเกอร์

เวลาในการเกิดสมดุลอุณหภูมิระหว่างสารละลายตัวอย่างกับสารละลายที่อยู่ในบีกเกอร์ (2.4.3) คือเวลาที่ใช้ในการแข่ป้ายปีเปตที่มีสารละลายตัวอย่างในสารละลายที่อยู่ในบีกเกอร์ เพื่อทำให้อุณหภูมิของสารละลายตัวอย่างและสารละลายในบีกเกอร์เท่ากัน สารละลายตัวอย่างที่ใช้คือ โซเดียมไอการอกไซด์เป็นสารละลายชนิดเดียวกันกับสารละลายที่อยู่ในบีกเกอร์ ซึ่งเมื่อจัดลงไปบนเทอร์มิสเตอร์จะไม่มีปฏิกิริยาเคมีเกิดขึ้น ดังนั้นหากมีสารละลายตัวอย่างที่มีอุณหภูมิเท่ากับสารละลายในบีกเกอร์ลงบนเทอร์มิสเตอร์ จึงไม่ควรมีการเปลี่ยนแปลงของอุณหภูมิ แต่ถ้ามีการเปลี่ยนแปลงก็แสดงว่าอุณหภูมิในสารละลายตัวอย่างและสารละลายในบีกเกอร์มีความแตกต่างกัน

จากการทดลอง 2 ชุด พบว่า เมื่อแข่ป้ายปีเปตไว้ 0 - 20 วินาที จะมีการเปลี่ยนแปลงของอุณหภูมิ ส่วนที่เวลา ≥ 30 วินาที จะไม่มีการเปลี่ยนแปลงของอุณหภูมิ (ตาราง 3 ภาพประกอบ 17) ดังนั้นเวลา 30 วินาที คือเวลาที่ทำให้เกิดสมดุลอุณหภูมิระหว่างสารละลายตัวอย่างกับสารละลายที่อยู่ในบีกเกอร์ และได้ใช้เวลา 30 วินาที นี้ในการศึกษาสภาวะอื่นๆ ต่อไป

ตาราง 3 การเปลี่ยนแปลงของอุณหภูมิเมื่อสารละลายตัวอย่างถูกแช่ในสารละลายในบีกเกอร์ที่เวลาต่างๆ กัน

เวลาที่แช่สารละลาย ตัวอย่างแล้วทำให้ เกิดสมดุล (วินาที)	การเปลี่ยนแปลงของอุณหภูมิ ($m^{\circ}C$)	
	ชุดที่	
	1	2
0	27±7	40±10
10	6±1	4±2
20	3±2	3±1
30	0±1	0±1
40	0±1	0±1
60	0±1	0±1



ภาพประกอบ 17 ความสัมพันธ์ระหว่างการเปลี่ยนแปลงของอุณหภูมิกับเวลาที่แช่สารละลายตัวอย่าง (ชุดที่ 1 จากตาราง 3 ชุดที่ 2 ให้ผลในลักษณะเดียวกัน)

3.2.4 ผลของอัตราเร็วในการคณสารละลาย

จากการศึกษาผลของอัตราเร็วในการคณสารละลาย 100 , 300 และ 400 รอบต่อนาที (2.4.4) โดยทำการทดสอบ 3 ชุด พบว่า ขนาดของสัญญาณการเปลี่ยนแปลงอุณหภูมิจะสูงที่สุดที่ อัตราเร็ว 300 รอบต่อนาที (ตาราง 4 ภาพประกอบ 18) การที่อัตราเร็ว 400 รอบต่อนาที ให้การเปลี่ยนแปลงของอุณหภูมิที่ต่ำกว่าอาจเนื่องมาจากการที่สารตัวอย่างผลิตภัณฑ์และความร้อนเกิด การแพร่กระจายเร็วเกินไป ส่วนที่อัตราเร็ว 100 รอบต่อนาทีให้การเปลี่ยนแปลงของอุณหภูมิต่ำกว่า เช่นกัน น่าจะเป็นเพราะการแพร่กระจายของสารตัวอย่างบริเวณผิวของเทอร์มิสเตอร์มีน้อยเกินไป ทำให้เกิดปฏิกิริยาได้น้อย ส่วนเวลาต่อสัญญาณมีค่าน้อยลง เมื่ออัตราเร็วในการคณสารละลายเพิ่มขึ้น (ตาราง 4 ภาพประกอบ 19) เนื่องจากอัตราเร็วในการคณสารละลายเพิ่มขึ้น ทำให้การแพร่กระจายของสารละลายตัวอย่าง ผลิตภัณฑ์ และความร้อนเกิดได้เร็วขึ้น

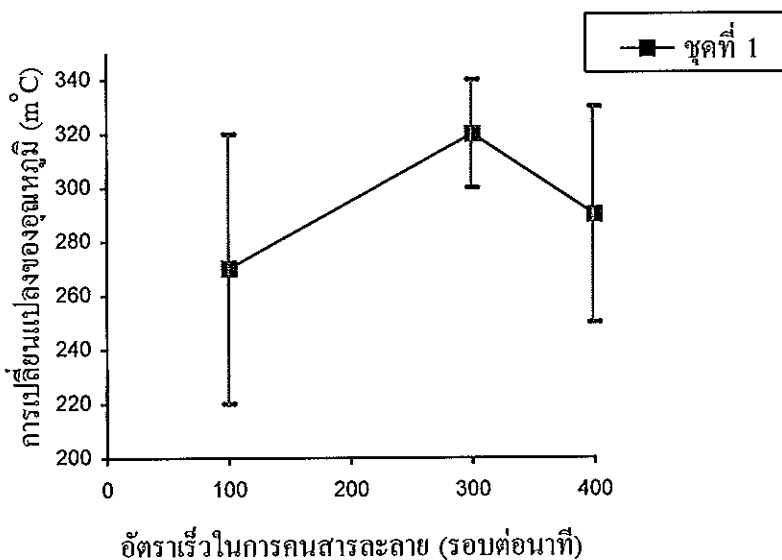
เมื่อพิจารณาแล้วอัตราเร็วในการคณสารละลายที่เหมาะสมที่สุด คือ 300 รอบต่อนาที เนื่องจากให้การเปลี่ยนแปลงของอุณหภูมิมากที่สุด

จากการศึกษาหาสภาวะที่เหมาะสมของปัจจัยพื้นฐานของระบบ BIA พอสรุปได้ดังนี้

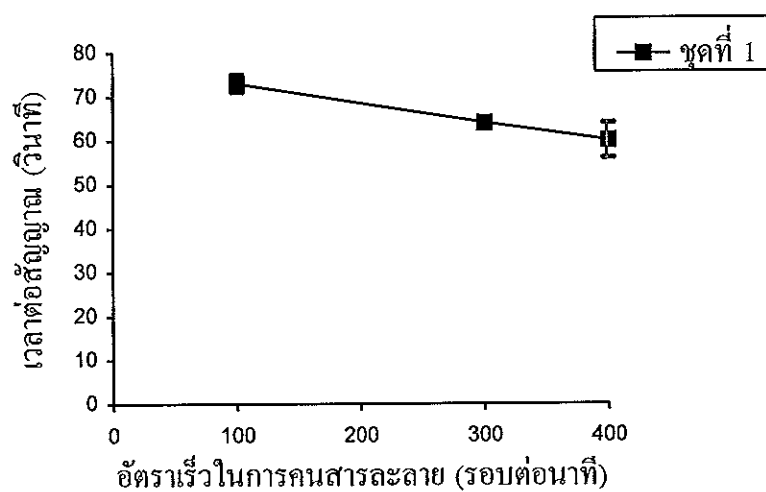
- | | |
|---|----------------|
| - ความยาวของปลอกเทอร์มิสเตอร์ | 15 มิลลิเมตร |
| - ระยะห่างของรูระดับแรกของปลอกเทอร์มิสเตอร์จากเทอร์มิสเตอร์ | 2 มิลลิเมตร |
| - เวลาที่ใช้เชื่อมสารละลายตัวอย่าง | 30 วินาที |
| - อัตราเร็วในการคณสารละลาย | 300 รอบต่อนาที |

ตาราง 4 การเปลี่ยนแปลงของอุณหภูมิและเวลาต่อสัญญาณที่อัตราเร็วในการคนสารละลายต่างกัน

อัตราเร็วในการคนสารละลาย (รอน/นาที)	การเปลี่ยนแปลงของอุณหภูมิ (m°C)			เวลาต่อสัญญาณ (วินาที)		
	ชุดที่			ชุดที่		
	1	2	3	1	2	3
100	270±50	250±30	260±50	73±2	72±5	74±1
300	320±20	290±70	340±50	64±1	60±2	63±1
400	290±40	290±20	320±50	60±4	55±1	57±2



ภาพประกอบ 18 ความสัมพันธ์ระหว่างการเปลี่ยนแปลงของอุณหภูมิ มิกับอัตราเร็วในการคณสารละลาย (ชุดที่ 1 จากตาราง 4 ชุดอื่นให้ผลในลักษณะเดียวกัน)

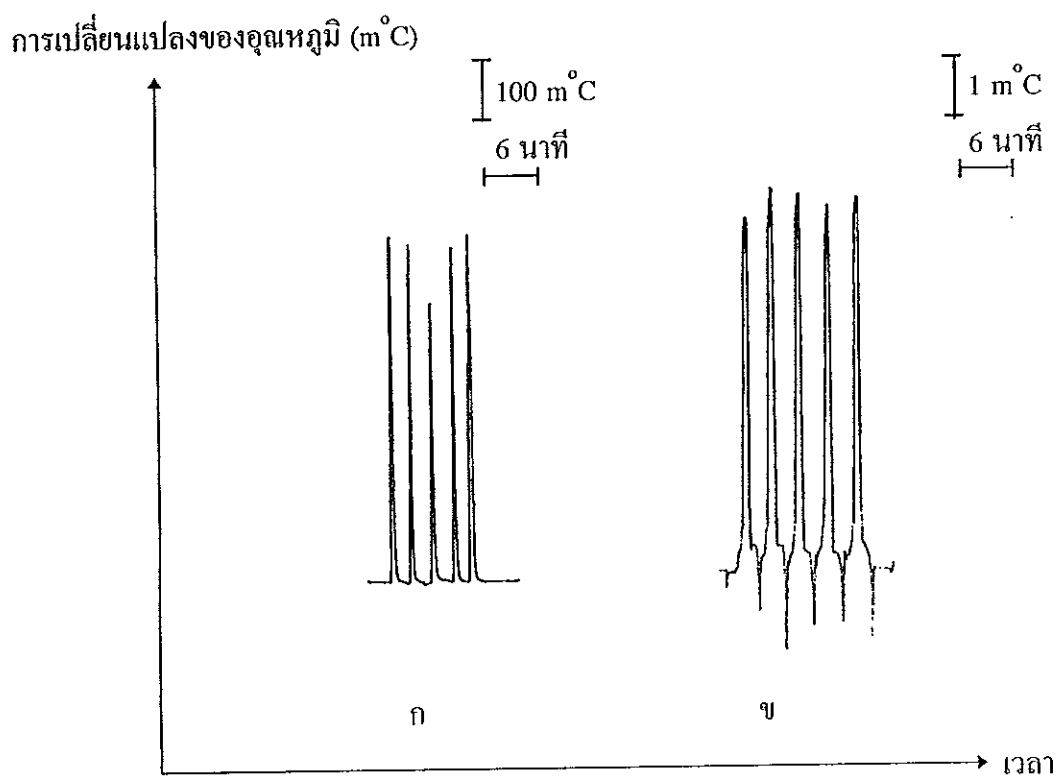


ภาพประกอบ 19 ความสัมพันธ์ระหว่างเวลาต่อสัญญาณกับอัตราเร็วในการคณสารละลาย (ชุดที่ 1 จากตาราง 4 ชุดอื่นให้ผลในลักษณะเดียวกัน)

3.3 การหาสภาวะที่เหมาะสมในการวิเคราะห์ชูโครส

3.3.1 สักษณะของสัญญาณ

การวิเคราะห์ชูโครสโดยการวัดความร้อนซึ่งเกิดจากการเร่งปฏิกิริยาไชโครไรซิสของชูโครสโดยเน้นให้มีอินเวอร์เทสเพนว่า ความร้อนที่เกิดขึ้นจากปฏิกิริยานี้จะน้อยกว่าปฏิกิริยาระเบสอยู่ประมาณ 100 เท่า ดังนั้นในการวัดการตอบสนองจึงต้องมีการขยายสัญญาณเพิ่มขึ้นจากเดิมทำให้สัญญาณที่เป็นแบบสไลน์มีการขยายขนาดตามไปด้วย จึงเห็นเป็นลักษณะขึ้นๆ ลงๆ ไม่เรียบดังเช่นปฏิกิริยาระเบส (ภาพประกอบ 20) นอกจากนี้จะเห็นว่าสัญญาณของปฏิกิริยาไชโคร ไดซิสของชูโครสจะคล่องก่อนที่จะมีการเพิ่มขึ้น (ข) เมื่อจากสารละลายชูโครสที่ใช้ปกติจะเก็บไว้ในถุงเย็นทำให้มีอุณหภูมิต่ำกว่าสารละลายในบีกเกอร์เมื่อนำมาปีเปตที่มีสารละลายอุณหภูมิค่าน้ำจืดในบีกเกอร์เทอร์มิสเตอร์สามารถตรวจวัดอุณหภูมิที่ต่ำลงนี้ได้ สัญญาณที่ปรากฏออกมาก็เป็นสัญญาณที่ลดต่ำลงและค่อยๆ กลับสู่เบสสไลน์เมื่อมีการปรับสมดุลอุณหภูมิระหว่างสารละลายตัวอย่างในปีเปตและสารละลายในบีกเกอร์ นอกจากนี้จะเห็นได้ว่าเวลาในการเกิดสัญญาณและเวลาต่อสัญญาณของปฏิกิริยาชูโครสจะมากกว่าค่าวิก



ภาพประกอบ 20 เมริยันเทียนลักษณะสัญญาณจากระบบ BIA ที่ได้จากปั๊กิริยากรด-เบสกับปั๊กิริยาไฮโครไอลซิสของชูโกรส

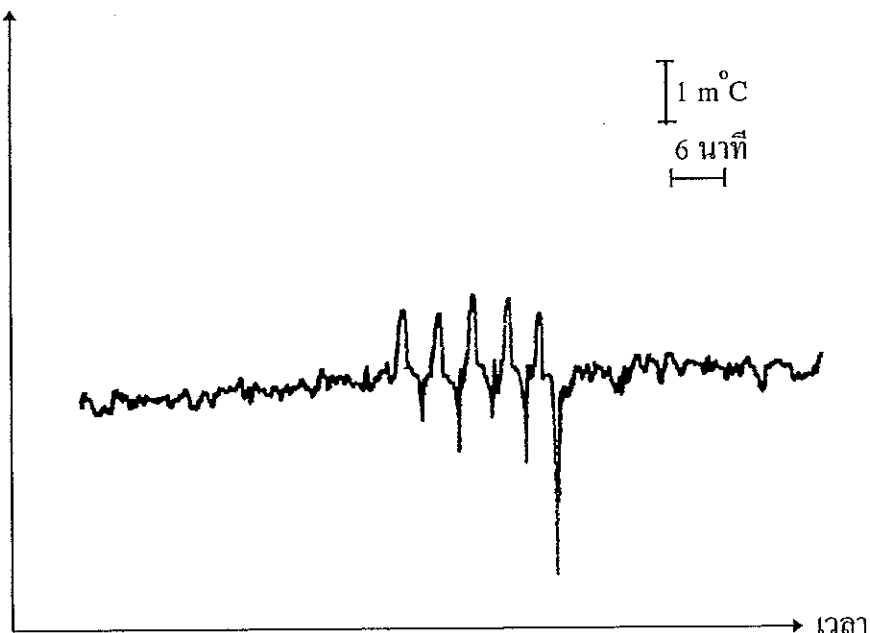
ก : ปั๊กิริยากรด-เบส โดยใช้กรดไนตริก 0.50 ไมลาร์กับสารละลายโซเดียมไฮดรอกไซด์ 1.00 ไมลาร์

ข : ปั๊กิริยาไฮโครไอลซิสของชูโกรสที่ความเข้มข้น 0.30 ไมลาร์

3.3.2 จีดจำกัดต่ำสุดในการตรวจวัด

การศึกษาจีดจำกัดต่ำสุดในการตรวจวัดเพื่อใช้ในการวิเคราะห์ชุดโครงสร้างด้วยเทคนิค BIA (2.5.2) พบว่า ความเข้มข้นของชุดโครงสร้างที่ให้สัดส่วนระหว่างสัญญาณการตอบสนองต่อสัญญาณรบกวนเท่ากับ 2 (Christian , 1980 ; Strobel , 1973) คือ ที่ความเข้มข้นของชุดโครงสร้าง 0.10 ไมลาร์ (ภาพประกอบ 21) นั่นคือจีดจำกัดต่ำสุดของระบบการทดลองคือที่ชุดโครงสร้าง 0.10 ไมลาร์

การเปลี่ยนแปลงของอุณหภูมิ ($m^{\circ}C$)



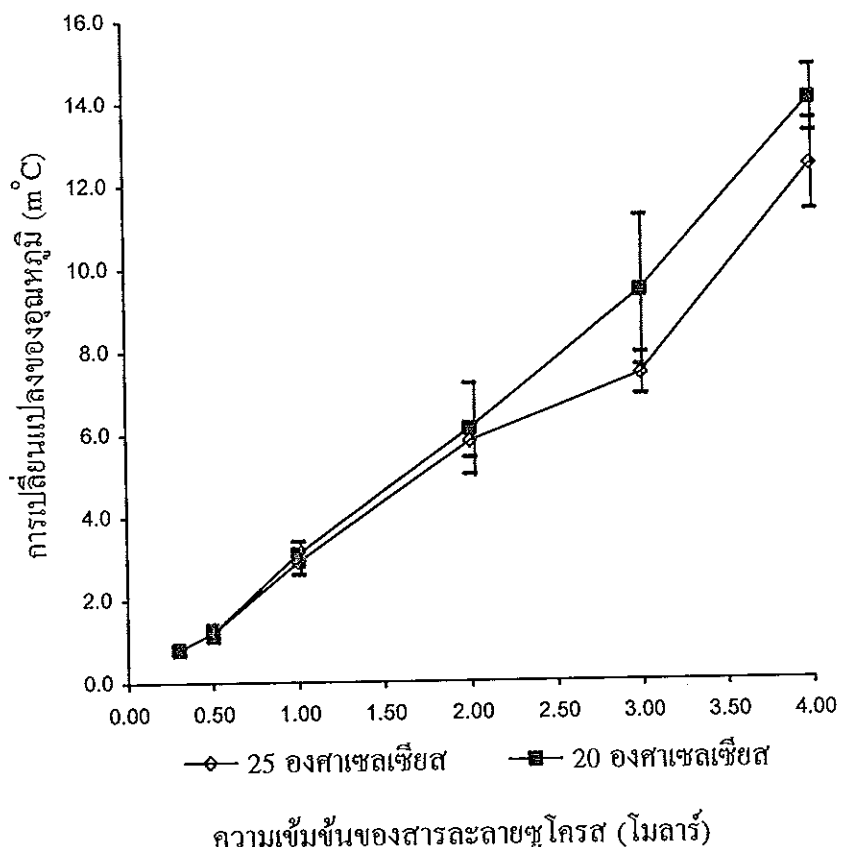
ภาพประกอบ 21 สัญญาณการตอบสนองที่ความเข้มข้นของชุดโครงสร้าง 0.10 ไมลาร์

3.3.3 ผลของอุณหภูมิ

จากการศึกษาผลของอุณหภูมิที่มีต่อการทำงานของอนไซน์ (2.5.3) โดยทำการทดลองทั้งหมด 2 ชุด พบว่า ถ้าทำการทดลองที่อุณหภูมิ 20°C จะให้การเปลี่ยนแปลงของอุณหภูมิที่สูงกว่าการทำการทดลองที่อุณหภูมิ 25°C (ตาราง 5 ภาพประกอบ 22) ทั้งนี้น่าจะเนื่องจากว่าใน การทดลองใช้เทอร์มิสเตอร์เป็นตัวตรวจน้ำความแตกต่างของความร้อน เมื่อทำการทดลองที่ อุณหภูมิ 20°C เมสไลันจะต่ำกว่าที่ 25°C ทำให้ที่ 20°C สามารถวัดความแตกต่างระหว่างความร้อนในสารละลายกับความร้อนที่เกิดขึ้นจากปฏิกิริยาได้ชัดเจนกว่าที่อุณหภูมิ 25°C ดังนั้นจึงใช้อุณหภูมิ 20°C ในการทดลองเมื่อมีการใช้เอนไซน์

ตาราง 5 การเปลี่ยนแปลงของอุณหภูมิที่อุณหภูมิต่างกันคือ อุณหภูมิ 20°C และอุณหภูมิ 25°C

ความเข้มข้นของสาร ละลายน้ำไฮโดรเจน (ไมลาร์)	การเปลี่ยนแปลงของอุณหภูมิ (m°C)			
	25°C		20°C	
	ชุดที่ 1	ชุดที่ 2	ชุดที่ 1	ชุดที่ 2
0.30	0.8 ± 0.1	0.5 ± 0.1	0.8 ± 0.1	0.7 ± 0.1
0.50	1.2 ± 0.1	1.0 ± 0.2	1.2 ± 0.2	1.1 ± 0.1
1.00	2.9 ± 0.3	2.9 ± 0.3	3.1 ± 0.3	3.8 ± 0.2
2.00	5.8 ± 0.4	5.8 ± 0.5	6.1 ± 1.1	7.2 ± 0.2
3.00	7.4 ± 0.5	7.6 ± 0.9	9.4 ± 1.8	8.4 ± 0.9
4.00	12.4 ± 1.1	10.7 ± 0.7	14.0 ± 0.8	14.3 ± 0.8



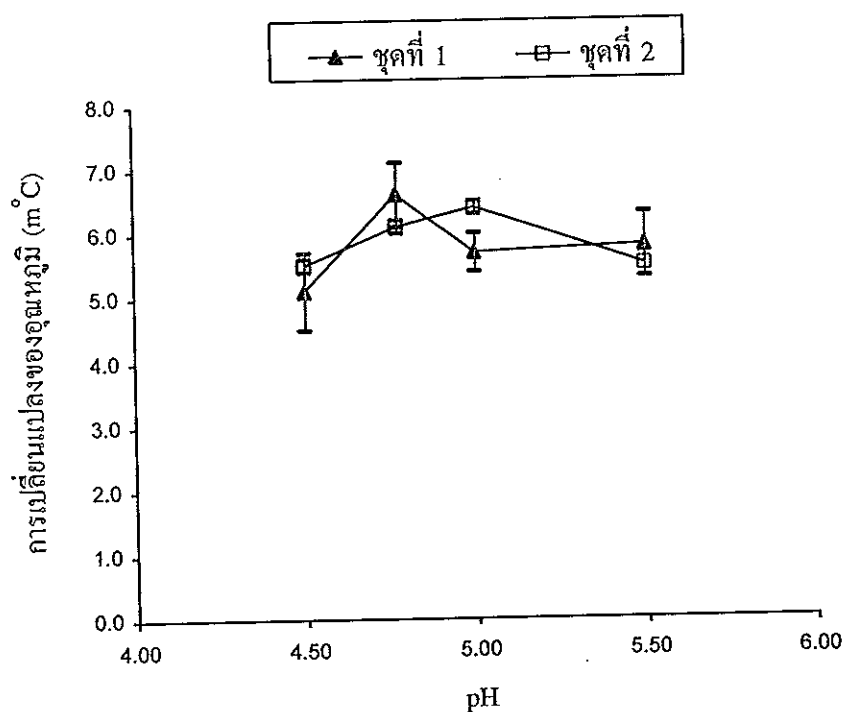
ภาพประกอบ 22 ความสัมพันธ์ระหว่างการเปลี่ยนแปลงของอุณหภูมิกับความเข้มข้นของสารละลายโซเดียมไฮดรอกไซด์ที่อุณหภูมิ 20 องศาเซลเซียสและ 25 องศาเซลเซียส
(แสดงผลลัพธ์ที่ 1 จากตาราง 5 ชุดอื่นให้ผลในลักษณะเดียวกัน)

3.3.4 ผลของ pH

ในทางทฤษฎีอัตราเร็วของปฏิกิริยาที่ถูกเร่งโดยเอนไซม์นักจากจะขึ้นอยู่กับอุณหภูมิแล้วยังขึ้นอยู่กับ pH ด้วย เมื่อมากจาก pH มีผลต่ออัตราเร็วในการเกิดปฏิกิริยาการสลายตัวของสารประกอบเชิงซ้อนระหว่างเอนไซม์กับสับสเตรท (enzyme-substrate complex (ES)) ไปเป็นผลิตภัณฑ์จากการศึกษาผลของ pH ที่มีต่อการทำงานของเอนไซม์ 2 ชุด (2.5.4) พบว่า pH ที่ให้การเปลี่ยนแปลงของอุณหภูมิสูงสุดของชุดที่ 1 คือ 4.77 และชุดที่ 2 คือ 5.00 (ตาราง 6 ภาพประกอบ 23) นั้นคือ pH ที่เหมาะสมในการทำงานของเอนไซม์น่าจะอยู่ในช่วง pH 4.77 - 5.00 ซึ่งตรงกับผลการศึกษาของ Ohlenbusch and Vogelee (1974) และ Bacon (1955) ซึ่งพบว่า pH ที่เหมาะสมของเอนไซม์อินเวร์เทสอยู่ในช่วง 4.7 - 4.9 และ 4.0 - 6.0 ตามลำดับ ดังนั้นจึงเลือกใช้ pH 4.80 ซึ่งอยู่ในช่วง pH ที่ให้ค่าการตอบสนองสูงสุดในการศึกษาลำดับต่อไป

ตาราง 6 การเปลี่ยนแปลงของอุณหภูมิที่สารละลายนี pH ต่างๆ กัน

pH	การเปลี่ยนแปลงของอุณหภูมิ ($^{\circ}\text{C}$)	
	ความเข้มข้นของสารละลายน้ำไฮโดรเจนไอโอดีน 0.50 มิลลิลิตร	
	ชุดที่ 1	ชุดที่ 2
4.50	5.1±0.6	5.5±0.1
4.77	6.6±0.5	6.1±0.1
5.00	5.7±0.3	6.4±0.1
5.50	5.8±0.5	5.5±0.2



ภาพประกอบ 23 ความสัมพันธ์ระหว่างการเปลี่ยนแปลงของอุณหภูมิกับ pH

3.3.5 ผลของกําลูโคสและฟรักรโถส

จากการศึกษาผลของกําลูโคสและฟรักรโถสที่มีต่อชูโครส (2.5.5) พอดูปฏิได้ดังนี้

- เมื่อชูโครสมีกําลูโคสหรือฟรักรโถสเป็นองค์ประกอบ ความเข้มข้นของกําลูโคสหรือฟรักรโถสที่ 1.00 ไมลาร์เท่านั้นที่จะให้ค่าการตอบสนองที่มีความแตกต่างอย่างเป็นนัยสำคัญ เปรียบเทียบกับเมื่อไม่มีกําลูโคสหรือฟรักรโถส (ตาราง 7 และ 8 ภาพประกอบ 24 และ 25) แสดงว่า สารละลายกําลูโคสหรือฟรักรโถสในช่วงความเข้มข้น 0.02 - 0.40 ไมลาร์ ไม่มีผลกระทบต่อการวิเคราะห์สารละลายชูโครส ยกเว้นที่ชูโครสความเข้มข้น 0.10 ไมลาร์ ความแตกต่างเริ่มน้อยสำคัญที่ฟรักรโถส 0.40 ไมลาร์

- ตัวอย่างที่ประกอบด้วยชูโครสกับกําลูโคสและฟรักรโถสให้ผลไกล์เดียงกับข้างต้น

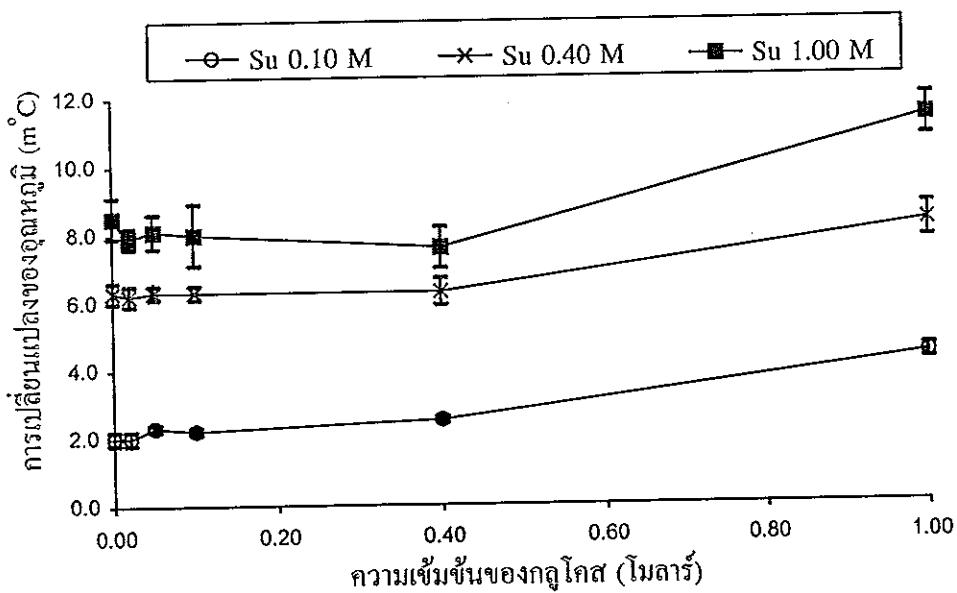
กล่าวคือที่ความเข้มข้นของกําลูโคสและฟรักรโถสที่ 1.00 ไมลาร์เท่านั้นที่จะให้ค่าการตอบสนองที่มีความแตกต่างอย่างเป็นนัยสำคัญ (ตาราง 9 ภาพประกอบ 26) ยกเว้นที่ความเข้มข้นของชูโครส 0.10 ไมลาร์ ความแตกต่างเริ่มน้อยสำคัญที่กําลูโคสและฟรักรโถส 0.40 ไมลาร์

ตามปกติเอนไซม์อินเวอร์เทสมีความจำเพาะเจาะจงกับชูโครส ดังนั้นสัญญาณการตอบสนองที่ได้น่าจะมาจากการร้อนที่เกิดขึ้นจากปฏิกิริยาไฮโดรไลซิสของชูโครสเพียงอย่างเดียว ถึงแม้ว่าสารละลายชูโครสจะมีกําลูโคสหรือฟรักรโถสอยู่ก็ไม่กรณีสัญญาณการตอบสนองเพิ่มขึ้นแต่ในการทดลองพบว่า เมื่อสารละลายนั้นมีชูโครสอยู่รวมกับของกําลูโคสหรือฟรักรโถสที่มีความเข้มข้นสูงกว่า 0.40 ไมลาร์ จะมีผลทำให้สัญญาณการตอบสนองมีขนาดสูงกว่าเมื่อสารละลายมีชูโครสเพียงอย่างเดียว ดังนั้นจึงได้ทำการทดลองเพื่อยืนยันผลดังกล่าวโดยนិดสารละลายกําลูโคส หรือฟรักรโถสในช่วงความเข้มข้น 0.02 - 0.50 ไมลาร์ไปบนเอนไซม์อินเวอร์เทสพบว่า กําลูโคส 0.50 ไมลาร์หรือฟรักรโถส ≥ 0.40 ไมลาร์จะให้สัญญาณการตอบสนองแสดงว่ากําลูโคสและฟรักรโถส ความเข้มข้นสูงนี้เมื่อผสมกับน้ำไฟฟ้าสามารถทำให้เกิดความร้อนได้ (mixing heat)

อย่างไรก็ตามวิธีนี้จะนำไปใช้ในการวิเคราะห์ชูโครสในตัวอย่างน้ำอ้ออยซึ่งจะมีกําลูโคสและฟรักรโถสอยู่เพียง 0.02 - 0.05 ไมลาร์ ซึ่งในช่วงความเข้มข้นดังกล่าวน้ำตาลทั้งสองนี้ไม่น่าจะมีผลกระทบต่อการวิเคราะห์

ตาราง 7 การเปลี่ยนแปลงของอุณหภูมิกับความเข้มข้นของสารละลายน้ำซึ่ครสที่มีปริมาณกําลูโคลสต่างๆ กัน

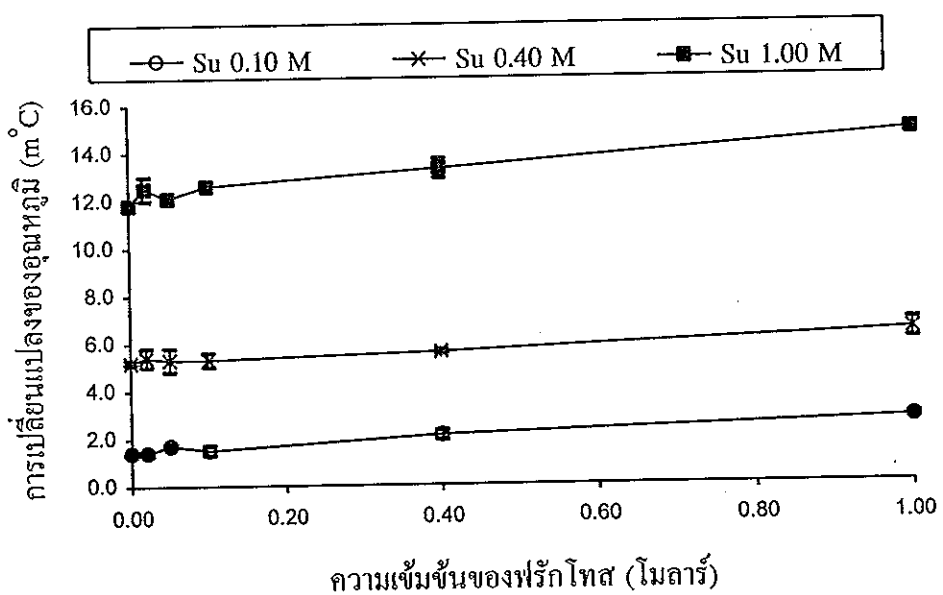
ความเข้มข้นของสาร ละลายน้ำซึ่ครสที่มี ปริมาณกําลูโคลสต่างๆ กัน (ไมลาร์)	การเปลี่ยนแปลงของอุณหภูมิ ($m^{\circ}C$)		
	ความเข้มข้นของสารละลายน้ำซึ่ครส (ไมลาร์)		
	0.10	0.40	1.00
น้ำซึ่ครส	2.0±0.2	6.3±0.3	8.5±0.6
น้ำซึ่ครส+กําลูโคลส 0.02 M	2.0±0.2	6.2±0.3	7.9±0.3
น้ำซึ่ครส+กําลูโคลส 0.05 M	2.3±0.1	6.3±0.2	8.1±0.5
น้ำซึ่ครส+กําลูโคลส 0.10 M	2.2±0.1	6.3±0.2	8.0±0.9
น้ำซึ่ครส+กําลูโคลส 0.40 M	2.5±0.1	6.3±0.4	7.6±0.6
น้ำซึ่ครส+กําลูโคลส 1.00 M	4.4±0.2	8.3±0.5	11.4±0.6



ภาพประกอบ 24 ความสัมพันธ์ระหว่างการเปลี่ยนแปลงของอุณหภูมิกับความเข้มข้นของน้ำซึ่ครสที่มีปริมาณกําลูโคลสต่างๆ กัน

ตาราง 8 การเปลี่ยนแปลงของอุณหภูมิกับความเข้มข้นของสารละลายซูโครสที่มีปริมาณฟรักโไทสต่างๆ กัน

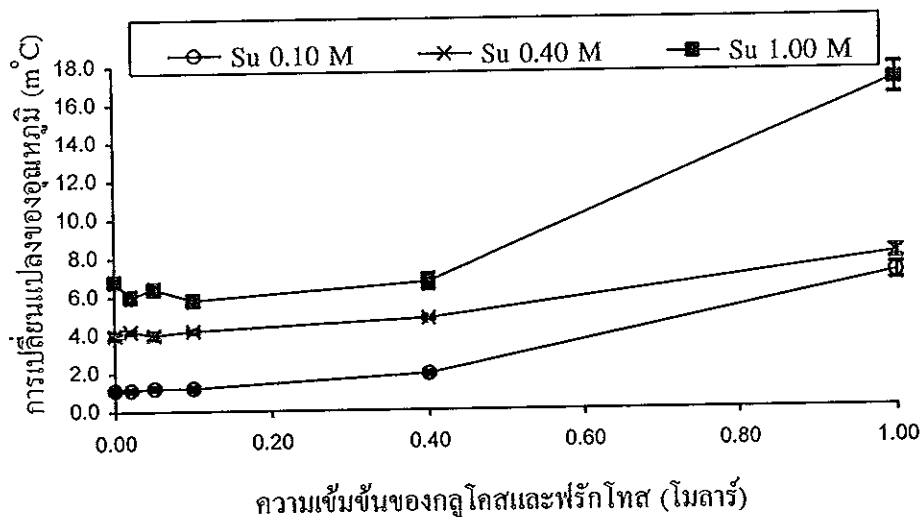
ความเข้มข้นของสารละลาย ซูโครสที่มี ปริมาณฟรักโไทส ต่างๆ กัน (โนลาร์)	การเปลี่ยนแปลงของอุณหภูมิ ($m^{\circ}\text{C}$)		
	ความเข้มข้นของสารละลายซูโครส (โนลาร์)		
	0.10	0.40	1.00
ซูโครส	1.4±0.1	5.2±0.1	11.8±0.2
ซูโครส+ฟรักโไทส 0.02 M	1.4±0.1	5.4±0.4	12.5±0.5
ซูโครส+ฟรักโไทส 0.05 M	1.7±0.1	5.3±0.5	12.1±0.2
ซูโครส+ฟรักโไทส 0.10 M	1.5±0.2	5.3±0.3	12.6±0.2
ซูโครส+ฟรักโไทส 0.40 M	2.1±0.2	5.6±0.1	13.3±0.4
ซูโครส+ฟรักโไทส 1.00 M	2.7±0.1	6.4±0.4	14.8±0.2



ภาพประกอบ 25 ความสัมพันธ์ระหว่างการเปลี่ยนแปลงของอุณหภูมิกับความเข้มข้นของซูโครสที่มีปริมาณฟรักโไทสต่างๆ กัน

ตาราง 9 การเปลี่ยนแปลงของอุณหภูมิกับความเข้มข้นของสารละลายน้ำมันที่มีปริมาณกลูโคสและฟรักโทสต่างๆ กัน

ความเข้มข้นของสารละลายน้ำมันที่มีปริมาณกลูโคสและฟรักโทสต่างๆ กัน (ไมลาร์)	การเปลี่ยนแปลงของอุณหภูมิ ($m^{\circ}C$)		
	ความเข้มข้นของสารละลายน้ำมันที่มีปริมาณกลูโคสและฟรักโทสต่างๆ กัน (ไมลาร์)		
	0.10 M	0.40 M	1.00 M
น้ำมัน	1.1±0.1	4.0±0.2	6.8±0.2
น้ำมัน+กลูโคสและฟรักโทสอย่างละ 0.02 M	1.1±0.1	4.2±0.1	6.0±0.3
น้ำมัน+กลูโคสและฟรักโทสอย่างละ 0.05 M	1.2±0.1	4.0±0.2	6.4±0.3
น้ำมัน+กลูโคสและฟรักโทสอย่างละ 0.10 M	1.2±0.1	4.2±0.1	5.8±0.3
น้ำมัน+กลูโคสและฟรักโทสอย่างละ 0.40 M	1.9±0.1	4.8±0.1	6.7±0.4
น้ำมัน+กลูโคสและฟรักโทสอย่างละ 1.00 M	7.0±0.4	8.0±0.3	17.1±0.8



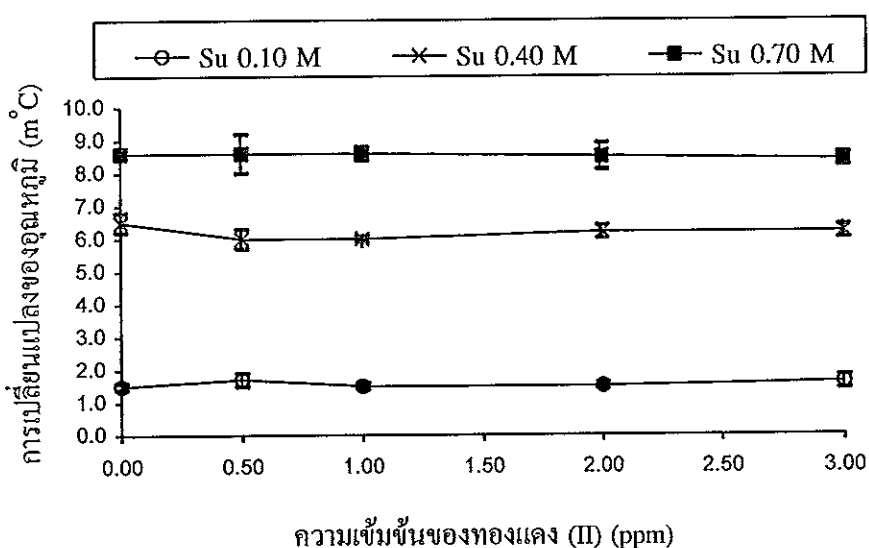
ภาพประกอบ 26 ความสัมพันธ์ระหว่างการเปลี่ยนแปลงของอุณหภูมิกับความเข้มข้นของสารละลายน้ำมันที่มีปริมาณกลูโคสและฟรักโทสต่างๆ กัน

3.3.6 ผลของโลหะหนักที่มีต่อสารละลายน้ำไฮโดรเจน

จากการศึกษาผลของ ไฮอนทองแคง (II) และเงิน (I) ที่มีต่อการทำงานของเอนไซม์ อินเวอร์เทสในการวิเคราะห์ไฮโดรเจนที่ความเข้มข้นต่างๆ (2.5.6) พบว่า สัญญาณการเปลี่ยนแปลงของอุณหภูมิในการวิเคราะห์ไฮโดรเจนที่มีสารละลายน้ำไฮโดรเจน (II) ในช่วง 0.5 - 3.0 ppm (ตาราง 10 ภาพประกอบ 27) หรือมีสารละลายน้ำเงิน (I) ในช่วง 5.0 - 20.0 ppm (ตาราง 11 ภาพประกอบ 28) เมื่อเทียบกับขณะที่ไม่มีโลหะหนักผสมอยู่พบว่าความแตกต่างของสัญญาณการตอบสนองนั้นไม่นิยมสำคัญ แสดงว่าในระบบมีสารละลายน้ำไฮโดรเจน (II) หรือเงิน (I) ความเข้มข้นดังข้างต้นจะไม่มีผลในการขับยั่งการทำงานของเอนไซม์

ตาราง 10 การเปลี่ยนแปลงของอุณหภูมิกับความเข้มข้นของสารละลายน้ำโซเดียมที่มีปริมาณทองแดง (II) ต่างๆ กัน

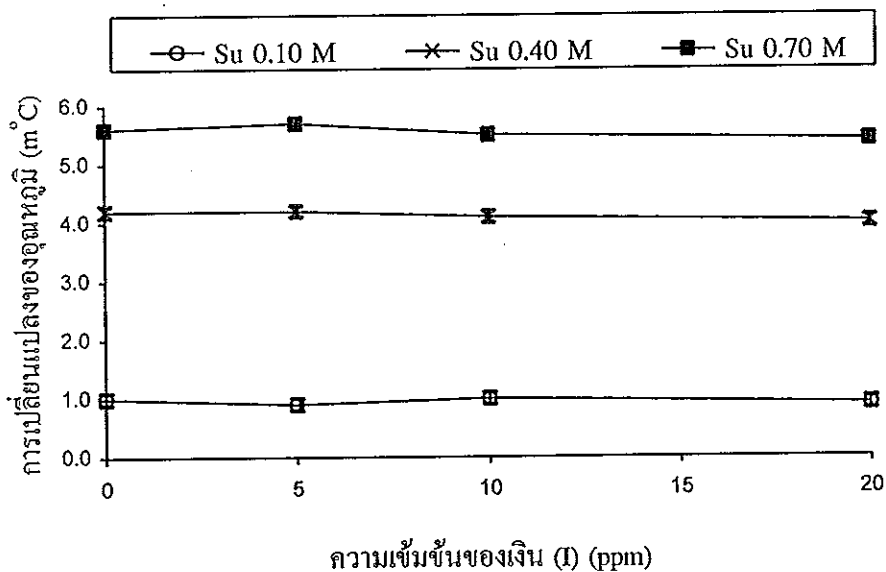
ความเข้มข้นของสารละลายน้ำโซเดียมที่มีปริมาณทองแดง (II) ต่างๆ กัน (ppm)	การเปลี่ยนแปลงของอุณหภูมิ ($m^{\circ}C$)		
	ความเข้มข้นของสารละลายน้ำโซเดียม ($molar$)		
	0.10 M	0.40 M	0.70 M
น้ำโซเดียม	1.5±0.1	6.5±0.3	8.6±0.1
น้ำโซเดียม+ทองแดง (II) 0.5 ppm	1.7±0.2	6.0±0.3	8.6±0.6
น้ำโซเดียม+ทองแดง (II) 1.0 ppm	1.5±0.1	6.0±0.1	9.6±0.2
น้ำโซเดียม+ทองแดง (II) 2.0 ppm	1.5±0.1	6.2±0.2	8.5±0.4
น้ำโซเดียม+ทองแดง (II) 3.0 ppm	1.6±0.2	6.2±0.2	8.4±0.2



ภาพประกอบ 27 ความสัมพันธ์ระหว่างการเปลี่ยนแปลงของอุณหภูมิกับความเข้มข้นของสารละลายน้ำโซเดียมที่มีปริมาณทองแดง (II) ต่างๆ กัน

ตาราง 11 การเปลี่ยนแปลงของอุณหภูมิกับความเข้มข้นของสารละลายน้ำโซเดียมเจน (I) ต่างๆ กัน

ความเข้มข้นของสารละลายน้ำโซเดียมเจน (I) ต่างๆ กัน (ppm)	การเปลี่ยนแปลงของอุณหภูมิ ($^{\circ}\text{C}$)		
	ความเข้มข้นของสารละลายน้ำโซเดียมเจน (ไมลาร์)		
	0.10 M	0.40 M	0.70 M
น้ำโซเดียมเจน	1.0 \pm 0.1	4.2 \pm 0.1	5.6 \pm 0.1
น้ำโซเดียมเจน + เจน (I) 5.0 ppm	0.9 \pm 0.1	4.2 \pm 0.1	5.7 \pm 0.1
น้ำโซเดียมเจน + เจน (I) 10.0 ppm	1.0 \pm 0.1	4.1 \pm 0.1	5.5 \pm 0.1
น้ำโซเดียมเจน + เจน (I) 20.0 ppm	0.9 \pm 0.1	4.0 \pm 0.1	5.4 \pm 0.1



ภาพประกอบ 28 ความสัมพันธ์ระหว่างการเปลี่ยนแปลงของอุณหภูมิกับความเข้มข้นของสารละลายน้ำโซเดียมเจน (I) ต่างๆ กัน

3.3.7 ช่วงความเข้มข้นที่ให้การตอบสนองเชิงเส้น

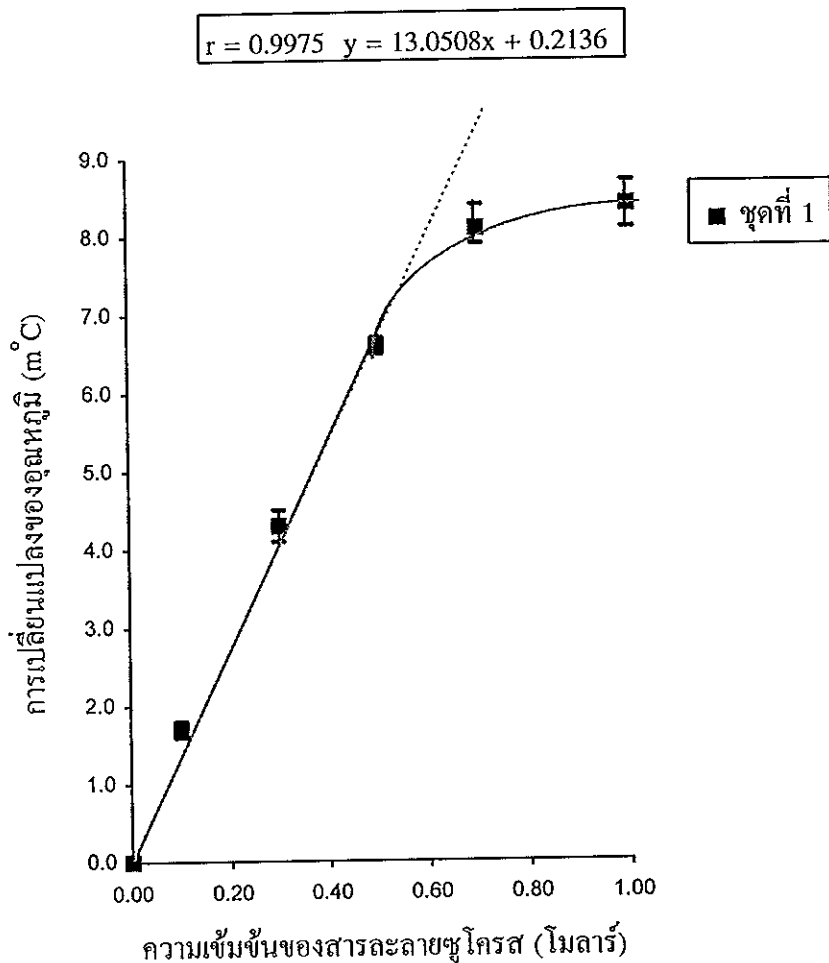
ในการศึกษาหาช่วงความเข้มข้นที่ให้การตอบสนองเชิงเส้น (2.5.7) ทำการทดลองทั้งหมด 3 ชุด พนบว่า เมื่อความเข้มข้นของสารละลายน้ำมุกไดร์สเกินกว่า 0.50 ไมลาร์ การเปลี่ยนแปลงของอุณหภูมิจะเพิ่มขึ้นเป็นเชิงเส้น (ตาราง 12 ภาพประกอบ 29) และการเปลี่ยนแปลงของอุณหภูมิจะเริ่มคงที่นั่นคือไม่เปลี่ยนแปลงตามความเข้มข้นที่ 0.70 ไมลาร์ ทั้งนี้น่าจะเนื่องจากอัตราเร็วของปฏิกิริยาที่ถูกเร่งโดยเย็นใช้มีข้อจำกัดความเข้มข้นของสับสเตรท ในช่วงที่ความเข้มข้นของสับสเตรทยังน้อยอยู่ การเพิ่มความเข้มข้นของสับสเตรทจะทำให้อัตราเร็วในการเกิดปฏิกิริยาเพิ่มขึ้นอย่างรวดเร็ว เนื่องจากบริเวณร่องของโนเลกุลเย็นใช้มีซึ่งไม่อิ่มตัวด้วยสับสเตรท และจะเพิ่มขึ้นในอัตราที่ช้าลงในช่วงที่ความเข้มข้นของสับสเตรทสูงขึ้น และในที่สุดอัตราเร็วในการเกิดปฏิกิริยาจะไม่สามารถเพิ่มขึ้นอีกถึงแม้จะเพิ่มความเข้มข้นของสับสเตรทมากขึ้นเพียงใดก็ตาม เพราะบริเวณร่องของโนเลกุลเย็นใช้มีทุกโนเลกุลอิ่มตัวไปด้วยสับสเตรท จึงไม่มีบริเวณร่องที่ว่างที่จะให้สับสเตรทเข้าไปจับ (สุนันทา กัญญาวัชน์, 2532)

ในการศึกษาสภาพะที่เหมาะสมในการวิเคราะห์น้ำมุกไดร์ส สรุปได้ดังนี้

- อุณหภูมิที่ใช้ทำการทดลอง	20 องศาเซลเซียส
- pH ที่เหมาะสม	4.80
- ช่วงความเข้มข้นของสารละลายน้ำมุกไดร์สที่ให้การตอบสนองเชิงเส้น	0.00 - 0.50 ไมลาร์
- กลูโคสและฟรักโทสที่มีอยู่ในสารละลายน้ำมุกไดร์สจะไม่มีผลกระทบต่อการวิเคราะห์น้ำมุกไดร์ส ในช่วงความเข้มข้น	0.02 - 0.10 ไมลาร์
- ทองแดง (II) หรือเงิน (I) ไม่มีผลยับยั้งการทำงานของเยอนไซม์อินเวยอร์เทส ในช่วงความเข้มข้นของทองแดง (II) หรือความเข้มข้นของเงิน (I)	0.5 - 3.0 ppm 5.0 - 20.0 ppm

ตาราง 12 การเปลี่ยนแปลงของอุณหภูมิที่ความเข้มข้นของสารละลายน้ำมันต่างๆ กัน

ความเข้มข้นของสารละลายน้ำมัน (ไมลาร์)	การเปลี่ยนแปลงของอุณหภูมิ ($m^{\circ}C$)		
	ชุดที่		
	1	2	3
0.00	0.0±0.4	0.0±0.3	0.0±0.3
0.10	1.7±0.1	1.3±0.1	1.1±0.1
0.30	4.3±0.2	3.7±0.1	4.1±0.2
0.50	6.6±0.1	6.2±0.2	6.4±0.3
0.70	8.1±0.3	7.9±0.2	8.3±0.2
1.00	8.4±0.3	7.7±0.3	8.5±0.4

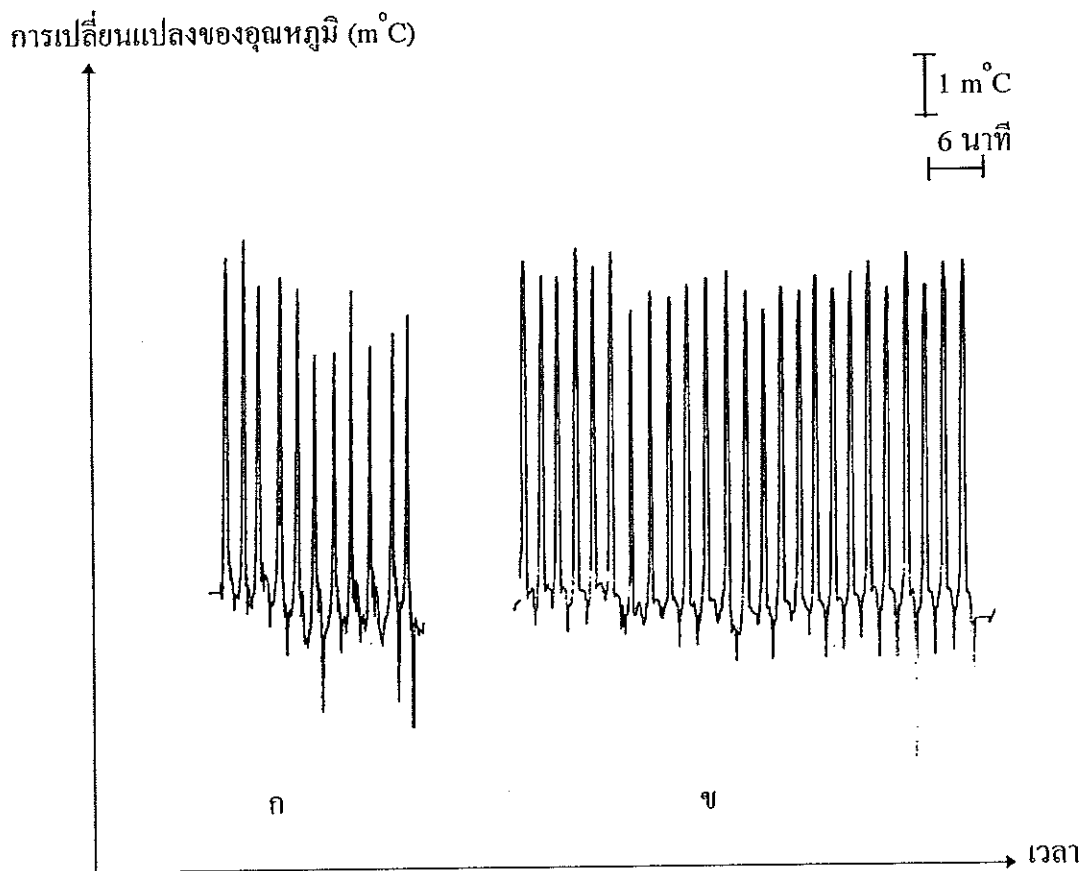


ภาพประกอบ 29 ความสัมพันธ์ระหว่างการเปลี่ยนแปลงของอุณหภูมิกับความเพิ่มขึ้นของสารละลายน้ำไฮโดรเจนที่ความเพิ่มขึ้นต่าง ๆ กัน (ชุดที่ 1 จากตาราง 12 ชุด อื่นให้ผลลัพธ์จะเดียวกัน)

3.4 การใช้ปีเปตที่ควบคุมการพัฒนาระลายตัวอย่างด้วยเครื่อง EDOS 5221

3.4.1 การตอบสนองเมื่อใช้ EDOS 5221 เปรียบเทียบกับการใช้ในโครปีเปตแบบดิจิตอล

ในการใช้ปีเปตที่ควบคุมการพัฒนาระลายโดยใช้มือเป็นการยกเท้าควบคุมน้ำหนัก มือที่กคลงบนปีเปตให้คงที่ตลอดเวลาทำให้อัตราเร็วของการพัฒนาระลายแต่ละครั้งแตกต่างกัน เป็นผลให้สัญญาณการตอบสนองที่ได้ไม่เท่ากัน ทำให้ค่าเบี่ยงเบนมาตรฐานสัมพัทธ์ค่อนข้างสูง ประมาณ 13% ($n = 11$) (ภาพประกอบ 30 ก) แต่มีอน้ำชุดอุปกรณ์ปีเปตที่มีระบบควบคุมอัตราการ พัฒนาระลายตัวอย่างมาใช้ในการวิเคราะห์พบว่า สัญญาณการตอบสนองที่ได้มีค่าเบี่ยงเบนมาตรฐานสัมพัทธ์ ที่ได้จากการใช้ในโครปีเปตแบบดิจิตอลที่ควบคุมการพัฒนาระลายตัวอย่างด้วยมือประมาณ 3 เท่า ดังนั้นจึงเลือกใช้ชุดอุปกรณ์ปีเปตที่มีระบบควบคุมอัตราการพัฒนาระลายตัวอย่างมาใช้ในการ พัฒนาภาษาอื่นต่อไป



ภาพประกอบ 30 เปรียบเทียบสัญญาณการตอบสนองที่ได้จากการใช้ในโครปีเปตแบบดิจิตอลที่ควบคุมการฉีดสารละลายด้วยนีโอกับการใช้ในโครปีเปต EDOS 5221 ที่อัตราเร็ว 4 โดยใช้สารละลายโซกรส 0.30 มิลลิกรัม

ก : ในโครปีเปตแบบดิจิตอล r.s.d. 13%

ข : ในโครปีเปต EDOS 5221 r.s.d. 4%

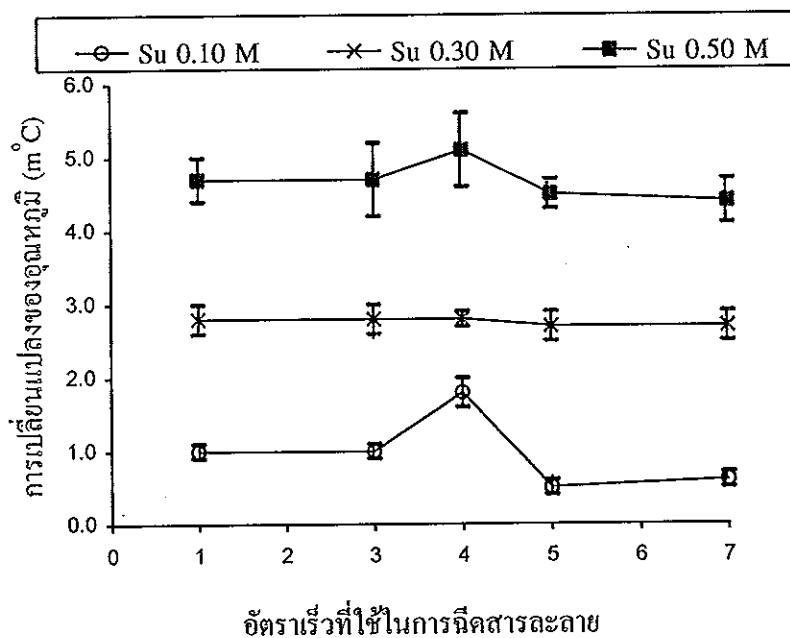
3.4.2 ผลของอัตราเร็วที่ใช้ในการนឹកสารละลาย

จากการศึกษาผลของอัตราเร็วที่ใช้ในการนឹកสารละลายตัวอย่างโดยเครื่อง EDOS 5221 (2.6.1) พบว่า สัญญาณการเปลี่ยนแปลงของอุณหภูมิจะสูงที่สุดที่อัตราเร็ว 4 (ตาราง 13 ภาพประกอบ 31) อัตราเร็วในการนឹកสารละลายตัวอย่างที่มากกว่าคือ 1 และ 3 จะให้การเปลี่ยนแปลงของอุณหภูมิต่ำ อาจเกิดเนื่องจากอัตราเร็วของการเดินทางของสารละลายตัวอย่างทำให้สารตัวอย่างที่ใช้ซึ่งมีปริมาณน้อยถูกเจือจางด้วยสารละลายในบีกเกอร์ก่อนที่จะไปถึงบริเวณที่เกิดปฏิกิริยา และถ้าใช้อัตราเร็วในการนឹកสารละลายตัวอย่างเร็วเกินไป คือ อัตราเร็ว 5 และ 7 ก็จะให้การเปลี่ยนแปลงของอุณหภูมิต่ำ เช่นเดียวกัน ทั้งนี้น่าจะเป็นเพราะว่าเมื่อนឹកสารละลายตัวอย่างเร็วเกินไปจะทำให้สารละลายตัวอย่างถูกดันให้แพร่กระจายออกไปจากบริเวณหัววัดได้รวดเร็วก่อนที่จะเกิดปฏิกิริยา และเมื่อคุณค่าเบี่ยงเบนมาตรฐานสัมพัทธ์เฉลี่ยระหว่างความเห็นขั้นของชูโกรส 0.10 , 0.30 และ 0.50 ไมลาร์ ของอัตราเร็ว 1 , 3 , 4 , 5 และ 7 จะมีค่าใกล้เคียงกันคือ 8% , 9% , 8% , 10% และ 9% ตามลำดับ

ในการวิเคราะห์ซึ่งเลือกใช้อัตราเร็วในการนឹកสารละลายชูโกรสที่อัตราเร็ว (speed) 4 เนื่องจากให้การเปลี่ยนแปลงของอุณหภูมิสูงสุด

ตาราง 13 การเปลี่ยนแปลงของอุณหภูมิเมื่อใช้อัตราเร็วในการนีดสารละลายต่างๆ กัน

อัตราเร็วในการนีดสารละลาย	การเปลี่ยนแปลงของอุณหภูมิ ($m^{\circ}C$)		
	ความเข้มข้นของสารละลายซึ่งโกรส (ไมลาร์)		
	0.10 M	0.30 M	0.50 M
1	1.0±0.1	2.8±0.2	4.7±0.3
3	1.0±0.1	2.8±0.2	4.7±0.5
4	1.8±0.2	2.8±0.1	5.1±0.5
5	0.5±0.1	2.7±0.2	4.5±0.2
7	0.6±0.1	2.7±0.2	4.4±0.3



ภาพประกอบ 31 ความสัมพันธ์ระหว่างการเปลี่ยนแปลงของอุณหภูมิกับอัตราเร็วที่ใช้ในการนีดสารละลาย

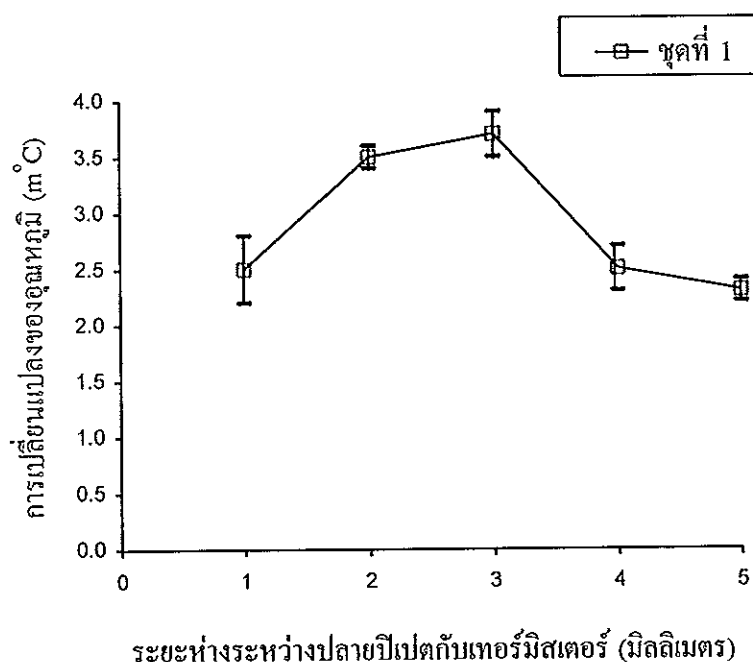
3.4.3 ผลของระยะห่างระหว่างปลายปีเปตกันเทอร์มิสเตอร์

ขณะที่ทำการทดลองเพื่อศึกษาหาสภาวะที่เหมาะสมต่างๆ ดังกล่าวข้างต้นจะใช้ระยะห่างระหว่างปลายปีเปตกันเทอร์มิสเตอร์ 2.0 มิลลิเมตร เนื่องจากเป็นระยะที่เหมาะสมที่สุดจากการศึกษาของ Wang and Taha (1991c) และเมื่อได้ศึกษาผลของระยะห่างระหว่างปลายปีเปตกันเทอร์มิสเตอร์ในระบบ BIA นี้ (2.62) พบว่า ที่ระยะห่างระหว่างปลายปีเปตกันเทอร์มิสเตอร์เป็น 2.0 และ 3.0 มิลลิเมตร จะให้การเปลี่ยนแปลงของอุณหภูมิสูงกว่าที่ระยะอื่นๆ (ตาราง 14 ภาพประกอบ 32) ทั้งนี้เนื่องจากเมื่อระยะห่างระหว่างปลายปีเปตกันเทอร์มิสเตอร์มากเกินไป (4.0 และ 5.0 มิลลิเมตร) โอกาสที่สารตัวอย่างจะเหรอไปยังสารละลายท่ออยู่ในบิกเกอร์เกิดได้มากขึ้น สารละลายตัวอย่างที่จะไปทำปฏิกิริยาที่คิวเทอร์มิสเตอร์จึงลดน้อยลง จึงทำให้สัญญาณที่วัดได้มีขนาดลดลง ส่วนที่ระยะห่างระหว่างปลายปีเปตกันเทอร์มิสเตอร์น้อยเกินไป (1.0 มิลลิเมตร) สัญญาณที่ได้ก็จะต่ำ เช่นกัน ทั้งนี้น่าจะเป็นเพราะเมื่อพิเศษสารละลายตัวอย่างลงบนเทอร์มิสเตอร์ สารตัวอย่างนี้จะถูกดันให้ออกไปจากผิวน้ำของเทอร์มิสเตอร์ (ฤก盼ประกอบ 2) เร็วกว่าเมื่อมีปีเปตออยู่ห่างออกไปทำให้สารตัวอย่างมีเวลาสัมผัสกับผิวน้ำเทอร์มิสเตอร์น้อย และเมื่อถูกค่าเบี่ยงเบนมาตรฐานสัมพัทธ์เคลื่อน 3 ชุดที่ระยะห่างระหว่างปลายปีเปตกันเทอร์มิสเตอร์ 1.0 , 2.0 , 3.0 , 4.0 และ 5.0 มิลลิเมตร จะมีค่าเท่ากับ 8% , 3% , 4% , 11% และ 7% ตามลำดับ

ระยะที่เหมาะสมควรจะเป็นระยะที่ให้ค่าการตอบสนองสูงประกอบกับค่าเบี่ยงเบนมาตรฐานสัมพัทธ์ที่ต่ำ ดังนั้นระยะห่างระหว่างระยะ 2.0 มิลลิเมตร และ 3.0 มิลลิเมตร จึงเลือกที่จะใช้ระยะห่างระหว่างปลายปีเปตจากเทอร์มิสเตอร์ 2.0 มิลลิเมตร เนื่องจากให้ค่าการตอบสนองเคลื่ย 3 ชุด ใกล้เคียงกับที่ระยะ 3.0 มิลลิเมตร นั้นคือต่ำกว่าเพียง 10% แต่จะให้ค่าเบี่ยงเบนมาตรฐานสัมพัทธ์น้อยกว่า

ตาราง 14 การเปลี่ยนแปลงของอุณหภูมิกับระยะห่างระหว่างปลายปีเป็ตกับเทอร์มิสเตอร์

ระยะห่างระหว่าง ปลายปีเป็ตกับ เทอร์มิสเตอร์ (มิลลิเมตร)	การเปลี่ยนแปลงของอุณหภูมิ ($m^{\circ}C$)		
	ชุดที่		
	1	2	3
1	2.5±0.3	3.5±0.2	2.8±0.2
2	3.5±0.1	3.9±0.1	3.3±0.1
3	3.7±0.2	5.0±0.2	3.4±0.1
4	2.5±0.2	2.7±0.4	2.0±0.2
5	2.3±0.1	2.6±0.2	2.2±0.2



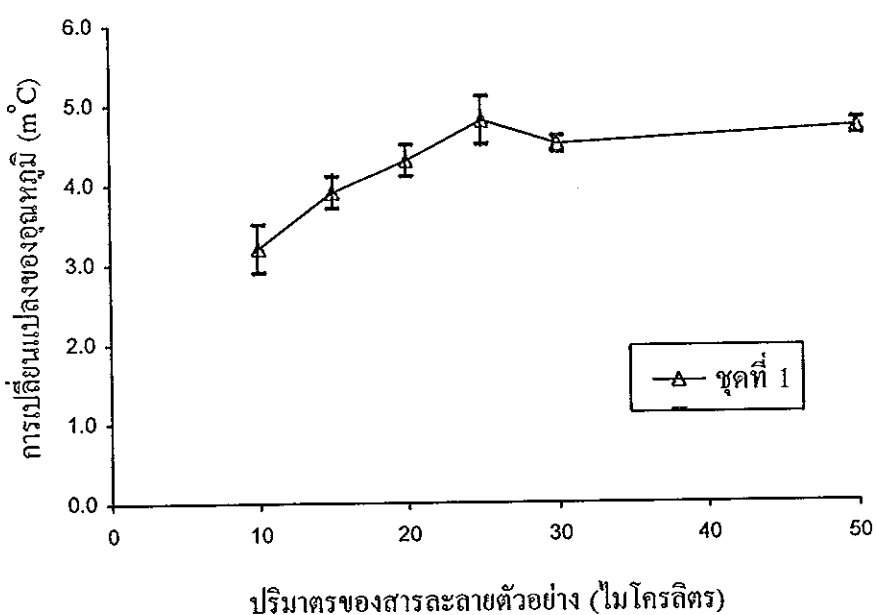
ภาพประกอบ 32 ความสัมพันธ์ระหว่างการเปลี่ยนแปลงของอุณหภูมิกับระยะห่างระหว่าง
ปลายปีเป็ตกับเทอร์มิสเตอร์ (ชุดที่ 1 จากตาราง 14 ชุดอื่นๆ ให้ผลใน
ลักษณะเดียวกัน)

3.4.4 ผลของปริมาตรของสารละลายตัวอย่าง

จากการศึกษาผลของปริมาตรที่ใช้ในการนิดสารละลายตัวอย่าง (2.6.3) พบว่า ที่ปริมาตรสารละลายตัวอย่างน้อย การเปลี่ยนแปลงของอุณหภูมิก็จะน้อย ซึ่งน่าจะเนื่องจากเมื่อสับสเตรทมีปริมาณน้อยของการเกิดปฏิกิริยาที่จะน้อยตามไปด้วย ทำให้ค่าการเปลี่ยนแปลงของอุณหภูมิที่ได้ต่ำ เมื่อเพิ่มปริมาตรของสารละลายตัวอย่าง การเปลี่ยนแปลงของอุณหภูมิจะเพิ่มสูงขึ้น จนกระทั่งถึงที่ปริมาตร 25 ไมโครลิตร (ตาราง 15 ภาพประกอบ 33) หลังจากนั้นแม้ว่าจะเพิ่มปริมาตรของสารละลายตัวอย่างมากขึ้นเพียงใดก็ตาม การเปลี่ยนแปลงของอุณหภูมิที่ได้จะเพิ่มขึ้นเล็กน้อย หรือมีค่าเกือบคงที่ ทั้งนี้น่าจะเป็นเพราะพื้นที่ผิวน้ำของเทอร์มสเตรทที่มีอนไซน์ทริปอยู่ในบริเวณจำกัดถึงแม่ปริมาตรสารละลายตัวอย่างจะมากแต่ส่วนที่จะสัมผัสน้ำเย็นไซน์มีได้มากที่สุดเท่ากับพื้นที่ผิวน้ำของอนไซน์ทริปไว้เท่านั้น จากผลการทดลองนี้จึงสามารถสรุปได้ว่าปริมาตรที่เหมาะสมที่สุดคือที่ 25 ไมโครลิตร

ตาราง 15 การเปลี่ยนแปลงของอุณหภูมิกับปริมาตรของสารละลายน้ำยาตัวอย่าง

ปริมาตรของ สารละลายน้ำยา ตัวอย่าง (ไมโครลิตร)	การเปลี่ยนแปลงของอุณหภูมิ ($m^{\circ}C$)		
	ชุดที่		
	1	2	3
10	3.2±0.3	3.4±0.3	3.3±0.1
15	3.9±0.2	3.9±0.4	3.8±0.2
20	4.3±0.2	4.1±0.3	4.0±0.1
25	4.8±0.3	4.5±0.2	4.4±0.2
30	4.5±0.1	4.6±0.2	4.5±0.2
50	4.7±0.1	5.1±0.1	4.7±0.2



ภาพประกอบ 33 ความสัมพันธ์ระหว่างการเปลี่ยนแปลงของอุณหภูมิกับปริมาตรของสารละลายน้ำยาตัวอย่าง (ชุดที่ 1 ตาราง 15 ชุดอื่นให้ผลในลักษณะเดียวกัน)

3.4.5 ความแตกต่างของน้ำอ้อยที่มีการตกตะกอนและไม่มีการตกตะกอนสารแ徊นโลย

เมื่อเปรียบเทียบสัญญาณการตอบสนองต่อน้ำอ้อยที่ได้จากการผ่านขั้นตอนการตกตะกอนกับน้ำอ้อยที่ไม่ผ่านขั้นตอนการตกตะกอนสารแ徊นโลยพบว่า ความแตกต่างนี้ไม่มีนัยสำคัญ (ตาราง 16 และภาพประกอบ 34)

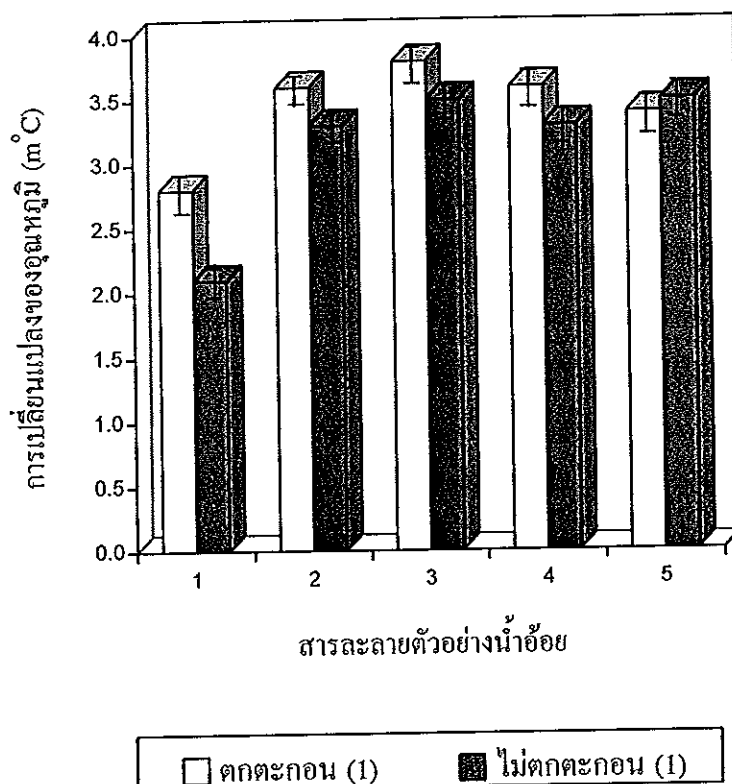
ดังนั้นในการศึกษาหาปริมาณชูโกรสในน้ำอ้อยต่อไปจะทำการศึกษาในน้ำอ้อยที่ไม่ผ่านขั้นตอนการตกตะกอนสารแ徊นโลย

ปัจจัยที่เหมาะสมในการวิเคราะห์ชูโกรสเมื่อใช้ปีเป็ตที่ควบคุมการนិត្តสารละลายตัวอย่างด้วยเครื่อง EDOS 5221 สรุปดังนี้

- อัตราเร็วในการนិត្តสารละลายชูโกรส	4
- ระยะห่างของปลายปีเป็ตจากเทอร์มิสเตอร์	2.0 มิลลิเมตร
- ปริมาตรที่เหมาะสมในการนិត្តสารละลายตัวอย่าง	25 ไมโครลิตร
- สารแ徊นโลยต่างๆ ที่มีในน้ำอ้อย ไม่มีผลกระทบ	
อย่างเป็นนัยสำคัญต่อการวิเคราะห์ชูโกรส ดังนั้น	
สามารถใช้น้ำอ้อยสดในการวิเคราะห์หาปริมาณชูโกรส	

ตาราง 16 การเปลี่ยนแปลงของอุณหภูมิของน้ำอ้อยที่มีการตอกตะกอนและไม่มีการตอก
ตะกอนสารแ徊นลอย

น้ำอ้อย ท่อนที่	การเปลี่ยนแปลงของอุณหภูมิ ($m^{\circ}C$)					
	ตอกตะกอน			ไม่ตอกตะกอน		
	ชุดที่			ชุดที่		
	1	2	3	1	2	3
1	2.8±0.1	2.7±0.1	2.4±0.1	2.1±0.1	2.6±0.1	2.5±0.1
2	3.6±0.1	3.3±0.1	3.4±0.1	3.3±0.1	3.3±0.1	2.8±0.1
3	3.8±0.1	3.4±0.1	4.1±0.1	3.5±0.1	3.6±0.1	3.5±0.1
4	3.6±0.1	3.6±0.1	3.7±0.1	3.3±0.1	3.5±0.1	3.4±0.1
5	3.4±0.1	3.4±0.1	3.1±0.1	3.5±0.1	3.6±0.1	3.2±0.1



ภาพประกอบ 34 ความสัมพันธ์ระหว่างการเปลี่ยนแปลงของอุณหภูมิของน้ำอ้อยที่มีการตกตะกอนและไม่มีการตกตะกอนสารแχวนล็อก (ชุดที่ 1 จากตาราง 16 ชุด อื่นให้ผลในลักษณะเดียวกัน)

3.5 การเปรียบเทียบเทคนิค BIA กับเทคนิคอื่น

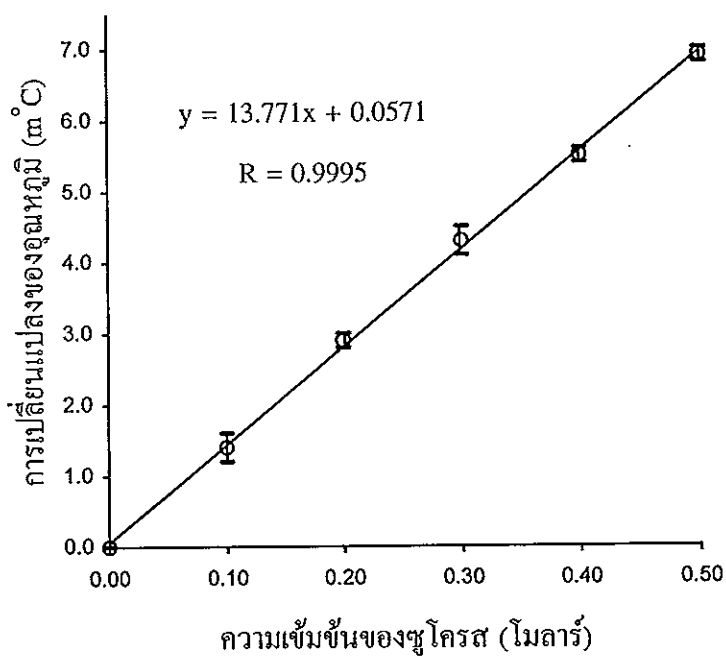
3.5.1 เปรียบเทียบผลการวิเคราะห์หาปริมาณซูโครสระหัสห่วงเทคนิค BIA กับเทคนิคโพลาริเมตริก

3.5.1.1 สารละลายมาตรฐาน

ในการเปรียบเทียบผลการวิเคราะห์ปริมาณซูโครสจากสารละลายมาตรฐาน ระหว่างเทคนิค BIA กับเทคนิคโพลาริเมตริก (2.7.1.1) เริ่มต้นจากการทำค่าลิเบրทันเคิร์ฟของทั้งสองเทคนิค (ตาราง 17 ภาพประกอบ 35 และ ตาราง 18 ภาพประกอบ 36) เพื่อใช้ในการคำนวณหาความเข้มข้นของสารละลายตัวอย่าง หลังจากนั้นนำสารละลายซูโครสมารฐานไปวิเคราะห์โดยเทคนิค BIA และเทคนิคโพลาริเมตริก ได้ค่าการเปลี่ยนแปลงของอุณหภูมิและค่าการหมุนระนาบแสงดังตาราง 19 และตาราง 20 ตามลำดับ แล้วจึงนำค่าที่ได้มาคำนวณหาความเข้มข้นของสารละลายตัวอย่างจากค่าลิเบรทันเคิร์ฟของแต่ละเทคนิค เมื่อเปรียบเทียบค่าความเข้มข้นของซูโครสที่วิเคราะห์ได้จากเทคนิค BIA กับเทคนิคโพลาริเมตริกพบว่า ความแตกต่างไม่มีนัยสำคัญ (ตาราง 21 ภาพประกอบ 37)

ตาราง 17 การเปลี่ยนแปลงของอุณหภูมิจากสารละลายซูโครสมารฐานที่ได้จากเทคนิค BIA เพื่อใช้เป็นค่าลิเบրทันเคริฟ

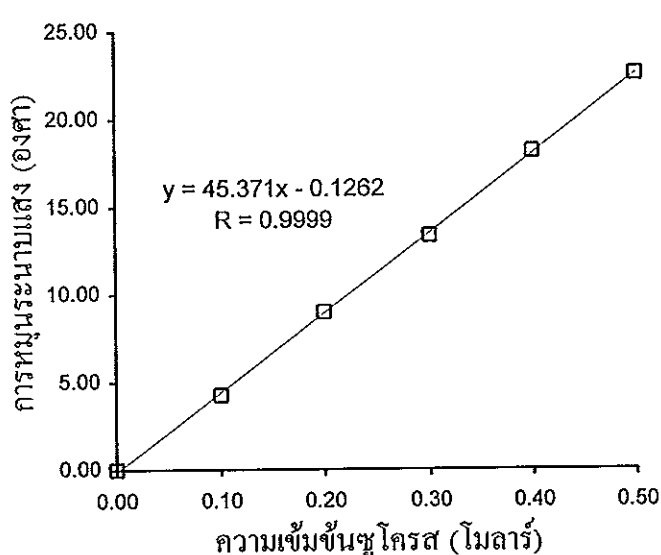
ความเข้มข้นของสารละลายซูโครส (ไมลาร์)	การเปลี่ยนแปลงของอุณหภูมิ ($m^{\circ}C$)
0.00	0.0±0.3
0.10	1.4±0.2
0.20	2.9±0.1
0.30	4.3±0.2
0.40	5.5±0.1
0.50	6.9±0.1



ภาพประกอบ 35 การเปลี่ยนแปลงของอุณหภูมิจากสารละลายซูโครสมารฐานที่ได้จากเทคนิค BIA เพื่อใช้เป็นค่าลิเบรทันเคริฟ

ตาราง 18 การหมุนระนาบแสงจากสารละลายน้ำที่ได้จากเทคนิคโพลาริเมตريك เพื่อใช้เป็นค่าลิเบรทชันเครฟ

ความเข้มข้นของสารละลายน้ำที่ได้จากเทคนิคโพลาริเมตريك (ไมลาร์)	การหมุนระนาบแสง (องศา)
0.00	0.00
0.10	4.25
0.20	9.00
0.30	13.35
0.40	18.15
0.50	22.55



ภาพประกอบ 36 การหมุนระนาบแสงจากสารละลายน้ำที่ได้จากเทคนิคโพลาริเมติกเพื่อใช้เป็นค่าลิเบรทชันเครฟ

ตาราง 19 การเปลี่ยนแปลงของอุณหภูมิต่อสารละลายน้ำโดยรวมที่ได้จากการทดสอบ BIA

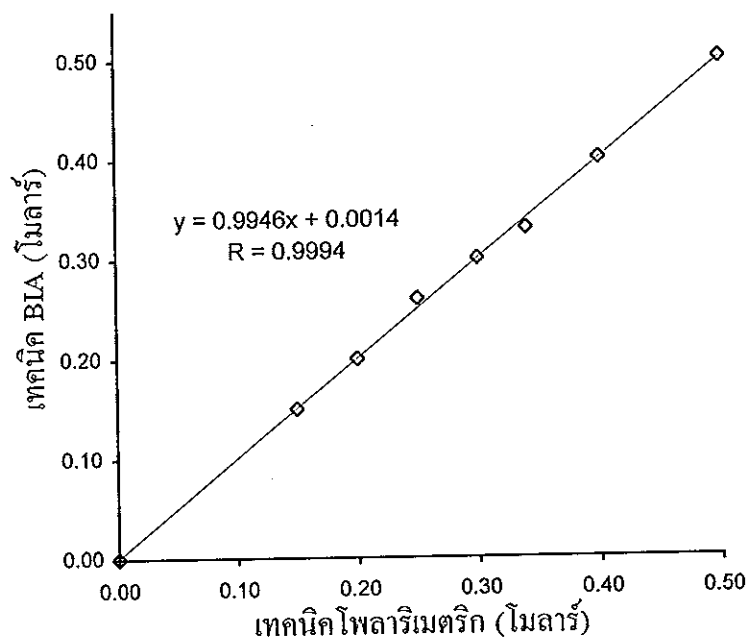
ความเข้มข้นของสารละลายน้ำโดยรวม (ไมลาร์)	การเปลี่ยนแปลงของอุณหภูมิ ($m^{\circ}\text{C}$)
0.10	1.3±0.1
0.15	2.2±0.2
0.20	2.8±0.1
0.25	3.7±0.1
0.30	4.2±0.1
0.35	4.6±0.1
0.40	5.5±0.3
0.50	7.0±0.1

ตาราง 20 ค่าการหมุนระนาบแสงต่อสารละลายน้ำโดยรวมที่ได้จากการทดสอบโพลาริเมตริก

ความเข้มข้นของสารละลายน้ำโดยรวม (ไมลาร์)	การหมุนระนาบแสง (องศา)
0.10	4.30
0.15	6.50
0.20	8.90
0.25	11.40
0.30	13.40
0.35	15.45
0.40	18.00
0.50	22.50

ตาราง 21 เปรียบเทียบผลการวิเคราะห์หาปริมาณไขมันส่วนหัวทางเทคนิค BIA กับเทคนิค
โพลาริเมตريكโดยใช้สารละลายน้ำไขมันทรูน

ความเข้มข้นของ สารละลายน้ำ ไขมันทรูน (ไมลาร์)	BIA (ไมลาร์)	โพลาริเมต릭 (ไมลาร์)
0.10	วัดไม่ได้	0.10
0.15	0.15±0.01	0.15
0.20	0.20±0.01	0.20
0.25	0.26±0.01	0.25
0.30	0.30±0.01	0.30
0.35	0.33±0.01	0.34
0.40	0.40±0.02	0.40
0.50	0.50±0.01	0.50



ภาพประกอบ 37 เปรียบเทียบผลการวิเคราะห์หาปริมาณซูโครสารระหว่างเทคนิค BIA กับ
เทคนิคโพลาริเมตريك จากสารละลายน้ำซูโครสารมาตรฐาน

3.5.1.2 น้ำอ้อย

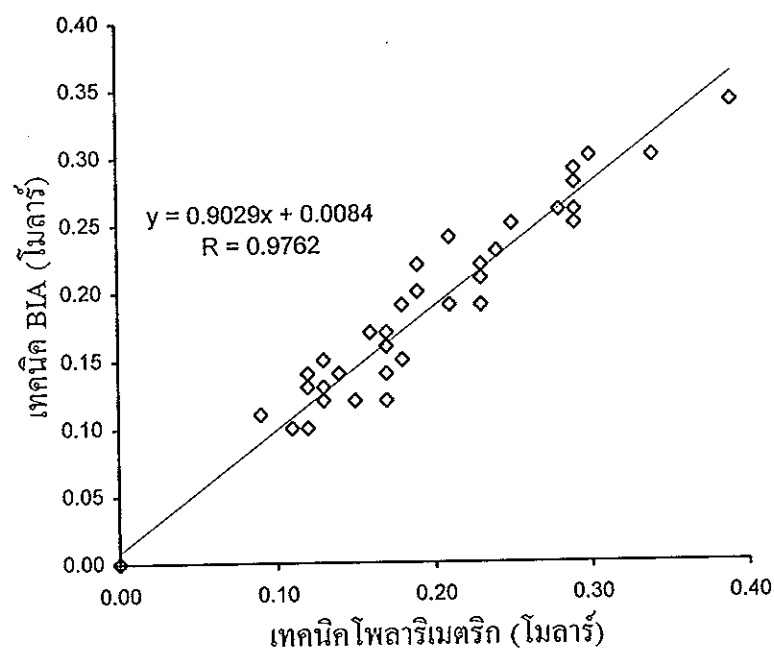
ในการเปรียบเทียบผลการวิเคราะห์หาปริมาณซูโครสในน้ำอ้อยที่ใช้เป็นสารละลายน้ำอย่างระหว่างเทคนิค BIA กับเทคนิคโพลาริเมทริก (2.7.1.2) ทำการทดลอง 4 ชุด โดยจะทำการดีบรทธนักร์ฟของเทคนิค BIA กับเทคนิคโพลาริเมทริกเท่านั้นเดียวกับในข้อ 3.5.1.1 ทุกชุด ผลการวิเคราะห์หาความเข้มข้นของปริมาณซูโครสในน้ำอ้อยระหว่างเทคนิค BIA กับเทคนิคโพลาริเมทริก ดังตาราง 22 และภาพประกอบ 38 เมื่อเปรียบเทียบค่าความเข้มข้นของซูโครสที่ได้จากเทคนิค BIA กับเทคนิคโพลาริเมทริกพบว่า ความแตกต่างระหว่างเทคนิคทั้งสองนี้ไม่มีนัยสำคัญ

ตาราง 22 ผลการวิเคราะห์ปริมาณซูโครัสที่มีอยู่ในน้ำอ้อยคั่วเทคนิค BIA เมริยบเทียบกับ
เทคนิคโพลาริเมตริก

ชุดที่	น้ำอ้อย		BIA (ไมลาร์)	โพลาริเมตริก (ไมลาร์)
1	ตัวอย่าง 1	40%	วัดไม่ได้	0.03
		60%	วัดไม่ได้	0.05
		80%	วัดไม่ได้	0.07
		100%	0.11 ± 0.01	0.09
	ตัวอย่าง 2	40%	วัดไม่ได้	0.08
		60%	0.14 ± 0.01	0.12
		80%	0.17 ± 0.01	0.16
		100%	0.22 ± 0.01	0.19
	ตัวอย่าง 3	40%	0.10 ± 0.01	0.09
		60%	0.15 ± 0.01	0.13
		80%	0.19 ± 0.01	0.18
		100%	0.22 ± 0.01	0.23
2	ตัวอย่าง 1	40%	วัดไม่ได้	0.09
		60%	0.13 ± 0.01	0.12
		80%	0.17 ± 0.01	0.17
		100%	0.24 ± 0.01	0.21
	ตัวอย่าง 2	40%	0.10 ± 0.01	0.11
		60%	0.15 ± 0.01	0.18
		80%	0.23 ± 0.01	0.24
		100%	0.29 ± 0.01	0.29
	ตัวอย่าง 3	40%	วัดไม่ได้	0.11
		60%	0.12 ± 0.01	0.17
		80%	0.19 ± 0.01	0.23
		100%	0.25 ± 0.01	0.29

ตาราง 22 (ต่อ) ผลการวิเคราะห์ปริมาณซูโกรสที่มีอยู่ในน้ำอ้อยด้วยเทคนิค BIA เมรี่ยบ
เทียบกับเทคนิคโพลาริเมทริก

ชุดที่	น้ำอ้อย		BIA (ไมลาร์)	โพลาริเมทริก (ไมลาร์)
3	ตัวอย่าง 1	40%	วัดไม่ได้	0.09
		60%	0.12±0.03	0.13
		80%	0.16±0.03	0.17
		100%	0.19±0.03	0.21
	ตัวอย่าง 2	40%	0.10±0.03	0.12
		60%	0.14±0.03	0.17
		80%	0.21±0.03	0.23
		100%	0.28±0.03	0.29
	ตัวอย่าง 3	40%	0.10±0.03	0.11
		60%	0.16±0.03	0.17
		80%	0.21±0.03	0.23
		100%	0.26±0.03	0.29
4	ตัวอย่าง 1	40%	วัดไม่ได้	0.10
		60%	0.14±0.01	0.14
		80%	0.20±0.01	0.19
		100%	0.25±0.01	0.25
	ตัวอย่าง 2	40%	0.13±0.01	0.13
		60%	0.19±0.01	0.21
		80%	0.26±0.01	0.28
		100%	0.30±0.01	0.34
	ตัวอย่าง 3	40%	0.12±0.01	0.15
		60%	0.21±0.01	0.23
		80%	0.30±0.01	0.30
		100%	0.34±0.01	0.39



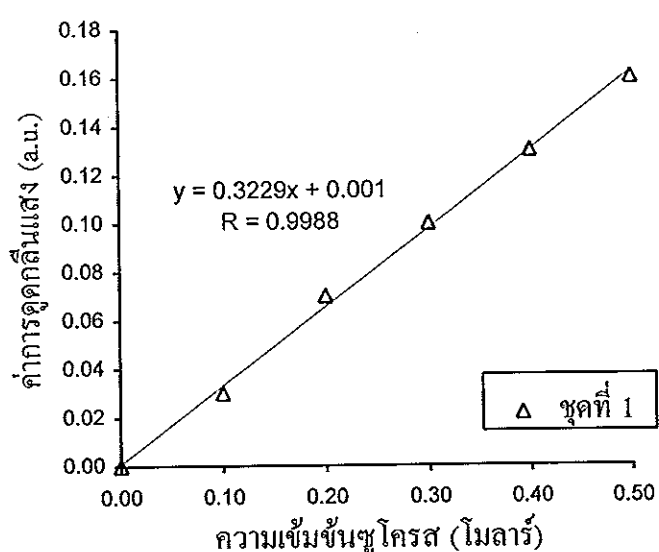
ภาพประกอบ 38 เปรียบเทียบผลการวิเคราะห์หาปริมาณซูโครสในน้ำอี้อยระหว่างเทคนิค BIA กับเทคนิคโพลาริเมตريك

3.5.2 เปรียบเทียบผลการวิเคราะห์ปริมาณชูโครส์ในน้ำอ้อยระหว่างเทคนิค BIA กับเทคนิค สเปกโกรไฟโตเมตริก

การเปรียบเทียบผลการวิเคราะห์หาปริมาณชูโครส์ในน้ำอ้อยระหว่างเทคนิค BIA กับเทคนิคสเปกโกรไฟโตเมตริก (2.7.2) ทำการทดลอง 3 ชุด และทำการเลิบ(er)หันของแต่ละเทคนิคทุกชุด ตาราง 23 ภาพประกอบ 39 แสดงค่าเลิบ(er)หันเครื่องของเทคนิคสเปกโกรไฟโตเมตริก ส่วนขั้นตอนอื่นๆ ทำเช่นเดียวกับ 3.5.1.2 เพียงแต่ใช้เทคนิคสเปกโกรไฟโตเมตริกแทนเทคนิคโพลาริเมตริก ค่าการคูณกลืนแสงที่ได้จากการหาปริมาณชูโครส์ในน้ำอ้อยของเทคนิคสเปกโกรไฟโตเมตริกแสดงดังตาราง 24 และค่าความเข้มข้นของชูโครส์ในน้ำอ้อยที่คำนวณได้จากการเลิบ(er)หันเครื่องหงส์สองเทคนิคแสดงในตาราง 25 ภาพประกอบ 40 ซึ่งจากการทดลองพบว่า เมื่อเปรียบเทียบค่าความเข้มข้นของชูโครส์ที่วิเคราะห์ได้จากเทคนิค BIA กับเทคนิคสเปกโกรไฟโตเมตริก ความแตกต่างระหว่างสองเทคนิคนี้จะไม่มีนัยสำคัญ

ตาราง 23 ค่าการดูดกลืนแสงจากสารละลายน้ำมันที่ได้จากเทคนิคสเปกโทรไฟ
โดยเมตريกเพื่อใช้เป็นค่าลิเบրาชันเคร์ฟ

ความเข้มข้นของ สารละลายน้ำมัน (ไมลาร์)	ค่าการดูดกลืนแสง		
	(a.u.)		
	ชุดที่	1	2
0.00	0.00	0.00	0.00
0.10	0.03	0.05	0.03
0.20	0.07	0.08	0.07
0.30	0.10	0.12	0.10
0.40	0.13	0.15	0.13
0.50	0.16	0.19	0.17



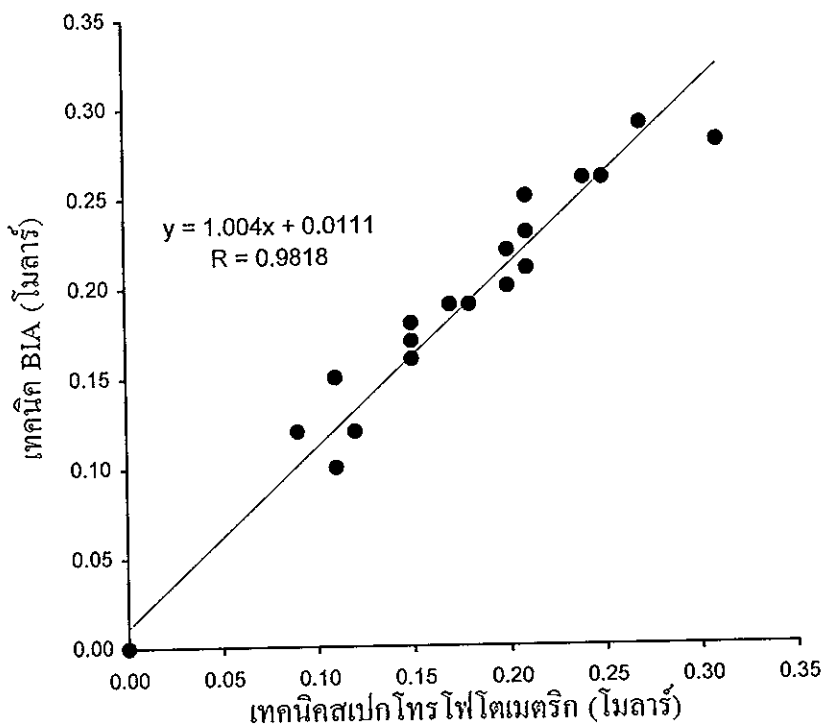
ภาพประกอบ 39 ค่าการดูดกลืนแสงจากสารละลายน้ำมันที่ได้จากเทคนิค
สเปกโตรไฟโดยเมตريก (ชุดที่ 1 ตาราง 23)

ตาราง 24 ค่าการดูดกลืนแสงที่ได้จากการวิเคราะห์ปริมาณชูโกรสในน้ำอ้อยด้วยเทคนิคสเปกโทโรไฟโตเมต릭

พืชที่	น้ำอ้อย	ค่าการดูดกลืนแสง (a.u.)	
		การย่อสลายชูโกรส (Inversion)	
		ก่อน	หลัง
1	40%	0.02	0.05
	50%	0.02	0.07
	60%	0.02	0.09
	70%	0.03	0.10
	80%	0.04	0.11
	90%	0.04	0.12
	100%	0.04	0.14
2	40%	0.02	0.06
	50%	0.02	0.07
	60%	0.03	0.08
	70%	0.03	0.10
	80%	0.03	0.11
	90%	0.04	0.12
	100%	0.04	0.14
3	40%	0.01	0.05
	50%	0.01	0.06
	60%	0.02	0.07
	70%	0.02	0.08
	80%	0.02	0.09
	90%	0.03	0.11
	100%	0.04	0.13

ตาราง 25 ผลการวิเคราะห์ปริมาณไขมันในน้ำอ้อด้วยเทคนิค BIA และเปรียบเทียบกับ
เทคนิคสเปกโทรไฟโตเมตริก

ชุดที่	น้ำอ้อ	BIA (ไมลาร์)	สเปกโทรไฟโตเมตริก (ไมลาร์)
1	40%	0.12±0.01	0.09
	50%	0.16±0.01	0.15
	60%	0.21±0.01	0.21
	70%	0.23±0.01	0.21
	80%	0.25±0.01	0.21
	90%	0.26±0.01	0.24
	100%	0.28±0.01	0.31
2	40%	วัดไม่ได้	0.09
	50%	0.10±0.02	0.11
	60%	0.15±0.02	0.11
	70%	0.19±0.02	0.17
	80%	0.20±0.02	0.20
	90%	0.22±0.02	0.20
	100%	0.26±0.03	0.25
3	40%	0.12±0.05	0.12
	50%	0.18±0.07	0.15
	60%	0.17±0.06	0.15
	70%	0.19±0.06	0.18
	80%	0.21±0.07	0.21
	90%	0.26±0.07	0.24
	100%	0.29±0.06	0.27



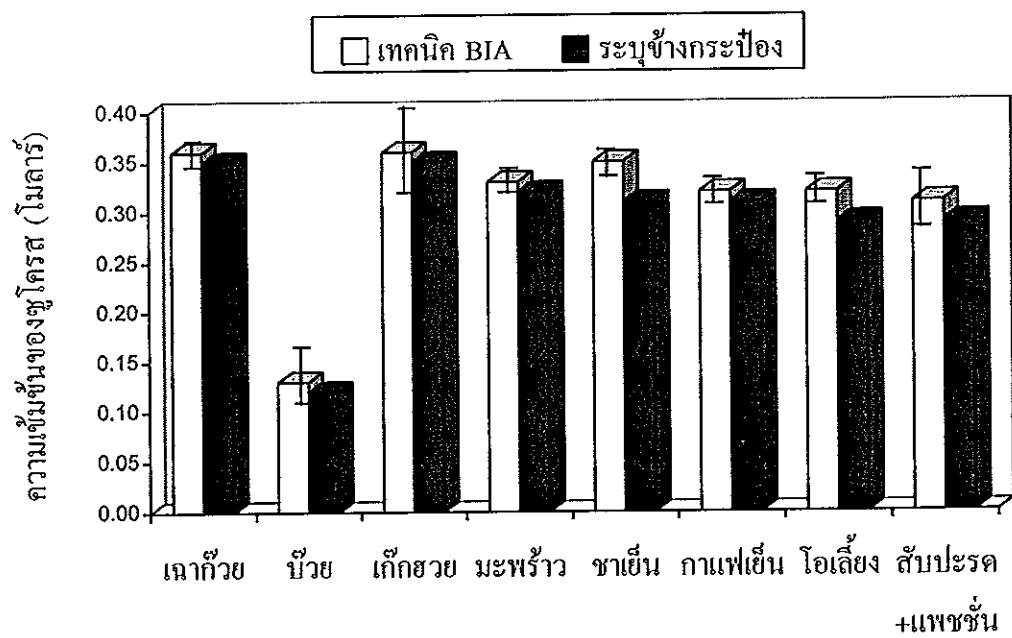
ภาพประกอบ 40 เปรียบเทียบผลการวิเคราะห์ปริมาณไขมันในน้ำอ้อยระหว่างเทคนิค BIA กับเทคนิคสเปกโธร ไฟโตเมตทริก

3.6 ผลการวิเคราะห์หาปริมาณชูโครสในน้ำกระปองด้วยเทคนิค BIA

เมื่อวิเคราะห์หาปริมาณชูโครสในน้ำกระปองด้วยเทคนิค BIA (2.8) พบว่า เมื่อตัวอย่างที่ใช้ไม่มีกรดซิตริกเป็นส่วนประกอบ ยังไงก็แล้วแต่ เกรดก้าว บุวย เก็บชวย มะพร้าว ชาเขียว กากแฟเย็น โอลีเยิ่ง และสับปะรดผสมแพชชั่น จะได้ผลการวิเคราะห์สูงกว่าค่าที่ระบุไว้ข้างกระปองเฉลี่ยประมาณ $6.3 \pm 3.9\%$ (ตาราง 26 และภาพประกอบ 41) ทั้งนี้อาจจะเนื่องมาจากการว่าขาดที่ทำการทดลองช่วงเวลาที่ทำการตัดและบดชิ้นต่อชิ้นไม่เท่ากัน ทำให้ต้องใช้เวลาในการตัดและบดนานกว่าเดิม แต่เมื่อวิเคราะห์โดยวิธีทางสถิติพบว่า ความแตกต่างนี้ไม่มีนัยสำคัญ สำหรับในน้ำผลไม้กระปองที่มีกรดซิตริก เช่น ส้ม แอบเปิล สับปะรด และมะนาว ปริมาณชูโครสที่วิเคราะห์ได้ต่ำกว่าค่าที่ระบุไว้ข้างกระปองค่อนข้างมาก (ตาราง 27 ภาพประกอบ 42) ทั้งนี้คาดว่าน่าจะเนื่องมาจากการที่กรดซิตริกไปเร่งปฏิกิริยาการสลายตัวของชูโครสให้เป็นกุโกรสและฟริกโทส (Junk and Pancoast , 1973) ทำให้ปริมาณชูโครสลดลง นอกจากนี้ยังพบว่า น้ำส้มที่ระบุวันผลิตห่างจากวันที่นำมาวิเคราะห์มากขึ้น ชูโครสที่วิเคราะห์ได้จะน้อยลง (ตาราง 28 ภาพประกอบ 43) แสดงว่า นอกจากกรดซิตริกที่ไปเร่งการสลายตัวของชูโครสแล้ว เวลายังเป็นปัจจัยที่สำคัญเนื่องจากชูโครสมีอยู่ในรูปของสารละลายจะไม่เสถียร ทำให้เกิดการสลาย (Decomposition) ไป เมื่อเวลาผ่านไป (Junk and Pancoast , 1973)

ตาราง 26 ผลการวิเคราะห์ปริมาณชูโครส์ในน้ำกระป่องคั่วyleเทคนิค BIA

น้ำผลไม้ กระป่อง	ความเข้มข้นของชูโครส์ (ไมลาร์)		ความแตกต่าง ระหว่างค่าที่ได้จาก เทคนิค BIA กับข้างกระป่อง (%)
	เทคนิค BIA	ข้างกระป่อง	
เลาคั่วyle (Pigion)	0.36±0.01	0.35	2.9
บัวย (UFC)	0.13±0.03	0.12	8.3
เก็กชวย (Malee)	0.36±0.04	0.35	2.9
มะพร้าว (Freeze)	0.33±0.01	0.32	3.1
ชาเย็น (Freeze)	0.35±0.01	0.31	12.9
กาแฟเย็น (Birdy)	0.32±0.01	0.31	3.2
โอลีเย (Freeze)	0.32±0.01	0.29	10.3
สับปะรด+แพชชั่น (Freeze)	0.31±0.03	0.29	6.9
เฉลี่ย		6.3 ± 3.9%	

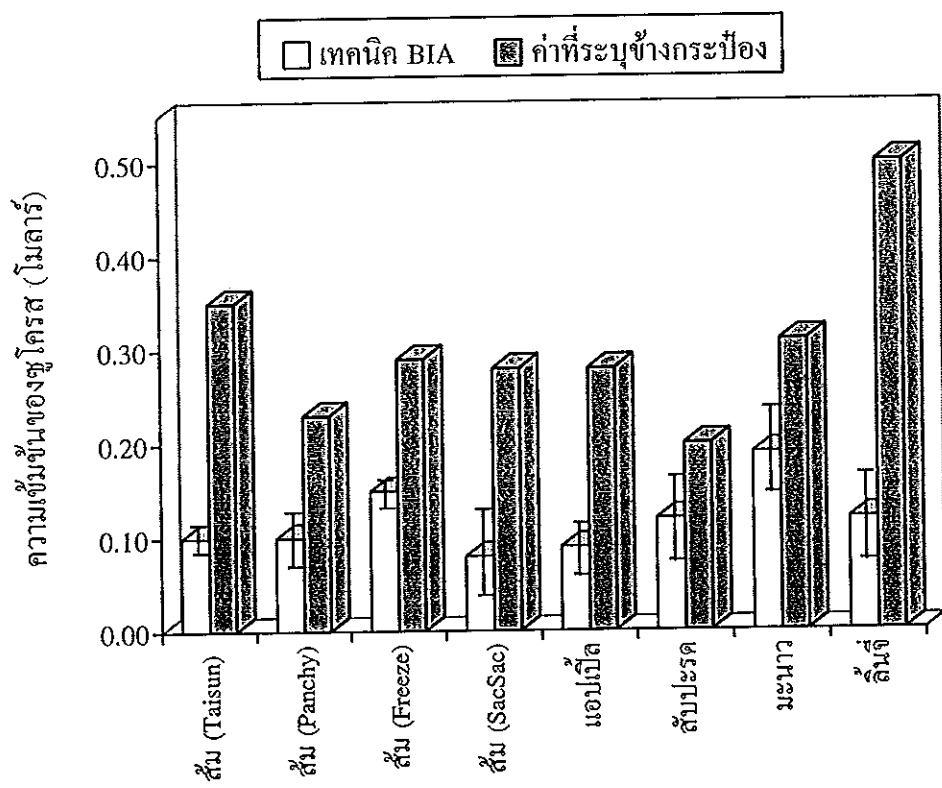


ภาพประกอบ 41 เปรียบเทียบผลการวิเคราะห์หาปริมาณซูโค尔斯ระหว่างเทคนิค BIA กับค่าที่ระบุไว้ข้างกระป้อง

ตาราง 27 ผลการวิเคราะห์ปริมาณชูโครสในน้ำผลไม้กระป่องคั่วเทคนิค BIA

(ความเข้มข้นที่วิเคราะห์ได้ไม่ตรงกับข้างกระป่อง)

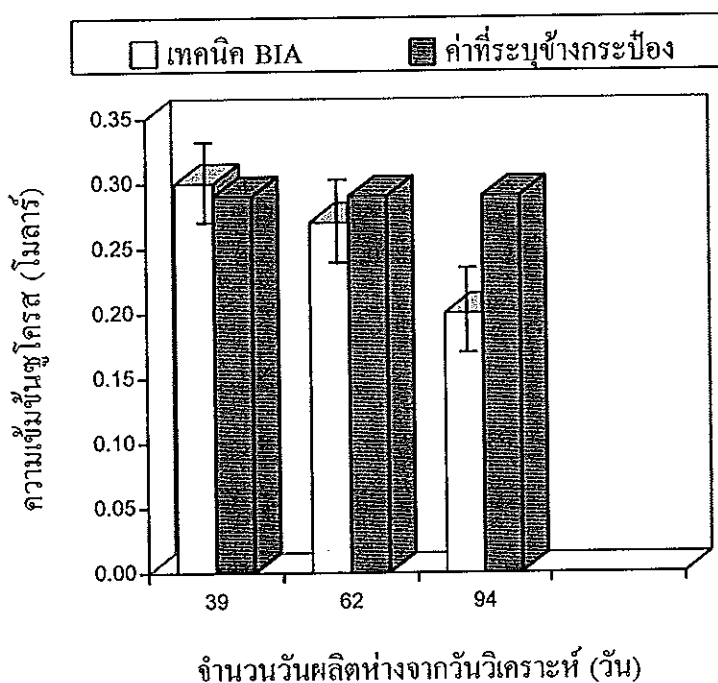
น้ำผลไม้กระป่อง	ความเข้มข้นของชูโครส (ไมลาร์)		ความแตกต่างระหว่างค่าที่ได้จากเทคนิค BIA กับข้างกระป่อง (%)
	เทคนิค BIA	ข้างกระป่อง	
ส้ม (Taisun)	0.10±0.01	0.35	-71.4
ส้ม (Panchy)	0.10±0.03	0.23	-56.5
ส้ม (Freeze)	0.15±0.01	0.29	-48.3
ส้ม (Sac Sac)	0.08±0.05	0.28	-71.4
แมอลี (Malee)	0.09±0.03	0.28	-67.9
สับปะรด (Sac Sac)	0.12±0.05	0.20	-40.0
มะนาว (Golden Pan)	0.19±0.05	0.31	-38.7
ลิ้นจี่ (UFC)	0.12±0.05	0.50	-76.0
	เฉลี่ย		-58.8 ± 15.0%



ภาพประกอบ 42 เปรียบเทียบผลการวิเคราะห์หาปริมาณซื้อโครงสร้างหัวใจที่วัดโดยเทคนิค BIA กับค่าที่ระบุไว้ข้างกระป้อง

ตาราง 28 ผลการวิเคราะห์น้ำส้ม (Freeze) ที่มีวันผลิตห่างจากวันวิเคราะห์ต่างกันด้วย
เทคนิค BIA

ความเข้มข้น ซึ่งกระปือง (ไมลาร์)	ความเข้มข้นที่วิเคราะห์ได้ที่มี วันผลิตห่างจากวันวิเคราะห์ (ไมลาร์)		
	39 วัน	62 วัน	94 วัน
0.29	0.30±0.04	0.27±0.04	0.20±0.04



ภาพประกอบ 43 เปรียบเทียบผลการวิเคราะห์หาปริมาณซูโคโรสในน้ำส้มกระปืองระหว่างเทคนิค BIA กับค่าที่ระบุไว้ข้างกระปืองที่มีจำนวนวันผลิตห่างจากวันวิเคราะห์ต่างกัน

บทที่ 4

บทสรุป

จากผลการทดลองจะเห็นว่าเทคนิค BIA ที่ใช้ตัวตรวจความร้อนร่วมกับเอนไซม์อินเวร์เทสสามารถวัดระดับปริมาณซูโคโรสได้ โดยเอนไซม์นี้จะทำหน้าที่ในการเร่งปฏิกิริยา ไซโตรไอลซิสของซูโคโรสได้เป็นกลุ่มสกับฟรอกโถสพร้อมทั้งให้ความร้อนและสามารถตรวจวัดการเปลี่ยนแปลงของอุณหภูมิเนื่องจากการเพิ่มขึ้นของความร้อนนี้โดยใช้เทอร์มิสเตอร์

ในการหาสภาวะที่เหมาะสมของปัจจัยพื้นฐานของระบบ BIA พบว่า ความยาวของปลอกเทอร์มิสเตอร์ที่ใช้สามารถเพิ่มความแม่นยำในการตรวจ เพื่อป้องกันไม่ให้ความร้อนที่เกิดขึ้นแห่งกระชาบไปยังสารละลายส่วนอื่นๆ เริ่วเกินไปนั้นควรจะมีความยาว 15 มิลลิเมตร โดยมีระยะห่างจากเทอร์มิสเตอร์ของรูปลอกเทอร์มิสเตอร์ 2 มิลลิเมตร ก่อนที่จะพิสดาระดับตัวอย่างเพื่อทำการวิเคราะห์ควรจะแห่สารละลายตัวอย่างเพื่อให้สารละลายตัวอย่างในปีเพتمีการปรับอุณหภูมิจนเท่ากับอุณหภูมิของสารละลายในนิ่กเกอร์อย่างน้อย 30 วินาที และอัตราเร็วในการคนสารละลายที่เหมาะสมเพื่อส้างสารละลายตัวอย่างและผลิตภัณฑ์ที่เกิดขึ้นจากปฏิกิริยาออกจากเทอร์มิสเตอร์และช่วยกระจายความร้อนที่เกิดขึ้นจากปฏิกิริยาไปยังสารละลายในนิ่กเกอร์หลังจากที่มีการตรวจแล้วคือ 300 รอบต่อนาที

เมื่อศึกษาหาสภาวะที่เหมาะสมในการวิเคราะห์ซูโคโรสพบว่า pH ที่เหมาะสมในการทำงานของเอนไซม์อินเวร์เทสเท่ากับ 4.80 โดยทำที่อุณหภูมิ 20 องศาเซลเซียส โดยมีอัตราเร็วในการนีดสารละลายโดยเครื่อง EDOS 5221 ที่ 4 และระยะห่างของปลายปีเพตจากเทอร์มิสเตอร์ 2 มิลลิเมตร ปริมาตรสารละลายตัวอย่าง 25 ไมโครลิตร และช่วงความเข้มข้นของสารละลายซูโคโรสที่ให้การตอบสนองเชิงเส้น 0.00 - 0.50 โนลาร์

สำหรับค่าจำกัดต่ำสุดในการวิเคราะห์ซูโคโรสคือ BIA นี้ พบว่าเป็น 0.10 โนลาร์ ซึ่งเป็นค่าที่ค่อนข้างสูงเมื่อเปรียบเทียบกับเทคนิคอื่นเช่น เทคนิคปฏิโลหิตแก๊สโกรามาโทกราฟีให้ช่วงในการตรวจ $3 \times 10^{-7} - 9 \times 10^{-5}$ โนลาร์ (Davies , 1988) และเทคนิคทินเดเยอร์โกรนาโทกราฟีให้ค่าจำกัดตรวจต่ำสุด 7×10^{-5} โนลาร์ (Grosz and Braunsteiner , 1989) แต่ถ้าตัวอย่างที่ต้องการวัดมีความเข้มข้นของซูโคโรสสูง เช่นน้ำอ้อยซึ่งจะมีปริมาณซูโคโรสประมาณ 0.30 โนลาร์ วิธีนี้จึงน่าจะมีความเหมาะสมกว่าวิธีอื่นเนื่องจากไม่ต้องทำการเจาะสารละลายตัวอย่าง ก่อนที่จะนำมาวิเคราะห์

นอกจากนี้ยังพบว่าระบบวิเคราะห์นี้การรับกวนจากสิ่งอื่นๆ มีน้อยมากจากการศึกษาสิ่งที่น่าจะมีผลต่อการรับกวนในการวิเคราะห์ซูโกรส เช่น กลูโคสและฟรักโทส รวมทั้ง ไอโอนของทองแดง (II) หรือเงิน (I) พบว่า ทั้งกลูโคสและฟรักโทสที่มีอยู่ในสารละลายซูโกรสจะไม่มีผลต่อการวิเคราะห์หากปริมาณซูโกรสทางความเข้มข้นของกลูโคสและฟรักโทสอยู่ในช่วง 0.02 - 0.10 มิลลาร์ ซึ่งก็เป็นความเข้มข้นของกลูโคสและฟรักโทสที่มีอยู่ในน้ำอ้อยนั่นคือ 0.02 - 0.05 มิลลาร์ ดังนั้นการใช้ระบบนี้ในการวิเคราะห์ซูโกรสในน้ำอ้อยจึงไม่น่าจะมีผลกระทบต่อการวิเคราะห์ และในระบบ BIA นี้ ไอโอนของทองแดง (II) ในช่วงความเข้มข้น 0.5 - 3.0 ppm หรือความเข้มข้นของเงิน (I) ในช่วง 5.0 - 20.0 ppm จะไม่มีผลในการยับยั้งการทำงานของเอนไซม์อินเวอร์เทส

สำหรับลักษณะของตัวอย่างพบว่า สารแขวนลอยต่างๆ ที่มีอยู่ในน้ำอ้อยจะไม่มีผลกระทบต่อการวิเคราะห์ซูโกรสอย่างเป็นนัยสำคัญ ดังนั้นระบบ BIA นี้สามารถวิเคราะห์หาปริมาณซูโกรสในน้ำอ้อยได้โดยไม่ต้องผ่านขั้นตอนการเตรียมสารตัวอย่างแม้ว่าสารตัวอย่างจะมีลักษณะชุ่น นอกจากนี้เทคนิค BIA สามารถวิเคราะห์สารตัวอย่างที่มีสีต่างๆ ได้โดยที่ไม่มีการรับกวนจากสีของสารตัวอย่าง ซึ่งเห็นได้จากการวิเคราะห์หาปริมาณซูโกรสในน้ำกระป่อง เช่น เกาเกี้ยว บัวยเก็กชวย ชาเย็น กานแฟเย็น และโอลเดี้ยง เป็นต้น ซึ่งเป็นข้อได้เปรียบเมื่อเทียบกับวิธีโพลาริเมตริก และสเปกโโทรโฟโตเมตริก นอกจากนี้ในการวิเคราะห์หาปริมาณซูโกรสของระบบ BIA จะใช้เอนไซม์อินเวอร์เทสเพียงชนิดเดียว โดยใช้เป็นปริมาณไม่นามากเที่ยง 1 มิลลิกรัม ในการตรวจเอนไซม์อินเวอร์เทส 1 ครั้งสามารถทำการวิเคราะห์ได้ประมาณ 130 ครั้ง แต่ละตัวอย่างใช้การนีดิคิวเราะห์ 5 ครั้ง นั่นคือใช้เอนไซม์อินเวอร์เทสประมาณ 0.04 มิลลิกรัมต่อหนึ่งตัวอย่าง จึงเป็นข้อได้เปรียบอีกข้อหนึ่งเมื่อเทียบกับวิธีสเปกโโทรโฟโตเมตริกที่ใช้เอนไซม์สามชนิดคือ เอนไซม์อินเวอร์เทส กลูโคสออกซิಡส์ และเพอร์ออกซิเดต โดยใช้เอนไซม์อินเวอร์เทสถึง 0.5 มิลลิกรัมต่อหนึ่งตัวอย่าง และวิธีนี้ยังต้องผ่านขั้นตอนการเจือจางสารตัวอย่างด้วย

ในระบบ BIA นี้สามารถนีดิคิลสารตัวอย่างได้ 20 - 30 ครั้งต่อชั่วโมงขึ้นอยู่กับความเข้มข้นและการวิเคราะห์แต่ละตัวอย่างในการทดลองนี้จะนีดิคิลสารตัวอย่าง 5 ครั้งต่อหนึ่งความเข้มข้น ทำให้เสียเวลาค่อนข้างมากกล่าวคือประมาณ 10 - 15 นาทีต่อหนึ่งความเข้มข้น แต่เนื่องจากความแตกต่างของผลการตอบสนองใน 5 ครั้งนี้จะมีประมาณ 4% ดังนั้นในการใช้งานจริงอาจจะนีดิคิลสารตัวอย่างเพียงครั้งเดียวซึ่งจะลดเวลาลงเหลือแค่ 2 - 3 นาทีต่อตัวอย่าง อย่างไรก็ตามเวลา 10 - 15 นาทีก็ยังสั้นกว่าเวลาที่ใช้ในการวิเคราะห์โดยวิธีสเปกโโทรโฟโตเมตริกที่ใช้เวลาถึง 70 นาทีต่อตัวอย่าง

จากการวิเคราะห์หาปริมาณซูโกรสโดยการใช้เทคนิค BIA ร่วมกับตัวตรวจวัดความร้อน สามารถสรุปได้ว่าเทคนิคนี้สามารถทำการวิเคราะห์ได้ง่าย สะดวก เพราะไม่ต้องผ่านขั้นตอน

การเตรียมสารตัวอย่างก่อนที่จะนำมาวิเคราะห์ นอกจากนี้ยังวิเคราะห์ได้รวดเร็ว มีความถูกต้อง และใช้สารตัวอย่างในการทำการวิเคราะห์น้อย

ดังนั้entechnic BIA ที่ใช้เทอร์มิสเตอร์เป็นตัวตรวจดูจะสามารถใช้ในการวิเคราะห์สารอินซูลินโดยใช้ปฏิกิริยาเอนไซม์ได้อีก เพราะปฏิกิริยาเอนไซม์ทุกชนิดจะทำให้เกิดการเปลี่ยนแปลงความร้อนตัวอย่างเช่น การหาปริมาณไออกไซด์โดยใช้เอนไซม์กะทะเลส (Tran-Minh and Vallin , 1978) การหาปริมาณยูเรีย (urea) โดยใช้เอนไซม์ยูเรียส (urease) (Fulton , Cooney and Weaver , 1980) การหาปริมาณกลูโคสโดยใช้เอนไซม์กลูโคสออกซิเดส (Weaver , et al. , 1976) เป็นต้น

บรรณานุกรม

ชัยฤทธิ์ สวัสดิ์วัฒน์. 2530. “เอนไซม์และปฏิกิริยาในชีวเคมี”, ใน ชีวเคมี, หน้า 150-152.

มนตรี จุฬาลงกรณ์ , บรรณาธิการ. กรุงเทพฯ : ห้างหุ้นส่วนจำกัด ก.ศ.

ไพบูล เหล่าสุวรรณ. 2535. สถิติสำหรับการวิจัยทางเคมี. ม.ป.ท. : ม.ป.พ.

ภาวิชี คงสวัสดิ์. 2531. การตรวจเอนไซม์และเชลล์. ม.ป.ท. : ม.ป.พ.

ระวี สงวนทรัพย์. 2529. ผลงานนักเรียนที่วิทยาศาสตร์. พิมพ์ครั้งที่ 1. กรุงเทพฯ :
โอลเดียนสโตร์.

วิชัย ตันไพบูลย์. 2522. “โภชนาการเพื่อสุขภาพ”, ใกล้หม้อ, 3 (เมษายน 2522), 75-78.

วิชัย พัฒนรัชต์. 2520. “อุตสาหกรรมน้ำตาล”, อุตสาหกรรมสาร กรมส่งเสริมอุตสาหกรรม.
20 (ธ.ค. 2520), 11-22.

สุนันทา ภิญญาวัชน์. 2532. ชีวเคมี 2. พิมพ์ครั้งที่ 3. สำนักพิมพ์มหาวิทยาลัยรามคำแหง :
มหาวิทยาลัยรามคำแหง.

AOAC Methods. 1980. Official Methods of Analysis. 13th ed. Association of Official
Analytical Chemists : Washington DC.

Bacon, J.S.D. 1955. “Methods for Measuring Transglycosylase Activity of Invertases”, In
Methods in Enzymology I. p. 259. Colowick, S.P. and Kaplan, N.O., eds.
New York : Academic press.

Cadet, F., et al. 1991. “Quantitative Determination of Sugar Cane Sucrose by
Multidimensional Statistical Analysis of their Mid-Infrared Attenuated Total
Reflectance Spectra”, Applied Spectroscopy, 45 (1991), 166-173.

Campanella , L. and Tomassetti , M. 1990. "The Membrane Sensors in the Environmental , Biological and Clinical Analysis" , In Bioinstrumentation : Research , Developments and Applications. , p. 1396. Wise , D.L. , ed. USA : Butterworth.

Christian , G.D. 1980. Analytical chemistry. 3d. ed. New York : John Wiley & Sons.

Clark , L.C. 1987. "The enzyme electrode" , In Biosensors : fundamentals and Applications. , pp. 3-12. Turner , A.P.F. ; Karube , I. and Wilson , G.S. , eds. Oxford : Oxford University Press.

Cleland , N. and Enfors , S.-O. 1984. "Externally Buffered Enzyme Electrode for Determination of Glucose" , Anal. Chem. 56 (1984) , 1880-1884.

Davies , H.V. 1988. "Rapid Determination of Glucose , Fructose and Sucrose in Potato Tubers by Capillary Gas Chromatography" , Potato Research. 31 (1988) , 569-572.

Dixon , M. , et al. 1979. Enzyme. 3d ed. New York : Academic Press.

Fulton , S.P. ; Cooney , C.L. and Weaver , J.C. 1980. "Thermal Enzyme Probe with Differential Temperature Measurements in a Laminar Flow - Through Cell" , Anal. Chem. 52 (1980) , 505-508.

Goldberg , R.N. ; Tewari , Y.B. and Ahluwalia , J.C. 1989. "Thermodynamics of the Hydrolysis of Sucrose" , J. Bio. Chem. 264 (1989) , 9901-9904.

Grosz , J. and Braunsteiner , W. 1989. "Quantitative Determination of Glucose , Fructose and Sucrose and Separation of Fructo-oligosaccharides by Means of TLC" , J. Planar Chromatography. 2 (1989) , 420- 423.

Hamid , J.A. ; Moody , G.J. and Thomas , J.D.R. 1988. "Chemically Immobilised Tri-enzyme Electrode for the Determination of Sucrose Using Flow Injection Analysis" , Analyst 113 (1988) , 81-85.

Hestrin , S. ; Feingold , D. and Schramm , M. 1955. "Hexoside Hydrolases" , In Methods in Enzymology I , p. 251. Colowick , S.P. and Kaplan , N.O. , eds. New York : Academic Press.

Jespersen , N.D. 1990. "Thermistor Probes" , In Sensors in Bioprocess control , pp. 193-220. Twork , J.V. and Yacynych , A.M. , eds. New York and Basel : Marcel Dekker , INC.

Junk , W.R. and Pancoast , H.M. 1973. Handbook of Sugar for Processors , Chemists and Technologists. Westport , Connecticut : The AVI Publishing Company , INC.

Karube , I. 1987. "Micro-organism based sensors" , In Biosensors : fundamentals and Applications , p. 13. Turner , A.P.F. ; Karube , I. and Wilson , G.S. , eds. Oxford : Oxford University Press.

Mattos , I.L. ; Zagatto , E.A.G. and Jacintho , A.O. 1988. "Spectrophotometric Flow - Injection Determination of Sucrose and Total Reducing Sugar in Suger - Cane Juice and Molasses" , Anal. Chim. Acta 214 (1988) , 247-257.

Meade , G.P. and Chen , J.C.P. 1977. Cane Sugar Handbook. 10th ed. , New York : John Wiley & Sons.

Ohlenbusch , H.D. and Vogeles , P. 1974. "Invertase" , In Methods of Enzymatic Analysis. Vol. 2. pp. 923-928. Bergmeyer , H.U. , ed. New York : Academic Press.

Paine , F.A. and Paine , H.Y. 1992. A Handbook of Food Packaging. 2d ed. , New York : Blackie Academic & Professional.

Pancoast , H.M. and Junk , W.R. 1980. Handbook of Sugars. 2d ed. , Westport , Connecticut. : The AVI Publishing Company , INC.

Park , J.K. ; Ro , H.S. and Kim , H.S. 1991. "A New Biosensor for Specific Determination of Sucrose Using an Oxidoreductase of Zymomonasmobilis and Invertase", Biotechnol. Bioeng. 38 (1991) , 217-223.

Pearson , D. 1970. The Chemical Analysis of Foods. 6th ed. New York : Chemical Publishing Company , INC.

Pesce , A.J. and Kaplan , L.A. 1987. Methods in Clinical Chemistry. Washington , D.C. : The C.V. Mosby Company.

Pomeranz , Y. and Meloan , C.E. 1978. Food Analysis : Theory and Practice. Westport , Connecticut : The AVI Publishing Company , INC.

Rawn , J.D. 1983. Biochemistry. New York : Harper & Row , Publishers , Inc.

Scheller , F. and Renneberg , R. 1983. "Glucose-Eliminating Enzyme Electrode for Sucrose Determination in Glucose - Containing Samples" , Anal. Chim. Acta. , 152 (1983) , 265-269.

Sigma. n.d. "Glucose Quantitative , Enzymatic [Glucose Oxidase] Determination in Whole Blood , Serum or Plasma at 425-475 nm [Procedure No. 510]" s.l. : s.n.
(Unpublished)

Strobel , H.A. 1973. Chemical Instrumentation : A Systematic Approach. 2d. ed. London : Addison-Wesley Publishing Company.

Tran-Minh , C. and Vallin , D. 1978. "Enzyme - Bound Thermistor as an Enthalpimetric Sensor" , Anal. Chem. 50 (1978) , 1874-1878.

Tzonwara S.M. - Karayanni & Crouch S.R. 1990. "Enzymatic Determinations of Glucose , Sucrose and Maltose in Food Samples by Flow Injection Analysis" , Food Chem. 35 (1990) , 109-116.

Wang , J. and Taha , Z. 1991a. "Batch Injection Analysis" , Anal. Chem. 63 (1991) , 1053-1056.

-----, 1991b. "Batch Injection with Potentiometric Detection" , Anal. Chim. Acta. 252 (1991) , 215-221.

-----, 1991c. "Batch Injection Analysis with Thermistor Sensing Devices" , Anal. Lett. 24 (1991) , 1389-1400.

Wang , J. 1992. "Injection Analysis-From Flow-Injection Analysis to Batch - Injection Analysis" , Microchemical J. 45 (1992) , 219-224.

Wang , J. ; Rayson , G.D. and Taha , Z. 1992. "Batch Injection Analysis Using Fiber - Optic Fluorometric Detection" , Applied Spectroscopy. 46 (1992) , 107-110.

Wang , J. , et al. 1992. "Computerized pipettes with programmable dispension for Batch Injection Analysis" , Anal. Chim. Acta. 267 (1992) , 171-177.

Weaver , J.C. , et al. 1976. "Experiments and Calculations Concerning a Thermal Enzyme Probe" , Biochim. Biophys. Acta. 452 (1976) , 285-291.

Zagatto , E.A.G. ; Mattos , I.L. and Jacintho , A.O. 1988. "Determination of Sucrose in Sugar - cane Juice and Molasses by Flow - Injection Spectrophotometry" , Anal. Chim. Acta 204 (1988) , 259-270.

Zapsalis , C. R. Anderle Beck. 1985. Food Chemistry and Nutritional Biochemistry. New York : John Wiley & Sons.

ภาคพนวก

ตาราง 29 ส่วนประกอบของน้ำอ้อยและน้ำอ้อดี้

(Meade and Chen , 1977)

อ้อดี้ที่ใช้หีบ	เปอร์เซ็นต์ (%)
น้ำ	73-76
ของแข็ง	24-27
ของแข็งที่ละลายนำ้ได้	10-16
เยื่อใย (แพะ)	11-16

ส่วนประกอบของน้ำอ้อดี้	ของแข็งที่ละลายนำ้ (%)
น้ำตาล	75-92
ซูโครัส	70-88
กําลูโคส	2-4
ฟรุกโตส	2-4
เกลือ	3.0-4.5
เกลือของกรดอนิทรี	1.5-4.5
เกลือของกรดอินทรี	1.0-3.0
กรดอินทรี	1.5-5.5
กรดคาร์บอชิลิก	1.1-3.0
กรดอะมิโน	0.5-2.5
สารอินทรีอื่นที่ไม่ใช่น้ำตาล	
โปรตีน	0.5-0.6
แป้ง	0.001-0.050
ยาง (Gums)	0.30-0.60
ไข, ไขมัน, ฟอสฟอโท	0.05-0.15
อื่นๆ	3.0-5.0

ตาราง 30 โลหะหนักในน้ำตาลดิบ (Heavy Metals in Raw Sugar)

(Meade and Chen , 1977)

โลหะ	ปริมาณ (ppm)
เหล็ก	10.71
แมงกานีส	3.58
ทองแดง	1.22
สังกะสี	0.50
ตะกั่ว	0.20
nickel	0.12
โคโรเนียม	0.07
โคลบัลท์	0.04
แகคเนียม	0.005
ซิลเวอร์	0.0002

ประวัติผู้เขียน

ชื่อ นางสาวประภาพร ศุภพิชญ์น่าน

วัน เดือน ปีเกิด 4 สิงหาคม 2513

วุฒิการศึกษา

วุฒิ	ชื่อสถาบัน	ปีที่สำเร็จการศึกษา
การศึกษานักพากย์ (กศ.บ.)	มหาวิทยาลัยคริสตจักรวิโรฒ สงขลา	2534
เกียรตินิยมอันดับ 2		